

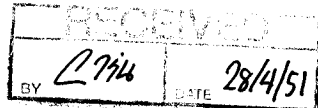
รายงานฉบับสมบูรณ์

โครงการ

อนุกรรมวิธานและพันธุศาสตร์เชิงประชากร
ของแมลงรืนด้ำ (*Diptera: Simuliidae*) ในประเทศไทย

โดย รศ. ดร. เฉลิยา กุวงศ์คงดิลก นายไพรожน์ ประมวล
และนางสาวอัญชลี เหลือลัน

ตุลาคม 2549



รายงานฉบับสมบูรณ์

โครงการ

อนุกรรมวิธานและพันธุศาสตร์เชิงประชากร
ของแมลงรืนดำ (*Diptera: Simuliidae*) ในประเทศไทย

โดย รศ. ดร. เฉลิมยา กุวงศ์คงดิลก นายไพรожน์ ประมวล
และนางสาวอัญชลี เหลือล้าน

ตุลาคม 2549

รายงานฉบับสมบูรณ์

โครงการ

อนุกรรมวิธานและพันธุศาสตร์เชิงประชากร ของแมลงรินดำ (Diptera: Simuliidae) ในประเทศไทย

คณะผู้วิจัย

สังกัด

- | | |
|--|--|
| 1. รศ. ดร. เนลลียา กุวงศ์คงดิลก ภาควิชาชีววิทยา คณะวิทยาศาสตร์
มหาวิทยาลัยมหิดล | |
| 2. นายไฟโรมน์ ประมวล ภาควิชาชีววิทยา คณะวิทยาศาสตร์
มหาวิทยาลัยมหิดล | |
| 3. นางสาวอัญชุลี เหลือลัน ภาควิชาชีววิทยา คณะวิทยาศาสตร์
มหาวิทยาลัยมหิดล | |

สนับสนุนโดยโครงการพัฒนาองค์ความรู้และศึกษาอย่างการ
จัดการทรัพยากรชีวภาพในประเทศไทย
(โครงการ BRT)

กิจกรรมประจำ

ขอขอบคุณศาสตราจารย์วิสุทธิ์ ใบไม้ ภาควิชาชีววิทยา คณะวิทยาศาสตร์ มหาวิทยาลัยมหิดล ที่ให้คำแนะนำพร้อมทั้งให้ทุนสนับสนุนเพิ่มเติม ศาสตราจารย์ Peter H. Adler Department of Entomology, Soil & Plant Sciences, Clemson University ประเทศสหรัฐอเมริกา ที่ให้คำแนะนำการศึกษาໂຄโนໂზມ นางสาวอุบล ตั้งค วนิช และนางสาวเสน่ห์ จิตต์กลาง ที่ช่วยเก็บตัวอย่างในภาคสนาม

โครงการวิจัยนี้ได้รับทุนสนับสนุนจากโครงการพัฒนาองค์ความรู้และศึกษาโดย นบายการจัดการทรัพยากรชีวภาพในประเทศไทย ซึ่งร่วมจัดโดยสำนักงานกองทุนสนับสนุนการวิจัยและศูนย์พันธุวิศวกรรมและเทคโนโลยีชีวภาพแห่งชาติ รหัสโครงการ BRT R_248004 และสำนักงานกองทุนสนับสนุนการวิจัย (สกว.) (RDG4530034)

บทคัดย่อ

รหัสโครงการ: BRT R_248004
ชื่อโครงการ: อนุกรรมวิชานและพันธุศาสตร์เชิงประชากรของแมลงรืนดำ[†]
 (Diptera: Simuliidae) ในประเทศไทย
ชื่อหัวหน้าโครงการ: รองศาสตราจารย์เฉลียว กุวงศ์คงดิลก
ชื่อผู้ช่วยวิจัย: นายไพรอน ประมวล และนางสาวอัญชุลี เหลือลัน
 ภาควิชาชีววิทยา คณะวิทยาศาสตร์ มหาวิทยาลัยมหิดล
E-mail Address: scckv@mahidol.ac.th
ระยะเวลาดำเนินการ: 1 ปี (1 ตุลาคม 2548 - 30 กันยายน 2549)

สรุปผลงานวิจัย

การศึกษานี้พบแมลงรืนดำที่ตั้งชื่อวิทยาศาสตร์แล้วจำนวน 41 ชนิด รืนดำเหล่านี้เก็บจากแหล่งน้ำในแหล่งธรรมชาติ 58 แห่งในบริเวณภาคเหนือ ภาคตะวันออกเฉียงเหนือ และภาคกลางของประเทศไทย รืนดำทั้งหมดจัดจำแนกอยู่ใน 6 สกุลย่อยของสกุล *Simulium* Latreille s.l. ชนิด *S. (G.) tahanense* เป็นรืนดำที่พบในประเทศไทยมากที่สุด ได้พับเป็นครั้งแรกในประเทศไทย ได้ทำการศึกษาโพลีทีนิโกรโมโซมของตัวอ่อนแมลงรืนดำชนิด *Simulium siamense* ที่ได้แยกเพศแล้ว จำนวน 1,828 ตัว ที่เก็บมาจากแหล่งน้ำในภาคเหนือ ภาคตะวันออกเฉียงเหนือ ภาคตะวันออก และภาคกลางของประเทศไทย โดยอาศัยความแตกต่างของอินเวอร์ชันที่คงที่ ความแตกต่างของโครงสร้างของโครโมโซมเพศและความแตกต่างของชนิดและความถี่ของอินเวอร์ชันที่ไม่คงที่ ทำให้แยกประชากรของแมลงรืนดำ *S. siamense* ออกเป็น 5 cytoforms ได้แก่ cytoforms A, B, C, D และ E แมลงรืนดำชนิด *S. siamense* มีลักษณะเด่นต่างจากแมลงรืนดำชนิดอื่น โดยระบบการตัดสินเพศของเพศเมียเป็นแบบเอเทอโรแแกเมทิก (XY) และเพศผู้เป็นแบบโยโมแแกเมทิก (XX) cytoform A มีลักษณะต่างจาก cytoforms อื่น โดยมีอินเวอร์ชันบนอโนโทโซมที่ไม่คงที่จำนวน 23 อินเวอร์ชัน และมีโครโมโซมเพศที่ยังไม่ดิฟเฟอเรนทิເເಥ (คือโครโมโซม Y_0 ไม่ดิฟเฟอเรนทิເເಥจากโครโมโซม X_0) cytoforms B, C และ D มีโครโมโซม Y ในเพศเมียต่างกัน (Y_1 , Y_2 และ Y_3) cytoform E มีลักษณะต่างจาก cytoforms อื่น โดยมีอินเวอร์ชันที่คงที่ 2 อินเวอร์ชัน ได้แก่ IS-1 และ IIIS-1 cytoform A มีการกระจายอย่างกว้างขวางในบริเวณภาคเหนือ

ภาคตะวันออกเฉียงเหนือ ภาคตะวันออก และภาคกลาง ในขณะที่ cytoforms B, C และ D มีการกระจายจำกัดเฉพาะแหล่งน้ำให้ธรรมชาติบางแห่งในภาคกลาง ถึงแม้ว่าตัวอ่อนของ 5 cytoforms จะมีรูปร่างลักษณะภายนอกคล้ายคลึงกันแต่ดูเหมือนมีแหล่งที่อยู่อาศัยต่างกันซึ่งควรจะได้ศึกษานิเวศวิทยาของแต่ละ cytoform ให้ละเอียดขึ้น ปัจจุบันยังไม่สามารถสรุปสถานะภาพด้านอนุกรมวิธานของ cytoforms ของแมลงรินคำชนิด *S. siamense* ได้ อย่างไรก็ตามการศึกษานี้ชี้ให้เห็นว่าประชากรของแมลงรินคำชนิด *S. siamense* ประกอบด้วย cytoforms ที่ต่างกันอย่างน้อยที่สุด 5 cytoforms ซึ่งมี cytoform B เด่นที่สุด โดย cytoform B มีอินเวอร์ชันที่สัมพันธ์กับเพศอย่างสมบูรณ์และไม่แพร่ในอินเวอร์ชันบนอโถซอมที่ไม่คงที่กับ cytoforms อื่น

Abstract

Project Code: BRT R_248004

Project Title: Systematics and population genetics of black fly (Diptera: Simuliidae) in Thailand

Investigators: Chaliow Kuvangkadilok, Pairot Pramual, Anchulee Lualon
Department of Biology, Faculty of Science, Mahidol University

E-mail Address: scckv@mahidol.ac.th

Project period: 1 October 2005 - 30 September 2006

Methodology and Results:

A total of 41 known *Simulium* species collected from 58 locations in northern, northeastern and central Thailand were identified based on morphological characters of larvae and pupae. All species are placed into 6 subgenera of the genus *Simulium* Latreille s.l. One known species namely *S. (G.) tahanense* was described in Malaysia but newly recorded for the first time from Thailand. Larval polytene chromosomes of 1,824 individuals of *Simulium siamense* from 32 locations in northern, northeastern, eastern and central Thailand were examined. Differences in sex chromosomes, fixed inversions and the kind and frequency of floating inversions revealed five cytoforms (A, B, C, D, and E). In contrast to most *Simulium* species, females of *S. siamense* are the heterogametic sex (XY) and males the homogametic sex (XX). Cytoform A differs from the others by having 23 floating inversions and undifferentiated sex chromosomes (Y_0 was undifferentiated from the X_0). Cytoforms B, C, and D differ from each other by having different Y chromosomes (Y_1 , Y_2 and Y_3) in females. Cytoforms E is characterized by having two fixed inversions, *IS-1* and *III-S-2*. Cytoform A is widely distributed throughout the geographic ranges of the species in northern, northeastern, eastern and central Thailand whereas cytoforms B, C, and D are restricted to a few locations in central Thailand. Although the larvae of the five cytoforms are morphologically similar, they seem

to occupy different ecological habitats, which should be further investigated. At present, no definite conclusion can be drawn as to the taxonomic status of the cytoforms of *S. siamense*. However, this study indicates that *S. siamense* is represented by at least five cytoforms, of which cytoform B is the most distinct by having complete sex linkage and no floating inversions.

บทสรุปสำหรับผู้บริหาร

แมลงรินดำเพศเมียเป็นพาหะสำคัญของพยาธิและเชื้อโรคหลายชนิด เช่น พยาธิ *Onchocerca* ในคนและวัวควาย และถ่ายทอดโดยตัวสกุล *Leucocytozoon* ในนก ปัจจุบันการศึกษาแมลงรินดำมีความก้าวหน้ามาก โดยมีการศึกษาอนุกรมวิธานของวงศ์ (family) เป็นหลักสำคัญซึ่งรวมทั้งการศึกษา cytotaxonomy, molecular taxonomy และการสร้างความสัมพันธ์ของสายวิ世พนธุ์ การอย่างไรก็ตามความรู้เกี่ยวกับ cytotaxonomy ของแมลงรินดำในประเทศไทยมีน้อยมาก จากการศึกษาเปรียบเทียบแบบแผนของโพลีทีนโครโน่ซึ่งของตัวอ่อนรินดำ แสดงให้เห็นว่าประชากรของแมลงรินดำบางชนิดแยกออกเป็น cytotypes ต่างๆ และบางที่อาจเป็นชิบลิงสปีชีส์ (sibling species) ของกลุ่มสปีชีส์ซึ่งกันที่มีรูปร่างลักษณะคล้ายคลึงกัน นอกจากนี้แบบแผนการเรียงตัวของแบบน์ด์และตำแหน่งของเครื่องหมายต่างๆ บนโพลีทีนโครโน่ซึ่งเป็นลักษณะจำเพาะของแต่ละสปีชีส์ ซึ่งสามารถใช้จำแนกชนิดของแมลงรินดำได้อย่างแม่นยำ ดังนั้นจึงเป็นที่น่าสนใจที่จะศึกษา cytotaxonomy ให้กว้างขวางมากขึ้นนอกเหนือไปจากการศึกษา morphotaxonomy แต่เพียงอย่างเดียว งานวิจัยนี้ได้ศึกษาทั้งภาคสนามและภาคปฏิบัติในห้องทดลอง งานในภาคสนามได้ออกสำรวจเก็บตัวอ่อน ตัวดักแด้ และตัวเต็มวัยของแมลงรินดำเพื่อศึกษาความหลากหลายของชนิด พร้อมทั้งศึกษาการแพร่กระจายของรินดำชนิดต่างๆ ที่เกี่ยวข้องกับตัวแทนทางกายภาพของแหล่งน้ำเพาะพันธุ์ของตัวอ่อน ในห้องปฏิบัติการได้แยกชนิดโดยศึกษารูปร่างลักษณะของตัวอ่อน และการเตรียมสไลด์โพลีทีนโครโน่ซึ่งจากตัวอ่อนเพื่อศึกษาเซลล์พันธุศาสตร์และพันธุศาสตร์เชิงประชากร

จากการศึกษารูปร่างลักษณะสัณฐานวิทยาภายนอกของตัวอ่อนที่เก็บจากแหล่งน้ำในแหล่งน้ำต่างๆ ในบริเวณภาคเหนือ ภาคตะวันออกเฉียงเหนือและภาคกลาง สามารถแยกรินดำที่มีชื่อวิทยาศาสตร์แล้วจำนวน 41 ชนิด การกระจายของรินดำเหล่านี้ไม่เป็นอิสระ บางชนิดมีการกระจายทางภูมิศาสตร์อย่างกว้างขวางขณะที่แมลงรินดำ 2-3 ชนิดอาศัยในแหล่งน้ำเพาะพันธุ์จำเพาะ จากการวิเคราะห์ผลโดยวิธี PCA ทำให้เห็นความสัมพันธ์ของการกระจายของชนิดกับปัจจัยทางกายภาพของแหล่งน้ำเพาะพันธุ์ เช่น ความเรื้อรังของแหล่งน้ำและขนาดของลำธาร นอกจากนี้การวิเคราะห์ผลโดยวิธี DFA แสดงให้เห็นถึงความแตกต่างของปัจจัยทางกายภาพของแหล่งน้ำและชนิดของแมลงรินดำระหว่างภาคเหนือ ภาคตะวันออกเฉียงเหนือและภาคกลาง จากผลการศึกษาความแตกต่างของอินเวอร์ชันที่คงที่ ความแตกต่างของโครโน่ซึ่งเพศ และชนิดและความถี่ของอิน-

เวอร์ชันบนօໂໂໂມที่ต่างกัน ทำให้แยกแมลงริ้นเดชนิด *S. siamense* ออกเป็น 5 cytoforms (A-E) โดย cytoform B มีลักษณะเด่นมากที่สุดเนื่องจากมีอินเวอร์ชันที่สัมพันธ์กับเพคอย่างสมบูรณ์และไม่แซร์อินเวอร์ชันที่ไม่คงที่กับ cytoforms อื่น cytoform A มีการกระจายอย่างกว้างขวางในบริเวณภาคเหนือ ภาคตะวันออกเฉียงเหนือ ภาคตะวันออกและภาคกลางของประเทศไทย ขณะที่ cytoforms B, C และ D มีการกระจายจำกัดเฉพาะแหล่งน้ำบางแห่งในภาคกลาง ส่วน cytoform E มีการกระจายในแหล่งน้ำบางแห่งในภาคตะวันออกเฉียงเหนือ ภาคตะวันออกและภาคกลาง นอกจากนี้ cytoforms A และ E อาศัยในแหล่งเพาะพันธุ์เดียวกันแบบซิมพาทริก แม้ว่าตัวอ่อนของ 5 cytoforms มีรูปร่างคล้ายคลึงกันมากจนไม่สามารถแยกออกจากกันได้ แต่ดูเหมือนว่าตัวอ่อนของ cytoforms เหล่านี้อาศัยในแหล่งน้ำที่มีระบบนิเวศวิทยาต่างกันซึ่งควรจะได้ทำการศึกษาต่อไป

Executive summary

Female adults of black flies have been well known as important vectors of some parasites and pathogens such as *Onchocerca* species in humans and cattles and *Leucocytozoon* species in birds. The study of black flies has advanced markedly in recent years. Significant advanced have been made in the systematics of the family, including cytotaxonomy, molecular taxonomy, and phylogenetic reconstruction. At present, knowledge of the cytotaxonomy of black flies from Thailand has been little studied. The previous studies of larval polytene chromosomes of black flies have revealed the existence of different cytotypes and/or sibling species complex within apparently uniform morphologies. Moreover, the banding patterns and the positions of landmarks of the polytene chromosomes are species specific which can be used to identify the species. It is therefore of interest to further study of cytotaxonomy other than morphotaxonomy. Both field work and laboratory studies were included in this research. Field work was focused on species diversity and species distribution relating to the physical parameters of the breeding sites. Laboratory techniques involved with morphological study and larval polytene chromosomes preparation for cytotaxonomic and population genetic studies.

On the basis of external morphological characters, 41 *Simulium* species in northern, northeastern and central Thailand were identified. The distributions of larval black fly were not random. Some species were geographically widespread while a few species were restricted to certain localities. Principal component analysis (PCA) indicated the correlation of species distribution and some physical parameters such as, water velocity and stream size. Moreover, the discriminant function analysis (DFA) showed differences in some physical parameters of the breeding sites and species distributions among northern, northeastern and central Thailand. Additionally, the populations of *S. siamense* collected from different localities in northern, northeastern, eastern and central Thailand were divided into 5 cytoforms (A-E) based on fixed inversions, sex chromosome differentiation and

the kind and frequency of autosomal inversions, of which cytoform B is the most distinct by having complex sex linkage and no floating inversions. Cytoform A widely distributed in northern, northeastern, eastern and central Thailand whereas cytoforms B, C, and D were restricted to a few locations in central Thailand. Cytoform E were found in some locations in northeast, east and central. Cytoforms A and E occurred sympatrically in some locations. Although the larvae of five cytoforms are morphologically indistinguishable, they seem to occupy different ecological habitats, which should be further investigated.

สารบัญ

หน้า

กิจกรรมประจำ	ก
บทคัดย่อ	๙
Abstract	๑๕
บทสรุปสำหรับผู้บริหาร	๑๗
Executive summary	๗
สารบัญตาราง	ภ
สารบัญภาพ	ภ
1 บทนำ	๑
2 วัตถุประสงค์ของโครงการ	๕
3 วิธีการดำเนินงานวิจัย	๖
4 ผลการศึกษา	๑๐
5 วิจารณ์และสรุปผล	๕๙
6 ปัญหา อุปสรรคและการแก้ไข	๖๐
เอกสารอ้างอิง	๖๑
ภาคผนวก	๖๕

สารบัญตาราง

ตารางที่	หน้า
1 เปอร์เซนต์และจำนวนตัวอ่อนของแมลงรินด์ดำชนิดต่างๆในแหล่งน้ำให้ธรรมชาติในภาคเหนือ ภาคตะวันออกเฉียงเหนือและภาคกลางของประเทศไทย	17
2 ปัจจัยทางกายภาพของแหล่งน้ำเพาะพันธุ์ของแมลงรินด์ดำในภาคเหนือ ภาคตะวันออกเฉียงเหนือและภาคกลางของประเทศไทย	29
3 แสดงความสัมพันธ์ระหว่างปัจจัยทางกายภาพของแหล่งน้ำกับ Principal components โดยวิธี PCA และ Correlation analysis	35
4 Regression analysis ของการกระจายของแมลงรินด์ดำกับปัจจัยทางกายภาพ (principal components)	36
5 แสดงความแตกต่างของปัจจัยทางกายภาพของแหล่งอาศัยและชนิดของรินด์ดำที่พบแต่ละภูมิภาค โดยวิธี Discriminant Function Analysis (DFA)	37
6 แหล่งเก็บตัวอย่างและการกระจายของ cytoforms A-E ของแมลงรินด์ดำชนิด <i>Simulium siamense</i> ในภูมิภาคต่างๆของประเทศไทย	40
7 แสดงความถี่ของ floating inversions (ยกเว้น sex-linked inversions IS-2,3, IS-6 และ IS- 7) ใน cytoforms A ,C, D และ E ของ <i>Simulium siamense</i>	52
8 แสดงอินเวอร์ชันบนโครโมโซมแขนสั้นแท่งที่ 1และแท่งที่ 3 ของตัวอ่อนเพศผู้และเพศเมียของ cytoforms A-E ของ <i>Simulium siamense</i>	54
9 ลักษณะจำเพาะของโครโมโซมใน cytoforms A, B, C, D และE ของ <i>Simulium siamense</i>	57

สารบัญภาพ

ภาพที่	หน้า
1 แสดงจังหวัดที่ศึกษาและลงริ้นคำสัญลักษณ์จังหวัดดูในเนื้อหา	7
2 ตัวอ่อนแมลงริน์คำนิดต่างๆ a, <i>Simulium (N.) fruticosum</i> ; b, <i>S. (G.) asakoae</i> ; c, <i>S. (S.) baimaii</i> ; d, <i>S. (S.) chaliowae</i> ; e, <i>S. (S.) fenestratum</i> ; f, <i>S. (S.) yuphae</i> ; g, headcapsule of <i>S. (G.) siamense</i> (dorsal view); h, head capsule (ventral view) showing postgenal cleft; ca=cephalic apotome; lf=labral fan; pc= postgenal cleft.	25
3 ตัวตักแต่ที่มีปลอกหุ้มแบบรองเท้าแตะและรองเท้าหุ้มสันของริน์คำนิดต่างๆ a, <i>Simulium (N.) fruticosum</i> ; b, <i>S. (N.) caudisclerum</i> ; c, <i>S. (G.) asakoae</i> ; d, <i>S. (S.) baimaii</i> ; e, <i>S. (S.) chaliowae</i> ; f, <i>S. (A.) oblongum</i> ; gf=gill filaments	26
4 ตัวเต็มวัยเพศผู้และเพศเมียของแมลงริน์คำนิดต่างๆ a, <i>Simulium (G.) asakoae</i> เพศผู้; b, เพศเมีย; c, <i>S. (S.) fenestratum</i> เพศผู้; d, เพศเมีย; e, <i>S. (S.) chiangmaiense</i> เพศผู้; f, เพศเมีย	27
5 กราฟ Discriminant function scores ของปัจจัยทางกายภาพ 9 ปัจจัยของแหล่งน้ำ แต่ละภูมิภาค จากกราฟแสดงให้เห็นปัจจัยทางกายภาพมีความแตกต่างกันในแต่ละภูมิภาค	37
6 กราฟ Discriminant function scores ของชนิดริน์คำที่พบแต่ละภูมิภาค จากกราฟแสดงให้เห็นว่าชนิดที่พบมีความแตกต่างกันในแต่ละภูมิภาค	38
7 แสดงแหล่งที่เก็บและการกระจายของ 5 cytoforms ของแมลงริน์คำนิด <i>Simulium siamense</i>	43
8 โครโนโซมแท่งที่ 1 แขนสั้นของ <i>Simulium siamense</i> และแบบแผนการเรียงตัวของเบนเดมารฐานและตำแหน่งของการเกิดอินเวอร์ชัน อินเวอร์ชันที่แสดงโดยเส้นทึบและขีดเส้นได้คือ fixed inversion และที่ไม่ขีดคือ floating inversions เส้นประแสดง sex-linked inversions. C = เช่นโตรเมียร์ NO = นิวคลีโอลาเรอร์แก้ไขเชอร์	44
9 โครโนโซมแท่งที่ 1 แขนยาวของ <i>Simulium siamense</i> และแบบแผนการเรียงตัวของเบนเดมารฐานและตำแหน่งของการเกิดอินเวอร์ชัน อินเวอร์ชันที่แสดงโดยเส้นทึบและไม่ขีดเส้นได้คือ floating inversions. C = เช่นโตรเมียร์	45
10 โครโนโซมแท่งที่ 2 แขนสั้นของ <i>Simulium siamense</i> และแบบแผนการเรียงตัวของเบนเดมารฐานและตำแหน่งของการเกิดอินเวอร์ชัน อินเวอร์ชันที่ที่แสดงโดยเส้นทึบและไม่ขีดเส้นได้คือ floating inversions. C = เช่นโตรเมียร์ db = ตับเบิลบันเบิล BR = วงแหวนบัลบิอนิ T = ทรายปีซอยด์	46

สารบัญภาพ (ต่อ)

ภาพที่	หน้า
11 โครงไมโครซัมแท่งที่ 2 แขนยาวของ <i>Simulium siamense</i> แสดงแบบแผนการเรียงตัวของแบบน์ด์มาตรฐานและตำแหน่งของการเกิดอินเวอร์ชัน อินเวอร์ชันที่แสดงโดยเส้นทึบและไม่มีขีดเส้นใต้คือ floating inversions. C = เช่นโปรดเมียร์ Pb = พาราบลบิอนิ gB = เกรย์แบบน์ด์	46
12 โครงไมโครซัมแท่งที่ 3 แขนสั้นของ <i>Simulium siamense</i> แสดงแบบแผนการเรียงตัวของแบบน์ด์มาตรฐานและตำแหน่งของการเกิดอินเวอร์ชัน อินเวอร์ชันที่แสดงโดยเส้นทึบและขีดเส้นใต้คือ fixed inversion อินเวอร์ชันที่ไม่มีขีดคือ floating inversion. C = เช่นโปรดเมียร์ BI = บลิสเดอร์	47
13 โครงไมโครซัมแท่งที่ 3 แขนยาวของ <i>Simulium siamense</i> แสดงแบบแผนการเรียงตัวของแบบน์ด์มาตรฐานและตำแหน่งของการเกิดอินเวอร์ชัน อินเวอร์ชันที่แสดงโดยเส้นทึบและไม่มีขีดเส้นใต้คือ floating inversions. C = เช่นโปรดเมียร์	47
14 Idiograms ของ 5 cytoforms ของ <i>Simulium siamense</i> : A, cytoform A; B, cytoform B; C, cytoform C; D, cytoform D; E, cytoform E. Fixed inversions แสดงโดยเส้นทึบด้านซ้ายมือและขีดเส้นใต้ Floating inversions แสดงโดยเส้นทึบด้านขวา มือและไม่มีขีดเส้น Sex-linked inversions แสดงโดยเส้นประ C= เช่นโปรดเมียร์, NO= นิวคลีโอสาร์อร์แกไนเซอร์, db= ดับเบิลบันบีล, Ss= ชูสตริง, BR= วงศานบลบิอนิ, Pb= พาราบลบิอนิ, gB= เกรย์แบบน์ด์, BI= บลิสเดอร์	51

1. บทนำ

รินดำ (Black flies) หรือ คุ่น ซึ่งเป็นชื่อเรียกของชาวดอยบริเวณภาคเหนือของประเทศไทย จัดอยู่ในอันดับ (Order) Diptera วงศ์ (Family) Simuliidae ปัจจุบันมีรินดำทั้งหมดจำนวน 1,809 ชนิด (species) ซึ่งจัดจำแนกอยู่ใน 32 สกุล (Genus) และพบเฉพาะฟอสซิลจำนวน 11 ชนิด ในสกุล *Cretoceosimulium* และ *Mesasimulium* (Crosskey และ Howard, 2004) รินด้าตัวเมียที่เป็นปัญหาสำคัญทางด้านสาธารณสุขและเศรษฐกิจในหลายประเทศตามแบบภูมิภาคต่างๆ ของโลก มี 4 สกุล คือ สกุล *Simulium* (มี 1,400 ชนิด) *Austrosimulium* (มี 25 ชนิด) *Prosimulium* (มี 103 ชนิด) และ *Cnephia* (มี 10 ชนิด) สกุล *Simulium* เป็นสกุลที่ใหญ่ที่สุดและมีความสำคัญมากที่สุด ซึ่งประกอบด้วยรินด้ำจำนวน 1,400 ชนิดที่จัดจำแนกอยู่ใน 41 สกุลย่อย (Crosskey and Howard, 2004) ปัจจุบันจำนวนรินด้ำในประเทศไทยที่มีรายงานการพบ และตั้งชื่อวิทยาศาสตร์แล้วมีทั้งหมดประมาณ 72 ชนิด ในจำนวนนี้เป็นรินด้ำชนิดใหม่ที่รายงานการพบตั้งแต่ปี 2541-2550 จำนวน 35 ชนิด (Takaoka and Kuvangkadilok, 1999; Kuvangkadilok and Takaoka, 2000; Takaoka, 2001; Takaoka and Choochote, 2002; Takaoka and Choochote, 2004a-c; Takaoka and Choochote 2005a-j; Takaoka and Choochote 2006a-e; Jitklang and Kuvangkadilok 2007) รินด้ำเหล่านี้จัดจำแนกอยู่ใน 6 สกุลย่อย (subgenus) ได้แก่ สกุลย่อย *Asiosimulium* (2 ชนิด) *Davisellum* (2 ชนิด) *Gomphostilbia* (17 ชนิด) *Montisimulium* (4 ชนิด) *Nevermannia* (6 ชนิด) และ *Simulium* (41 ชนิด) และแพร่กระจายอยู่ในภูมิภาคต่างๆ ของประเทศไทยโดยเฉพาะภาคเหนือและภาคใต้ (เฉลียวและคณะ, 2544a; เฉลียวและคณะ, 2544b; Kuvangkadilok et al., 1999; Kuvangkadilok et al., unpublished data)

แมลงรินด้ำเพศเมียมีความสำคัญทางด้านการแพทย์และเศรษฐกิจ ทางด้านการแพทย์แมลงรินด้ำเพศเมียเป็นพาหะสำคัญของพยาธิ *Onchocerca volvulus* ตัวอ่อนพยาธิชนิดนี้เป็นสาเหตุของการเกิดโรค *Onchocerciasis* (หรือโรค river blindness) ของคนที่อาศัยในทวีปอาฟริกา อเมริกากลาง อเมริกากลาง และอเมริกาใต้ คาดว่าประชาชนมากกว่า 100 ล้านคนเสี่ยงต่อการเป็นโรค *Onchocerciasis* นอกจากนี้ประชากรประมาณ 18 ล้านคนมีพยาธินี้อยู่ในร่างกาย (Richards et al., 2000) และประชากรประมาณ 800,000 คน มีสายตาเสีย และ 270,000 คน ตาบอด ซึ่งเป็นผลมาจากการทำลายเนื้อเยื่อบริเวณตาโดยตัวอ่อนของพยาธิ ตัวอ่อนของพยาธิยังมีผลทำให้ต่อมน้ำเหลืองบวม อักเสบ อุดตัน และอาจเกิดเป็นโรคเท้าช้างประเภทหนึ่ง ถ้าตัวอ่อนของพยาธิตายจะ

มีผลทำให้เกิดพิษบริเวณผิวนัง โดยเกิดอาการคันมากและรคัวตถุสีที่ผิวนังจะลดลง ควบคู่กับการขาดวิตามินเอ ผิวนังสูญเสียการยึดหยุ่นทำให้มีลักษณะคล้ายโรคเรื้อน คนที่ถูกรินเด็กมากๆจะเกิดอาการแพ้ เป็นไข้ ปวดหัว คลื่นไส้ และมีอาการหอบหืดเรียกว่า “ไข้รินเด็ก” (black fly fever) ซึ่งพบในทหารอากาศซึ่งประจำอยู่ที่สถานีเรดาร์บันดูดอย อินทนนท์ จังหวัดเชียงใหม่ นอกจากนี้ผิวนังของคนที่ถูกรินเด็กจะมีลักษณะบวมแดง อักเสบ และคันมาก ในรายของคนที่มีอาการแพ้รินเด็ก ผิวนังจะบวมแดงและอักเสบมาก ต้องไปพบแพทย์ทำการรักษา ดังนั้นรินเด็กจึงเป็นแมลงที่เป็นอันตรายต่อนักท่องเที่ยวที่นิยมการเดินท่องเที่ยวและดูนกบนภู บันดูดอยและในอุทยานแห่งชาติเป็นอย่างมาก แหล่งที่พบรินเด็กเป็นจำนวนมากที่ก่อความการทำความรำคาญ และเป็นอันตรายต่อนักท่องเที่ยวคือ บริเวณช่องเย็น อุทยานแห่งชาติแม่วงก์ จังหวัดกำแพงเพชร-นครสวรรค์ ภูสอยดาว จังหวัดอุตรดิตถ์ และอ่างกา บริเวณยอดดอยอินทนนท์ จังหวัดเชียงใหม่ นอกจากนี้ชาวบ้านและสัตว์เลี้ยงที่บ้านปางแพน อำเภอตาก จังหวัดเชียงใหม่ ถูกรบกวนโดยผู้รินเด็ก เช่นกัน

แมลงรินเดียรังถ่ายทอดพยาธิ *Onchocerca* ชนิดอื่นๆไปสู่สัตว์เลี้ยงและสัตว์ป่า เช่น วัว ควาย เป็ด ไก่ เก้ง กวาง และหมูป่า และถ่ายทอดโดยprotozoa Trypanosoma และ Leucocytozoon ระหว่างพวกรสัตว์ปีก เช่น นก และไก่ ทำให้เกิดโรค Leucocytozoonosis ในพวกรสัตว์ปีก และเป็นตัวถ่ายทอดไวรัสและอะไวรัส (aboviruses) ซึ่งเป็นสาเหตุของการเกิดโรคต่างๆในสัตว์หลายชนิด เช่นโรค myxomatosis ในกระต่าย (Kettle, 1990)

แม้มีรายงานการเกิดโรค Onchocerciasis ในประเทศไทยเนื่องจากไม่มีพยาธิชนิด *Onchocerca volvulus* แต่เมื่อเร็วๆนี้ได้มีรายงานการพบตัวอ่อนพยาธิ *Onchocerca* ที่ไม่ทราบชนิดในเพศเมียของรินเด็กชนิด *S. nodosum* ที่เก็บมาจากการบีบ ที่บ้านปางแพน ตำบลป่าเมียง อำเภอตาก จังหวัดเชียงใหม่ (Takaoka et al., 2003) และพบตัวอ่อนของพยาธิ *Onchocerca* ที่ไม่ทราบชนิดเช่นกันในตัวเมียของรินเด็กชนิด *S. nigrosvilatum* ที่ดูดเลือดคนที่บ้านสบหาด ตำบลบ้านหลวง อำเภอจอมทอง จังหวัดเชียงใหม่ (Fukuda et al.; 2003) ดังนั้นแมลงรินเด็กในบ้านเราเป็นพาหะของพยาธิ *Onchocerca* ซึ่งอาจทำให้เกิดโรคชนิดใดชนิดหนึ่งในธรรมชาติ

ความสำคัญของแมลงรินเด็กด้านเศรษฐกิจ ได้มีรายงานการโجمตีสัตว์เลี้ยงโดยผู้รินเด็กในภูมิภาคต่างๆของโลกก่อให้เกิดความเสียหายทางเศรษฐกิจอย่างมาก เช่น ไก่วง และเปิดเกิดเป็นโรค Leucocytozoonosis ล้มตายเป็นจำนวนมากในประเทศไทยและเมริกา และแคนาดา (Adler et al, 2004) นอกจากนี้ยังมีรายงานเมื่อปี 1974 ในประเทศไทย

อสเตรเลียที่การโจรตีของแมลงรินดำมีผลทำให้น้ำหนักวัว และการผลิตน้ำนมลดลง 15% (Kettle, 1990)

ในการแยกชนิดของแมลงรินดำ ส่วนใหญ่จะแยกโดยหลักอนุกรรมวิชานทางสัณฐานวิทยาของตัวอ่อน ตัวดักแด้ และตัวเต็มวัย (morphotaxonomy) (เช่น Crosskey 1973; Peterson 1984; Takaoka and Davies 1995) แต่การแยกชนิดโดยการศึกษารูปร่างลักษณะสัณฐานวิทยาอย่างเดียวมักมีปัญหาในการถกที่ 1) เกิดการแปรผันของรูปร่างลักษณะภายนอกระหว่างประชากรของสปีชีส์เดียวกันนี้ ที่เก็บมาจากแหล่งเพาะพันธุ์ต่างกัน อาจเนื่องจากสภาวะแวดล้อมของแหล่งเพาะพันธุ์ต่างกัน เช่นลักษณะสีของตัวอ่อนของรินดำชนิด *S. nakhonense* ที่เก็บจากแหล่งน้ำให้ธรรมชาติต่างๆจะมีสีน้ำตาลและสีค่อนข้างดำต่างกัน ทั้งนี้เนื่องจากสภาพและชนิดของแหล่งที่อยู่อาศัยอยู่ เช่น substrate 2) สปีชีส์ต่างกันแต่ประชากรของสองสปีชีส์มีรูปร่างคล้ายคลึงกัน อาจทำให้เข้าใจผิดว่าเป็นสปีชีส์เดียวกัน เช่น ลักษณะตัวอ่อนของ *S. sheilae* และ *S. angulistylum* ที่มีรูปร่างลักษณะคล้ายคลึงกันมาก 3) ซิบลิงสปีชีส์ของกลุ่มสปีชีส์ชั้นช้อน (species complex) ซึ่งมีรูปร่างคล้ายคลึงกันมากจนไม่สามารถแยกได้โดยอาศัยหลักอนุกรรมวิชานทางสัณฐานวิทยาเพียงอย่างเดียว

การศึกษาเปรียบเทียบแบบแผนการเรียงตัวของแบบนัดของโพลีทีนโครโนไซมควบคู่กับการศึกษารูปร่างสัณฐานวิทยาภายนอก จะช่วยให้การศึกษาอนุกรรมวิชานของแมลงรินดำมีความถูกต้องแม่นยำมากขึ้น เทคนิคทางเซลล์พันธุศาสตร์โดยการศึกษาแบบแผนการเรียงตัวของแบบนัดโพลีทีนโครโนไซมที่มาจากการต่ออมน้ำลายของตัวอ่อน ซึ่งมีขนาดใหญ่และย้อมติดสีสวยจึงถูกนำมาใช้อย่างแพร่หลาย เพื่อประโยชน์ในการแยกชนิดแมลงต่างๆ (cytotypes) เช่น แมลงรินดำ บุง และหนอนแดง การศึกษาโพลีทีนโครโนไซมสามารถวินิจฉัยสปีชีส์และซิบลิงสปีชีส์ในกลุ่มสปีชีส์ชั้นช้อนได้เนื่องจากเหตุผลดังต่อไปนี้ คือ (Rothfels, 1981) 1) โพลีทีนโครโนไซมมีแบบแผนการเรียงตัวที่ลักษณะเดียวกัน 2) ซิบลิงสปีชีส์แตกต่างกันโดยการเกิดอินเวอร์ชัน เกิดการแลกเปลี่ยนชิ้นส่วนโครโนไซม และการจัดเรียงแบบแผนการเรียงตัวของแบบนัดใหม่บนโพลีทีนหนึ่งแห่งหรือมากกว่านั้น แห่ง ซึ่งทราบได้จากการเปรียบเทียบกับแผนที่มาตรฐานของโพลีทีนโครโนไซม หลักการที่แสดงให้เห็นว่าซิบลิงสปีชีส์มีโครโนไซมต่างกันคือ a) มีการเรียงของแบบนัดที่จำเพาะ (fixed inversion) ในแต่ละซิบลิงสปีชีส์ b) มีระบบโครโนไซมเพศต่างกันโดยศึกษาจากความสัมพันธ์ระหว่างอินเวอร์ชันกับเพศ (sex-linked inversion) c) มีความถี่ของ inversion polymorphisms ต่างกัน ได้มีรายงานการพบ cytotypes และซิบลิงสปีชีส์ของแมลงรินดำที่เป็นพาหะของโรค Onchocerciasis จำนวนมากในทวีปอาฟริกา อเมริกา

กลาง และอเมริกาใต้ เช่นกลุ่มสปีชีส์ขับช้อน *S. damnosum* ในทวีปอเมริกาที่มีผู้รายงานการพบซิบลิงสปีชีส์เพิ่มขึ้นตามลำดับจาก 25 cytotypes ในอดีต (เช่น Dunbar, 1976; Vajime and Dunbar, 1975) เพิ่มมาเป็นอย่างน้อยที่สุด 40 cytotypes ในปัจจุบัน (เช่น Mafuyai et al., 1996; Vajime et al., 2000) กลุ่มสปีชีส์ขับช้อน *S. ochraceum* ในเม็กซิโกมี 3 cytotypes A, B และ C (Millest, 1992; Hirai et al., 1994) กลุ่มสปีชีส์ขับช้อน *S. guianense* ในบรasil มี 4 cytotypes คือ A, B, C และ D (Charalambous et al., 1996) กลุ่มสปีชีส์ขับช้อน *S. exiguum* ในอีคัดอร์มี 4 cytotypes (Charalambous et al., 1993) นอกจากนี้ยังมีกลุ่มสปีชีส์ขับช้อนในทวีปอเมริกาเหนือ แคนาดา และออสเตรเลีย ในอเมริกาเหนือและแคนาดา มีกลุ่มสปีชีส์ขับช้อนหลายกลุ่ม เช่น กลุ่มสปีชีส์ขับช้อน *S. pictipes* ประกอบด้วย 3 ซิบลิงสปีชีส์คือ *S. longistylatum*, *S. pictipes* A และ *S. pictipes* B สปีชีส์เหล่านี้มีโครโมโซม Y ต่างกัน (Bedo, 1975) กลุ่มสปีชีส์ขับช้อน *S. vittatum* มีสปีชีส์ III-1 และ IS-7 ซึ่งอยู่ในสภาพชิมแพทริค แยกออกจากกันโดยอินเวอร์ชันบนโครโมโซม Y และอินเวอร์ชันบนโครโมโซม X (Rothfels and Featherson, 1981) ในประเทศออสเตรเลีย มีกลุ่มสปีชีส์ขับช้อน *S. ornatipes* (species A และ B) และ *S. neomatipes* (species 1 และ 2) (Bedo, 1977) นอกจากนี้ในประเทศยุโรปตะวันออก มีกลุ่มสปีชีส์ขับช้อน *S. noelleri* ที่ประกอบด้วย cytotype A, B และ C (Adler and Kachvorian, 2001) นอกจากนี้แบบแผนการเรียงของแบบจำลองที่ไม่ใช่โครโมโซมที่ต่างกัน สามารถนำมาศึกษาสายสัมพันธ์ทางวิวัฒนาการของสปีชีส์ต่างๆ ของแมลงรินดำ (เช่น Bedo, 1977; Rothfels, 1979, 1981).

แมลงรินดำมีวงจรชีวิตสมบูรณ์ (complete metamorphosis) ซึ่งมีระยะไข่ ตัวอ่อน และตัวดักแด้ ออาศัยอยู่ในระบบนิเวศแหล่งน้ำให้หล (lotic environment) เนื่องจากตัวอ่อนของแมลงรินดำสามารถปรับตัวได้กับแหล่งน้ำให้หลจึงพบเป็นจำนวนมาก และมีการกระจายตัวน้ำหนาแน่นมาก กว่าแมลงน้ำกลุ่มนี้ๆ ดังนั้นตัวอ่อนแมลงรินดำจึงเหมาะสมสำหรับการศึกษาด้านความหลากหลายและนิเวศวิทยาในระบบนิเวศแหล่งน้ำให้หลเป็นอย่างยิ่ง โดยทั่วไปปัจจัยทางกายภาพและชีวภาพมีผลต่อการกระจายของแมลงทุกชนิดที่อาศัยในแหล่งน้ำ (Allan, 1995) โดยอาศัยหลักการทางนิเวศวิทยาพบว่า สิ่งมีชีวิตมักอาศัยได้ในสภาวะแวดล้อมที่เหมาะสม ดังนั้นมีสภาวะแวดล้อมเกิดการเปลี่ยนแปลงจะส่งผลกระทบต่อความหลากหลาย และรูปแบบการกระจายของสิ่งมีชีวิตอย่างชัดเจน แมลงรินดำแต่ละชนิดมักมีการกระจายในสภาพแวดล้อมที่แตกต่างกัน บางชนิดมีการกระจายในทุกสภาพแวดล้อม แต่บางชนิดมีการกระจายจำกัดในสภาพแวดล้อมใดสภาพแวดล้อมหนึ่งเท่านั้น ซึ่งแสดงถึงปัจจัยต่างๆ ที่มีความเหมาะสมและความสัมพันธ์ระหว่างปัจจัย

กับการกระจายตัวของแมลงรินดำ ตัวอย่างปัจจัยต่างๆ เช่น ขนาดของแหล่งน้ำ (stream size) อัตราความเร็วของกระแสน้ำ (water velocity) ค่าความเป็นกรด-ด่าง (pH) ค่าการนำไฟฟ้า (conductivity) ค่าความขุ่นของน้ำ (turbidity) ปริมาณออกซิเจนละลายน้ำ (dissolved oxygen) แหล่งอาศัยอยู่ (microhabitats) อุณหภูมน้ำ (water temperature) ความสูงเหนือระดับน้ำทะเล (altitude) ค่าระยะห่างจากบริเวณที่ไหลลงสู่แม่น้ำ (lake outlets) และการมีลักษณะบ่อหน้าขัง (impoundment) เป็นต้น (Corkum and Currie, 1987; McCreadie et al, 1995) มีรายงานการศึกษาปัจจัยที่มีผลต่อการกระจายของแมลงรินดำชนิด *Simulium perflavum* ในประเทศไทย พบว่าการกระจายของแมลงรินดำชนิดนี้สัมพันธ์กับบริเวณที่เป็นบ่อหน้าขัง (Hamada and McCreadie, 1999) ในรายงานต่อมาได้มีการศึกษานิเวศวิทยาของแมลงรินดำจำนวน 11 ชนิดในแหล่งน้ำ 58 แห่งในประเทศไทย พบว่าการกระจายของแมลงรินดำเหล่านี้มีความสัมพันธ์กับขนาดแหล่งน้ำ การมีบ่อหน้าขังและลักษณะการปกคลุมของเรือนยอด (canopy cover) (Hamada et al, 2002) นอกจากนี้ยังมีรายงานการศึกษาความสัมพันธ์ระหว่างชิบลิงสปีชีส์ของแมลงรินดำกับสภาพแวดล้อมของแหล่งอาศัย เช่น ชิบลิงสปีชีส์ของกลุ่มสปีชีส์ชับช้อน *S. tuberosum* อาศัยในสภาพแวดล้อมที่แตกต่างกันในอเมริกาเหนือ (Adler and McCreadie, 1977) และชิบลิงสปีชีส์ของกลุ่มสปีชีส์ชับช้อน *S. damnosum* มีความสัมพันธ์กับบริเวณทุ่งหญ้าหรือบริเวณเป่าในอาฟริกาใต้ (Boakye et al., 1998). Joy และ Conn (2001) พบว่าการปรับตัวต่อแหล่งอาศัยของตัวอ่อนที่ต่างกัน เช่น ชนิดของลักษณะต่างกัน จะเป็นกลไกแรกของการเกิดสปีชีส์ใหม่ของแมลงรินดำบันเกะ Society

รายงานการศึกษาด้านนิเวศวิทยาของแมลงรินดำในประเทศไทยมีน้อยมาก

Kuvangkadilok et al. (1999) ได้รายงานการศึกษาการกระจายของตัวอ่อนแมลงรินดำในเขตอุทยานแห่งชาติดอยอินทนนท์ ภาคเหนือของประเทศไทย พบว่าการกระจายของแมลงรินดำมีความสัมพันธ์กับความสูงเหนือระดับน้ำทะเล และปัจจัยบางชนิด เช่น อุณหภูมน้ำและความเร็วน้ำ และจากการศึกษาความสัมพันธ์ของการแพร่กระจายของตัวอ่อนรินดำในเขตภาคใต้พบความสัมพันธ์ของการกระจายของตัวอ่อนรินดำบางชนิดกับอุณหภูมน้ำ ความกระด้าง และระดับความสูงของแหล่งน้ำ (เฉลี่ยวและคณะ, 2544b)

2. วัตถุประสงค์ของการศึกษา

- ศึกษาความหลากหลายของชนิดและการแพร่กระจายของแมลงรินดำในภูมิภาคต่างๆ ของประเทศไทย พร้อมทั้งศึกษาความสัมพันธ์ของชนิดและการแพร่กระจายกับปัจจัยทางกายภาพของแหล่งเพาะพันธุ์
- ศึกษาเปรียบเทียบแบบโนโลหิตโนโตรามีโฉม เพื่อจะได้ทราบว่าประชากรที่แพร่กระจายในแหล่งเพาะพันธุ์ต่างๆ แยกเป็น cytoforms หรือ cytospecies หรือ sibling species ที่ต่างกันหรือไม่

3. วิธีการดำเนินงานวิจัย

1. การศึกษาภาคสนาม

1.1 พื้นที่เก็บตัวอย่าง

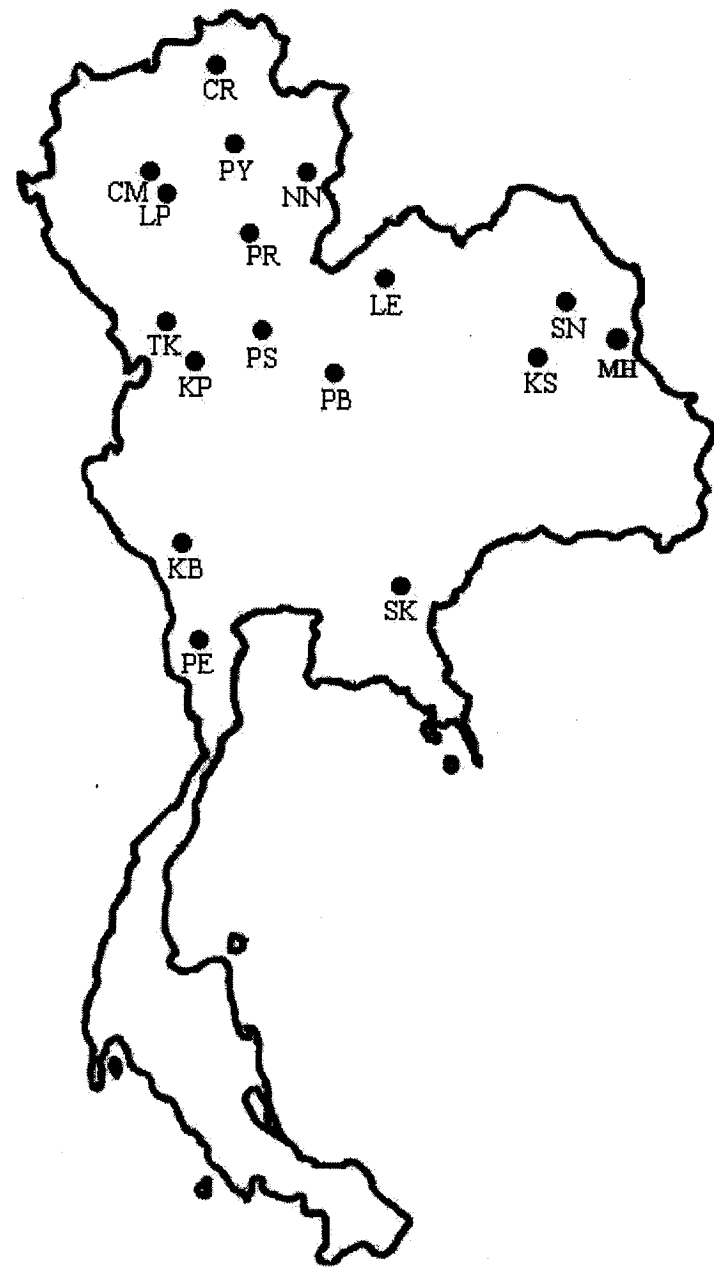
ในช่วงระหว่างเดือนมิถุนายน 2548 – เดือนกุมภาพันธ์ 2549 ได้ทำการศึกษาความหลากหลายและการแพร่กระจายของตัวอ่อนรินดำในแหล่งน้ำให้ธรรมชาติจำนวน 58 แห่งบริเวณ 17 จังหวัดในเขตภาคเหนือ (34 แห่ง) ภาคกลาง (11 แห่ง) และภาคตะวันออกเฉียงเหนือ (13 แห่ง) (ภาพที่ 1 และตารางที่ 1) ได้ทำการเก็บตัวอ่อนและตัวดักแด้จากแหล่งน้ำให้ธรรมชาติที่ให้มาจากการน้ำตกและภูเขา อาจเป็นร่องน้ำให้เล็กๆ หรือลำธารที่มีขนาดความกว้าง ความลึก ความสูงเหนือระดับน้ำทะเล และปัจจัยทางกายภาพต่างกัน (ตารางที่ 2) ในบริเวณภาคเหนือ ภาคกลาง และภาคตะวันออกเฉียงเหนือ ของประเทศไทย ดังนี้

ภาคเหนือ 10 จังหวัดได้แก่ จังหวัดเชียงราย (CR, 1 แห่ง) เชียงใหม่ (CM, 14 แห่ง) พะเยา (PY, 4 แห่ง) ลำปาง (LA, 2 แห่ง) แพร่ (PR, 1 แห่ง) น่าน (NN, 2 แห่ง) ตาก (TK, 2 แห่ง) กำแพงเพชร (KP, 5 แห่ง) เพชรบูรณ์ (PB, 2 แห่ง) และพิษณุโลก (PS, 1 แห่ง)

ภาคกลาง 3 จังหวัดได้แก่ เพชรบุรี (PE, 2 แห่ง) กาญจนบุรี (KB, 8 แห่ง) และสระแก้ว (SK, 1 แห่ง)

ภาคตะวันออกเฉียงเหนือ 4 จังหวัดได้แก่ กาฬสินธุ์ (KS, 2 แห่ง) ศรีสะเกษ (SN, 5 แห่ง) มุกดาหาร (MH, 4 แห่ง) และเลย (LE, 2 แห่ง)

แหล่งน้ำเพาะพันธุ์รินดำมีระดับความสูงต่ำสูดตั้งแต่ 67 เมตรถึงระดับสูงสุดประมาณ 2400 เมตร



ภาพที่ 1 แสดงจังหวัดที่ศึกษาแมลงรื้นดำสัญลักษณ์จังหวัดดูในเนื้อหา

1.2 วิธีการเก็บ

เก็บตัวอย่างโดยใช้ปากคีบปลายแหลมคีบตัวอ่อนที่เกาะบนหิน ต้นหญ้า
ใบไม้สดและเศษวัสดุต่างๆ ที่ลอยในน้ำไว้ แบ่งตัวอ่อนที่จับได้เป็น 3 ส่วน ตัวอ่อนส่วนที่
หนึ่งดองใน Carnoy's fixative (2 ส่วน absolute ethanol: 1 ส่วน glacial acetic acid)

สำหรับศึกษาโพลีทีนโครโน่ซ์ม ตัวอ่อนส่วนที่สองเก็บไว้ใน 80% ethanol เพื่อศึกษารูปร่างลักษณะสัณฐานวิทยา การเก็บรักษาต้องนำลายและโพลีทีนโครโน่ซ์มให้อยู่ในสภาพดีต้องเปลี่ยนน้ำยา fixative หลังจากใส่ตัวอ่อนประมาณ 2 นาที 10 นาที และ 24 ชั่วโมงตามลำดับ และต้องเชื่อมต่อตัวอย่างในน้ำแข็งตลอดเวลา สำหรับตัวดักแต่ดองบางส่วนใน 80% ethanol แต่ส่วนใหญ่จะเลี้ยงในหลอดให้เจริญเป็นตัวเต็มวัย ตัวเต็มวัยบางส่วนได้จากการจับโดยใช้สวิงและบางส่วนได้จากการใช้คันเป็นเหยือล่อ ดองตัวเต็มวัยบางส่วนใน 80% ethanol และ absolute ethanol และเก็บบางส่วนของตัวเต็มวัย เป็นตัวอย่างแห้ง

1.3 วิธีศึกษาคุณภาพน้ำทางกายภาพ

ในการศึกษาภาคสนามได้ทำการวัดค่าปัจจัยทางกายภาพของน้ำที่เป็นแหล่งเพาะพันธุ์ของริ้นดำและจดบันทึกลักษณะทั่วไปของแหล่งเพาะพันธุ์ ดังนี้ บันทึกวันที่ (collection date) วัดความสูงเหนือระดับน้ำทะเล (altitude) วัดความกว้างของแหล่งน้ำ (stream width) โดยใช้ตัลบ์เมตรหรือเชือก วัดความลึกของแหล่งน้ำ (stream depth) โดยใช้ไม้เมตร วัดอัตราความเร็วกระแสน้ำ (water velocity) โดยใช้ Global Flow Probe FP201 วัดอุณหภูมิน้ำ (water temperature) และค่าปริมาณออกซิเจนละลายน้ำ (total dissolved oxygen) โดยใช้เครื่องมือ YSI (Yellow Springs Instrument, Co., model 55) วัดค่าการนำไฟฟ้าของน้ำ (conductivity) และค่าความเค็มของน้ำ (salinity) โดยใช้เครื่องมือ YSI (Model 30) ค่าความเป็นกรดเป็นด่าง (pH) โดยใช้เครื่อง pH-meter แบบปากกา วัดความชื้นของอากาศและอุณหภูมิอากาศ ค่าปัจจัยทางกายภาพของแหล่งน้ำได้ทำการวัด 3 ครั้งในแต่ละแห่งเพื่อหาค่าเฉลี่ย นอกจากนี้ยังทำการบันทึกสภาพนิเวศวิทยาทั่วไปของแหล่งน้ำให้ที่สามารถสังเกตได้

1.4 วิธีวิเคราะห์ข้อมูลปัจจัยทางกายภาพของแหล่งน้ำเพาะพันธุ์

วิเคราะห์โดยใช้โปรแกรม SPSS 11.0 (SPSS Inc.) เพื่อศึกษาหาความสัมพันธ์ (correlation analysis) ระหว่างปัจจัยทางกายภาพของแหล่งน้ำต่างๆ กับ Principal Component โดยวิธี Principal Component Analysis (PCA) วิเคราะห์หาความสัมพันธ์ระหว่างการกระจายของชนิดแมลงริ้นต่อกับ Principal Component โดยใช้วิธี Stepwise regression analysis ตรวจสอบความแตกต่างของปัจจัยทางกายภาพของแหล่งเพาะพันธุ์ในแต่ละภูมิภาคและความแตกต่างของชนิดแมลงริ้นต่ำที่พบในแต่ละภูมิภาค โดยใช้วิธี Discriminant Function Analysis (DFA)

2. การศึกษาในห้องปฏิบัติการ

2.1 การจำแนกชนิดแมลงรินดำโดยการศึกษารูปร่างลักษณะสัณฐานวิทยา

ทำการจำแนกชนิดของแมลงรินดำในระดับตัวอ่อนและตัวดักแด้ โดยการเปรียบเทียบรูปร่างลักษณะทางสัณฐานวิทยาภายนอกของตัวอ่อน และตัวดักแด้ที่ได้มีรายงานการศึกษาจากประเทศต่างๆ ในทวีปเอเชีย ดังนี้ ประเทศไทย (Takaoka and Suzuki, 1984; Takaoka and Saito, 1996; Takaoka and Adler, 1997; Takaoka and Kuvangkadilok, 1999; Kuvangkadilok and Takaoka ,2000; Takaoka, 2001; Takaoka and Choochote, 2002; Takaoka and Choochote, 2004a, b, c; Takaoka and Choochote 2005a, b, c, d, e, f, g, h, i, j) มาเลเซีย (Takaoka and Davies, 1995) อินเดีย (Datta,1974) ไนเวน (Takaoka, 1979) และญี่ปุ่น (Takaoka, 1977) ลักษณะสำคัญของตัวอ่อนที่ใช้แยกชนิด คือ สีของลำตัว การมีหรือไม่มี ventral papillae และลักษณะของ postgenal cleft สำหรับตัวดักแด้ลักษณะสำคัญที่ใช้แยกคือ ลักษณะของปลอกหุ้มดักแด้ (cocoon) และจำนวนและแบบแผนการเรียงตัวของ gill filaments

2.2 วิธีศึกษาโพลีทีนโครโนซ์มและวิธีแยกเพศ

โพลีทีนโครโนซ์มของรินดำเตรียมจากต่อมน้ำลายของตัวอ่อนที่เจริญเติบโตระยะสุดท้าย (สังเกตจาก gill spot สีดำบริเวณด้านข้างของปล้องอก) ทำการย้อมโพลีทีนโครโนซ์มตามวิธีของ Rothfels และ Dundar (1953) ดังนี้ เปิดส่วนห้องด้านล่างของตัวอ่อนที่ดองในน้ำยา Carnoy's fixative ภายใต้กล้องสเตอโริโอ แซ่ตัวอ่อนในน้ำกลัน 2 นาทีและแซ่ในกรด HCl 1N ที่อุณหภูมิ 62-65 °C ประมาณ 10 นาที และแซ่ตัวอ่อนในสี Feulgen ประมาณ 1 ชั่วโมงเพื่อย้อมโพลีทีนโครโนซ์ม หลังจากนั้นแซ่ตัวอ่อนใน sulfer water ประมาณ 10 นาที และล้างด้วยน้ำเย็น 2 ครั้ง เอี่ยดต่อมน้ำลายและวางต่อมน้ำลายใน 50% acetic acid บนแผ่นสไลด์แล้วปิดด้วย coverslip และกด coverslip ด้วยหัวแม่มือเพื่อให้โพลีทีนโครโนซ์มกระจาย และหยดสี 2% carmine ที่ขอบของ coverslip เพื่อให้โพลีทีนโครโนซ์มติดสีเข้มขึ้น หลังจากนั้นทำการศึกษาแบบแผนการเรียงตัวของเบนเด็ของโพลีทีนโครโนซ์มภายใต้กล้องจุลทรรศน์และถ่ายรูปโครโนซ์มที่เห็นเบนเด็ชัดเจนสำหรับทำแผนที่มาตรฐานของโครโนซ์ม การย้อมโดยวิธีนี้สามารถตรวจเชิงของแมลงรินดำได้ภายใต้กล้องสเตอโริโอ โดยศึกษาลักษณะรูปร่างอวัยวะเพศที่อยู่ด้านบนของปล้องห้องที่ 6 อันทะของเพศผู้จะมีลักษณะเล็กและกลม ขณะที่รังไข่ของเพศเมียมีลักษณะยาวรี

4. ผลการศึกษา

1. การแพร่กระจายและชนิดของแมลงรินคำ

งานวิจัยนี้ได้พบรินคำที่มีผู้รายงานการพบ และตั้งชื่อวิทยาศาสตร์แล้วจำนวน 41 ชนิด ในจำนวนนี้เป็นรินคำที่มีชื่อวิทยาศาสตร์แล้วแต่เพียงรายงานการพบในประเทศไทย เป็นครั้งแรก 1 ชนิด คือ *Simulium tahanense* เปอร์เซนต์และจำนวนของรินคำแต่ละชนิดที่จับได้แสดงในตารางที่ 1 ตัวอ่อน ตัวดักแด้ และตัวเต็มวัยเพศผู้และเพศเมียของรินคำบางชนิดที่พบแสดงในภาพที่ 2, 3 และ 4 ตามลำดับ รินคำทั้งหมดอยู่ในสกุล (Genus) *Simulium* และถูกจัดจำแนกอยู่ใน 6 สกุลย่อย (Subgenus) รินคำเหล่านี้มีการแพร่กระจายในจังหวัดต่างๆ ดังนี้

1. สกุลย่อย *Asiosimulium* Takaoka and Choochote พบ 1 ชนิด ได้แก่

1. *Simulium oblongum* พบ 2 แห่งในภาคตะวันออกเฉียงเหนือ ได้แก่ กิโลเมตรที่ 27+900 ทางหลวงหมายเลข 2330 จังหวัดสกลนคร และ น้ำตกผานางคอย อำเภอนาคู จังหวัดกาฬสินธุ์

2. สกุลย่อย *Daviesellum* Takaoka and Adler พบ 1 ชนิด ได้แก่

2. *Simulium pahangense* พบ 1 แห่งที่ น้ำตกจำปาทอง อำเภอเมือง จังหวัดพะเยา

3. สกุลย่อย *Gomphostilbia* Enderlein พบจำนวน 11 ชนิด ซึ่งจำแนกอยู่ใน 3 กลุ่มสปีชีส์ (species-group) ดังนี้

A. *batoense* – group

3. *Simulium angulistylum* พบ 4 แห่งในภาคเหนือ ภาคตะวันออกเฉียง และภาคกลาง ได้แก่ แก่งผานางคอยในอุทยานแห่งชาติแม่วงก์ จังหวัดกำแพงเพชร กิโลเมตรที่ 1-2 ทางหลวงหมายเลข 2106 จังหวัดสกลนคร และบ้านกวางแคมป์ และทางขึ้นเข้าพนิ่นทุ่ง กิโลเมตรที่ 17 ในอุทยานแห่งชาติแก่งกระจาน จังหวัดเพชรบุรี

4. *Simulium decuplum* พบ 6 แห่งในภาคเหนือและภาคกลาง ได้แก่ บ้านปางแพน อำเภออดอยสะเก็ด จังหวัดเชียงใหม่ น้ำตกจำปาทอง อำเภอเมือง และ น้ำตกแม่เหียียน อำเภอแม่ใจ จังหวัดพะเยา ทางขึ้นช่องเย็นกิโลเมตรที่ 72+250 ใน อุทยานแห่งชาติแม่วงก์ จังหวัดกำแพงเพชร หัวยขึ้มน้อยในอุทยานแห่งชาติภู hinร่อง กล้า จังหวัดพิษณุโลก และบ้านกวางแคมป์ในอุทยานแห่งชาติแก่งกระจาน จังหวัด เพชรบุรี

5. *Simulium dentistylum* พบ 1 แห่งในภาคเหนือ ได้แก่ ข้างโรงพยาบาลพบพระ จังหวัดตาก

6. *Simulium gombakense* พบ 3 แห่งในภาคเหนือและภาคกลาง ได้แก่ ช่องเย็นในอุทยานแห่งชาติแม่วงก์ จังหวัดกำแพงเพชร น้ำตกไดช่องถ่อง และน้ำตกเกริงกระเวีย จังหวัดกาญจนบุรี

7. *Simulium parahiyangum* พบ 6 แห่งในภาคเหนือและภาคกลาง ได้แก่ ห้วยแม่ต้า จังหวัดพะ夷า แก่งผานางคอยในอุทยานแห่งชาติแม่วงก์ จังหวัดกำแพงเพชร น้ำตกตาดหมอก จังหวัดเพชรบูรณ์ ห้วยปากคอกและบ้านอู่ล่อง อำเภอทองผาภูมิ จังหวัดกาญจนบุรี และทางขึ้นเข้าพเนินทุ่งในอุทยานแห่งชาติแก่งกระจาน จังหวัดเพชรบุรี

8. *Simulium siamense* พบ 25 แห่งในภาคเหนือ ภาคตะวันออกเฉียงเหนือ และภาคกลาง ได้แก่ บ้านทุ่งยาว อำเภอเวียงป่าเป้า จังหวัดเชียงราย ห้วยแม่ต้า จังหวัดพะ夷า กิโลเมตรที่ 50 ทางหลวงหมายเลข 101 และห้วยสาคร จังหวัดน่าน ข้างโรงพยาบาลพบพระ จังหวัดตาก คลองบางปลาสร้อย อำเภอปางศิลาทอง และแก่งผานางคอยในอุทยานแห่งชาติแม่วงก์ จังหวัดกำแพงเพชร ห้วยองธิ ห้วยเชียง ห้วยเชียงย่าง ห้วยปากคอก และ บ้านอู่ล่อง จังหวัดกาญจนบุรี บ้านกลางแคมป์และทางขึ้นเข้าพเนินทุ่ง ในอุทยานแห่งชาติแก่งกระจาน จังหวัดเพชรบูรี บ้านน้ำพุ กิโลเมตรที่ 26-27 ทางหลวงหมายเลข 2330 สพานกิโลเมตรที่ 27 + 900 ทางหลวงหมายเลข 2330 กิโลเมตรที่ 1-2 ทางหลวงหมายเลข 2106 และบ้านสร้างแก้ว จังหวัดสกลนคร กิโลเมตรที่ 24 ทางหลวงหมายเลข 2287 อำเภอเขาวง จังหวัดกาฬสินธุ์ น้ำตกตาดโคน อำเภอหนองสูง น้ำตกตาดโคน อำเภอคำชะอี ห้วยคันแท และน้ำตกภูสีฐาน จังหวัดมุกดาหาร และน้ำตกบ้านด่านคู่ อำเภอต่านชัย จังหวัดเลย

9. *Simulium tahanense* พบ 6 แห่งในภาคเหนือและภาคตะวันออกเฉียงเหนือ ได้แก่ อุทยานแห่งชาติเชียงดาว และแม่น้ำแม่เกี้ยง อำเภอเชียงดาว จังหวัดเชียงใหม่ คลองบางปลาสร้อย อำเภอปางศิลาทอง แก่งผานางคอยและทางขึ้นช่องเย็น กิโลเมตรที่ 72+250 ในอุทยานแห่งชาติแม่วงก์ จังหวัดกำแพงเพชร และบ้านโป่ง อำเภอต่านชัย จังหวัดเลย

B. *ceylonicum* - group

10. *Simulium asakoae* พบ 8 แห่งในภาคเหนือและภาคตะวันออกเฉียงเหนือ ได้แก่ โครงการหลวงและน้ำตกสิริกูมิในอุทยานแห่งชาติดอยอินทนนท์

น้ำตกดอยปุยในอุทยานแห่งชาติสุเทพ-ปุย อุทยานแห่งชาติเชียงดาว แม่น้ำปิง อำเภอเชียงดาว อุทยานแห่งชาติแม่ฝาง อำเภอฝาง จังหวัดเชียงใหม่ น้ำตกจำปาทอง อำเภอเมือง น้ำตกแม่เหียยิน อำเภอแม่ใจ และบ้านท่ากลอง อำเภอเมือง จังหวัดพะเยา ข้างโรงพยาบาลพะระ จังหวัดตาก แก่งผานนางคอยและทางขึ้นช่องเย็น กิโลเมตรที่ 72+250 ในอุทยานแห่งชาติแม่วงก์ จังหวัดกำแพงเพชร หัวยขมีนน้อยในอุทยานแห่งชาติภู hinร่อง กล้า จังหวัดพิษณุโลก กิโลเมตรที่ 26-27 ทางหลวงหมายเลข 2330 จังหวัดสกลนคร น้ำตกภูสีฐาน จังหวัดมุกดาหาร น้ำตกบ้านด่านคู่และบ้านโป่ง อำเภอต่านชัย จังหวัดเลย

11. *Simulium inthanonense* พบ 1 แห่งในภาคเหนือ ได้แก่ น้ำตกสิริก่มในอุทยานแห่งชาติดอยอินทนนท์ จังหวัดเชียงใหม่

12. *Simulium sheilae* (S. sp. g) พบ 2 แห่งในภาคเหนือและภาคกลาง ได้แก่ น้ำตกห้วยทรายเหลืองในอุทยานแห่งชาติดอยอินทนนท์ จังหวัดเชียงใหม่และน้ำตกเกริงกระเวีย จังหวัดกาญจนบุรี

C. *varicorne* – group

13. *Simulium burtoni* พบ 6 แห่งในภาคเหนือและภาคกลาง ได้แก่บ้านทุ่งยา จังหวัดเชียงราย น้ำตกสิริก่มในอุทยานแห่งชาติดอยอินทนนท์และบ้านปางแพน อำเภออดอยสะเก็ด จังหวัดเชียงใหม่ ข้างโรงพยาบาลพะระ จังหวัดตาก ทางขึ้นช่องเย็น กิโลเมตรที่ 72+250 ในอุทยานแห่งชาติแม่วงก์ จังหวัดกำแพงเพชร บ้านกลางแคมป์ในอุทยานแห่งชาติแก่งกระจาน จังหวัดเพชรบุรี และสพานกิโลเมตรที่ 27 + 900 ทางหลวงหมายเลข 2330 จังหวัดสกลนคร

4. สกุลย่อย *Montisimulium Rubtsov* พบเพียง 1 ชนิด คือ

14. *Simulium merga* (S. sp. G) พบเฉพาะที่อ่างกาຍอุดดอยอินทนนท์ จังหวัดเชียงใหม่

5. สกุลย่อย *Nevermannia Enderlein* พบ 4 ชนิด ซึ่งจำแนกอยู่ใน 3 กลุ่มสปีชีส์ ได้แก่

A. *feuerborni* – group

15. *Simulium fruticosum* พบ 4 แห่งในภาคเหนือ ได้แก่ โครงการหลวงและน้ำตกสิริก่มในอุทยานแห่งชาติดอยอินทนนท์และน้ำตกดอยปุยในอุทยานแห่งชาติสุเทพ-ปุย จังหวัดเชียงใหม่ และช่องเย็นในอุทยานแห่งชาติแม่วงก์ จังหวัดกำแพงเพชร

16. *Simulium sp. nr. feuerborni* พบที่น้ำตกสิริกูมิในอุทยานแห่งชาติ
ดอยอินทนนท์ จังหวัดเชียงใหม่

B. ruficorne – group

17. *Simulium aureohirtum* พบ 12 แห่งในภาคเหนือ และ ภาค
ตะวันออก เนียงเหนือ ได้แก่ บ้านท่ากลอง อําเภอเมือง จังหวัดพะเยา อุทยานแห่งชาติ
แจ้ซ้อน จังหวัดลำปาง ซ่องเย็นในอุทยานแห่งชาติแม่วงก์ จังหวัดกำแพงเพชร ห้วยข้มีน
น้อยในอุทยานแห่งชาติภู hin ร่องกล้า จังหวัดพิษณุโลก คลองท่ากระบาง อําเภอวัฒนา
นคร จังหวัดสระบุรี ก้าว บ้านนำพุและบ้านสร้างแก้ว จังหวัดสกลนคร กิโลเมตรที่ 24 ทาง
หลวงหมายเลข 2287 อําเภอเขาวง จังหวัดกาฬสินธุ์ น้ำตกตาดโตน อําเภอหนองสูงและ
น้ำตกภูส្ទาน จังหวัดมุกดาหาร น้ำตกบ้านด่านคู่และบ้านโป่ง อําเภอด่านชัย จังหวัด
เลย

C. vernum – group

18. *Simulium caudisclerum* พบเฉพาะที่น้ำตกสิริกูมิในอุทยานแห่ง
ชาติดอยอินทนนท์ จังหวัดเชียงใหม่

6. ศักลย์อย *Simulium Latreille s. str.* พบ 23 ชนิด ซึ่งจดอยู่ใน 7 กลุ่มสเปชีส
ได้แก่

A. griseifrons – group

19. *Simulium grossifilum* พบที่ทางขึ้นช่องเย็น กิโลเมตรที่ 72+250 ใน
อุทยานแห่งชาติแม่วงก์ จังหวัดกำแพงเพชร

20. *Simulium mediocoloratum* พบ 2 แห่งในภาคเหนือ ได้แก่ น้ำตก
ดอยปุยในอุทยานแห่งชาติสุเทพ-ปุย จังหวัดเชียงใหม่ และน้ำตกจำปาทอง อําเภอเมือง
จังหวัดพะเยา

21. *Simulium nigrogilvum* พบ 3 แห่งในภาคเหนือ ได้แก่ น้ำตกห้วย
ตรายเหลืองในอุทยานแห่งชาติดอยอินทนนท์ และบ้านป่างแพน อําเภอดอยสะเก็ด
จังหวัดเชียงใหม่ และอุทยานแห่งชาติแจ้ซ้อน จังหวัดลำปาง

22. *Simulium phayaoense* พบเฉพาะที่น้ำตกจำปาทอง อําเภอเมือง
จังหวัดพะเยา

23. *Simulium phukaengense* พบเฉพาะที่น้ำตกจำปาทอง อําเภอเมือง
จังหวัดพะเยา

24. *Simulium rudniki* พบ 4 แห่งในภาคเหนือ ได้แก่น้ำตกแม่ยะและน้ำตกสิริกูมิในอุทยานแห่งชาติดอยอินทนนท์ จังหวัดเชียงใหม่ คลองบางปลาสร้อย อำเภอปางศิลาทอง และแก่งผ่านทางคอยในอุทยานแห่งชาติแม่วงก์ จังหวัดกำแพงเพชร

B. *multistriatum* – group

25. *Simulium chaliowae* พบเฉพาะที่น้ำตกหัวยโรง อำเภอร้องกวาง จังหวัดแพร่

26. *Simulium fenestratum* พบ 12 แห่งในภาคเหนือ ได้แก่ บ้านทุ่งยาว จังหวัดเชียงราย น้ำตกหัวยทรายเหลือง โครงการหลวง น้ำตกสิริกูมิและกิ่วแม่ปานใน อุทยานแห่งชาติดอยอินทนนท์ บ้านปาง芬 อำเภอดอยสะเก็ต อุทยานแห่งชาติเชียงดาว แม่น้ำปิง และแม่น้ำแม่เกี้ยง อำเภอเชียงดาว จังหวัดเชียงใหม่น้ำตกแม่เหียยิน อำเภอแม่ใจ จังหวัดพะเยา อุทยานแห่งชาติแจ้ซ้อน จังหวัดลำปาง และทางขึ้นช่องเย็น กิโลเมตรที่ 72+250 ในอุทยานแห่งชาติแม่วงก์ จังหวัดกำแพงเพชร

27. *Simulium sp. nr. fenestratum* พบ 2 แห่งในภาคเหนือ ได้แก่น้ำตกจำปاتอง อำเภอเมือง จังหวัดพะเยา และหัวยขึ้นน้อยในอุทยานแห่งชาติภูทิน ร่องกล้า จังหวัดพิษณุโลก

28. *Simulium lampangense* พบเฉพาะที่น้ำตกจำปاتอง อำเภอเมือง จังหวัดพะเยา

29. *Simulium takense* พบ 3 แห่งในภาคกลาง ได้แก่น้ำตกไดช่องถ่อง และน้ำตกเกริงกระเวียง จังหวัดกาญจนบุรี และทางขึ้นเขากะเนินทุ่ง กิโลเมตรที่ 17 ใน อุทยานแห่งชาติแก่งกระจาน จังหวัดเพชรบุรี

C. *nobile* – group

30. *Simulium nodosum* พบ 10 แห่งในภาคเหนือและภาคกลาง ได้แก่ บ้านทุ่งยาว จังหวัดเชียงราย บ้านปาง芬 อำเภอดอยสะเก็ต อุทยานแห่งชาติเชียงดาว แม่น้ำปิงและถ้ำดับเบตเต่า อำเภอไชยปราการ จังหวัดเชียงใหม่ ข้างโรงพยาบาลพบ พระ จังหวัดตาก บ้านแปลง 2 หัวยปากคอก และบ้านอู่ล่อง จังหวัดกาญจนบุรีและ บ้านโป่ง อำเภอต่านชัย จังหวัดเลย

D. *striatum* – group

31. *Simulium chiangmaiense* พบเฉพาะในภาคเหนือจำนวน 6 แห่ง ได้แก่ บ้านทุ่งยาว จังหวัดเชียงราย บ้านปาง芬 อำเภอดอยสะเก็ต แม่น้ำปิง แม่น้ำแม่

เกียง อำเภอเชียงดาวและถ้ำตับเต่า อำเภอไชยปราการ จังหวัดเชียงใหม่ และ คลองบางปลาสร้อย อำเภอปางศิลาทอง จังหวัดกำแพงเพชร

32. *Simulium nakhonense* พบ 19 แห่งในภาคเหนือ ภาคตะวันออกเฉียงเหนือ และภาคกลางได้แก่ บ้านทุ่งยว จังหวัดเชียงราย น้ำตกวังควาย ในอุทยานแห่งชาติดอยอินทนนท์ บ้านปางแฟน อำเภออดอยสะเก็ด แม่น้ำปิง แม่น้ำแม่เกียง อำเภอเชียงดาวและถ้ำตับเต่า อำเภอไชยปราการ จังหวัดเชียงใหม่ อุทยานแห่งชาติแจ้ซ้อน จังหวัดลำปาง ห้วยแม่สาคร จังหวัดน่าน คลองบางปลาสร้อย อำเภอปางศิลาทอง แก่งผา นางคอยในอุทยานแห่งชาติแม่วงก์ จังหวัดกำแพงเพชร น้ำตกคาดหมอก จังหวัดเพชรบูรณ์ ห้วยองธี บ้านแปลง 2 ห้วยเขย่ง ห้วยปากคอก และบ้านอุ่ล่อง จังหวัดกาญจนบุรี บ้านกลางแคมป์และทางขึ้นเขาพเนนทุ่ง ในอุทยานแห่งชาติแก่งกระจาด จังหวัดเพชรบูรี และน้ำตกบ้านด่านคู่ อำเภอต่านชัย จังหวัดเลย

33. *Simulium quinquestriatum* พบ 13 แห่งในภาคเหนือ ภาคตะวันออกเฉียงเหนือ และภาคกลางได้แก่ บ้านทุ่งยว จังหวัดเชียงราย น้ำตกแม่ยะและน้ำตกวังควาย ในอุทยานแห่งชาติดอยอินทนนท์ บ้านปางแฟน อำเภออดอยสะเก็ด จังหวัดเชียงใหม่ อุทยานแห่งชาติแจ้ซ้อน จังหวัดลำปาง คลองบางปลาสร้อย อำเภอปางศิลาทอง แก่งผา นางคอยในอุทยานแห่งชาติแม่วงก์ จังหวัดกำแพงเพชร บ้านอุ่ล่อง น้ำตกได้ช่องต่อง และน้ำตกเกริงกระเวีย จังหวัดกาญจนบุรี บ้านกลางแคมป์ในอุทยานแห่งชาติแก่งกระจาด จังหวัดเพชรบูรี น้ำตกคาดโนน อำเภอหนองสูง จังหวัดมุกดาหาร และน้ำตกบ้านด่านคู่ อำเภอต่านชัย จังหวัดเลย

E. *tuberosum* – group

34. *Simulium doipuiense* (S. sp. E) พบเฉพาะที่น้ำตกสิริกูมิในอุทยานแห่งชาติดอยอินทนนท์และน้ำตกดอยปุยในอุทยานแห่งชาติสูเทป-ปุย จังหวัดเชียงใหม่

35. *Simulium rufibasis* พบในภาคเหนือที่น้ำตกห้วยทรายเหลือง โครงการหลวง น้ำตกสิริกูมิและกิ่วแม่ปานในอุทยานแห่งชาติดอยอินทนนท์ จังหวัดเชียงใหม่

36. *Simulium sp. nr. rufibasis* พบที่น้ำตกห้วยทรายเหลือง และโครงการหลวง ในอุทยานแห่งชาติดอยอินทนนท์ จังหวัดเชียงใหม่

37. *Simulium setsukoae* พบเฉพาะที่อ่างกাযอุดดอยอินทนนท์ จังหวัดเชียงใหม่

38. *Simulium tani* พบ 14 แห่งในภาคเหนือและภาคกลาง ได้แก่ บ้านทุ่งยารา จังหวัดเชียงราย น้ำตกศรีภูมิในอุทยานแห่งชาติดอยอินทนนท์ บ้านปางแฟน อำเภออดอยสะเก็ด แม่น้ำแม่เกี้ยง อำเภอเชียงดาวและถ้ำดับเต่า อำเภอไชยปราการ จังหวัดเชียงใหม่ น้ำตกจำปาทอง อำเภอเมืองและน้ำตกแม่เหียียน อำเภอแม่ใจ จังหวัดพะเยา อุทยานแห่งชาติแจ้ซ้อน จังหวัดลำปาง แก่งผานนางคอยในอุทยานแห่งชาติแม่วงก์ จังหวัดกำแพงเพชร น้ำตกตาดหมอก จังหวัดเพชรบูรณ์ ห้วยขมินน้อยในอุทยานแห่งชาติภู hinร่องกล้า จังหวัดพิษณุโลก บ้านกลางแคมป์และทางขึ้นเข้าพะเนินทุ่ง ในอุทยานแห่งชาติแก่งกระ Jian จังหวัดเพชรบูรณ์และน้ำตกบ้านด่านคู่ อำเภอต่านชัย จังหวัดเลย

39. *Simulium weiji* พบ 3 แห่งในภาคเหนือ และภาคกลาง ได้แก่น้ำตกหารทอง จังหวัดลำปาง กิโลที่ 5 ทางหลวงหมายเลข 1090 แม่สอด-พบพระ อำเภอแม่สอด จังหวัดตากและน้ำตกได้ช่องถ่อง จังหวัดกาญจนบุรี

40. *Simulium yuphae* พบเฉพาะในภาคเหนือจำนวน 3 แห่ง ได้แก่น้ำตกดอยปุยในอุทยานแห่งชาติสุเทพ-ปุย จังหวัดเชียงใหม่ น้ำตกจำปาทอง อำเภอเมือง จังหวัดพะเยาและทางขึ้นช่องเย็น กิโลเมตรที่ 72+250 ในอุทยานแห่งชาติแม่วงก์ จังหวัดกำแพงเพชร

F. *variegatum* – group

41. *Simulium chamlongi* พบเฉพาะในภาคเหนือ ได้แก่ น้ำตกห้วยทรายเหลือง โครงการหลวง น้ำตกศรีภูมิและกิ่วแม่ปานในอุทยานแห่งชาติดอยอินทนนท์ และแม่น้ำปิง จังหวัดเชียงใหม่

ตารางที่ 1 เปอร์เซนต์และจำนวนตัวอย่างของแมลงวันคำชนิดต่างๆ ในแหล่งน้ำหลอมรرمชาตในภาคเหนือ ภาคตะวันออกเฉียงเหนือและภาคกลางของประเทศไทย

Location (Altitude)	Collection date	Number analyzed	C. (A.) oblongum	S. (D.) pachangonae	S. (G.) angulifolium	S. (G.) decipuum	S. (G.) dentifolium	S. (G.) gomphakeneae	S. (G.) parahyanganicum	S. (G.) stemonae	S. (G.) tachanoneae	S. (G.) asteraceae	S. (G.) imithanoneae	S. (M.) marginata	S. (N.) auriculatum	S. (N.) austrocleratum	S. (S.) nigroglabrum	S. (S.) mediceolarium	S. (S.) chlorowee	S. (S.) fennestrelatum	S. (S.) ep. n. fennestrelatum	S. (S.) lamprangonae	S. (S.) takonae	S. (S.) nodosum	S. (S.) schlegeliana	S. (S.) quinquestriatum	S. (S.) diplonotae	S. (S.) rufilabiae	S. (S.) teai	S. (S.) wesi	S. (S.) yuprasae	S. (S.), charniongii	unknown						
North																																							
Chiang Rai																																							
1. Ban Thong Yao, Wiang Pa Pao District (685 m)	23 Jul 05	610	-	-	-	-	-	0.2 (1)	-	-	2.3 (4)	-	-	-	-	-	-	3.9 (18)	-	-	2.0 (12)	11.8 (72)	78.0 (476)	2.6 (16)	-	-	0.2 (1)	-	-	-	-	-	-	-	-				
Chiang Mai																																							
2. Mae Ya WF (520 m)	24 Jul 05	857	-	-	-	-	-	-	-	-	-	-	-	-	-	-	-	60.8 (521)	-	-	-	-	-	-	-	-	39.2 (366)	-	-	-	-	-	-	-					
3. Wang Khwai WF (421 m)	24 Jul 05	422	-	-	-	-	-	-	-	-	-	-	-	-	-	-	-	-	-	-	-	-	-	-	-	-	-	-	-	-	-	-	-						
4. Huai Sai Luang WF (1,050 m)	24 Jul 05	133	-	-	-	-	-	-	-	-	-	-	-	-	-	-	-	1.5 (2)	-	-	-	76.7 (102)	-	-	-	-	-	-	-	-	-	-	-	-					
	25 Jan 06	117	-	-	-	-	-	-	-	-	-	-	-	-	-	-	-	-	-	-	-	-	-	-	-	-	-	-	-	-	-	-	-	-					
5. Royal Project (1,400 m)	24 Jul 05	300	-	-	-	-	-	-	-	-	-	-	-	-	-	-	-	33.3 (100)	-	-	-	53.7 (161)	-	-	-	-	1.3 (4)	-	-	-	-	-	-	-	-	-			
																																		-	-	-	-	-	-

ตารางที่ 1 เปอร์เซนต์และจำนวนตัวอ่อนของแมลงวันตามชนิดต่างๆในภาคเหนือ แหลมรวมฯ ตั้งแต่ปี ๒๕๖๐-๒๕๖๔ แสดงถึงความหลากหลายทางชีวภาพของประเทศไทย (ต่อ)

	25 Jan 06	256	-	-	-	-	-	5.5 (14)	-	-	66.8 (171)	-	-	-	-	24.6 (63)	-	-	-	3.1 (8)	-	-				
6. Siphum WF (1,480 m)	24 Jul 05	417	-	-	-	-	-	0.2 (1)	3.4 (14)	1.7 (7)	0.2 (1)	-	-	-	-	72.4 (302)	0.7 (8)	-	-	6.0 (25)	-	-				
	25 Jan 06	266	-	-	-	-	-	1.9 (6)	-	-	0.7 (2)	5.3 (14)	-	-	-	-	90.6 (211)	-	-	-	0.8 (2)	-	-			
7. Kew Mae Pan (2,300 m)	25 Jan 06	175	-	-	-	-	-	-	-	-	-	0.7 (2)	-	-	-	-	-	-	-	-	21 (53)	-	-			
8. Ang Ka (2,460 m)	25 Jan 06	250	-	-	-	-	-	-	-	-	13.7 (24)	-	-	-	-	-	60.6 (106)	-	-	-	-	-	-			
9. Ban Pang Fan Del Sa Kaeo District (700 m)	25 Jul 05	698	-	-	0.4 (2)	-	-	0.3	-	-	-	-	-	-	-	-	34.8 (87)	-	-	-	-	-	-			
10. Doi Pui WF (1,235 m)	24 Jan 06	407	-	-	-	-	-	-	58.0 (236)	-	-	7.4 (30)	-	-	-	-	28.4 (198)	11.1 (20)	43.8 (305)	4.2 (29)	-	-	5.7 (46)	-	-	
11. Chiang Dao NP, Chiang Dao District (580 m)	23 Jan 06	105	-	-	-	-	-	3.0 (4)	32.4 (34)	-	-	28.3 (115)	-	-	-	-	-	-	-	-	-	-	4.2 (17)	-	-	
12. Ping River, Chiang Dao district (677 m)	23 Jan 06	395	-	-	-	-	-	-	-	53.4 (211)	-	-	-	-	-	-	-	-	-	-	-	-	-	-	-	
13. Mae Klaeng River, Chiang Dao District (733 m)	23 Jan 06	89	-	-	-	-	-	-	-	-	-	2.2 (2)	-	-	-	-	-	-	-	-	5.6 (5)	-	-	5.6 (5)	-	-
14. Tham Thap Tao, Chiang Dao District (540 m)	23 Jan 06	635	-	-	-	-	-	-	-	-	-	-	-	-	-	-	-	-	-	-	-	-	15.9 (101)	21.1 (134)	61.9 (393)	

ตารางที่ 1 เปรียบเทียบจำนวนตัวอ่อนของแมลงรุ่นต่างๆ ชนิดต่างๆ ในแต่ละช่วงเวลา สำหรับการกำจัดของประเทศไทย (ต่อ)

ตารางที่ 1 เบอร์ชานต์และจำนวนตัวอย่างของแมลงวันตัวซึ่งไม่สามารถจับตัวชนิดต่างๆ ในแหล่งน้ำ “หลังรัฐราษฎร์” ในภาคเหนือ ภาคตะวันออกเฉียงเหนือและภาคกลางของประเทศไทย (ต่อ)

ตารางที่ 1 เปอร์เซ็นต์และจำนวนครัวเรือนของแต่ละเพศในแต่ละวันของเดือนกันยายน ประจำปี พ.ศ. ๒๕๖๓

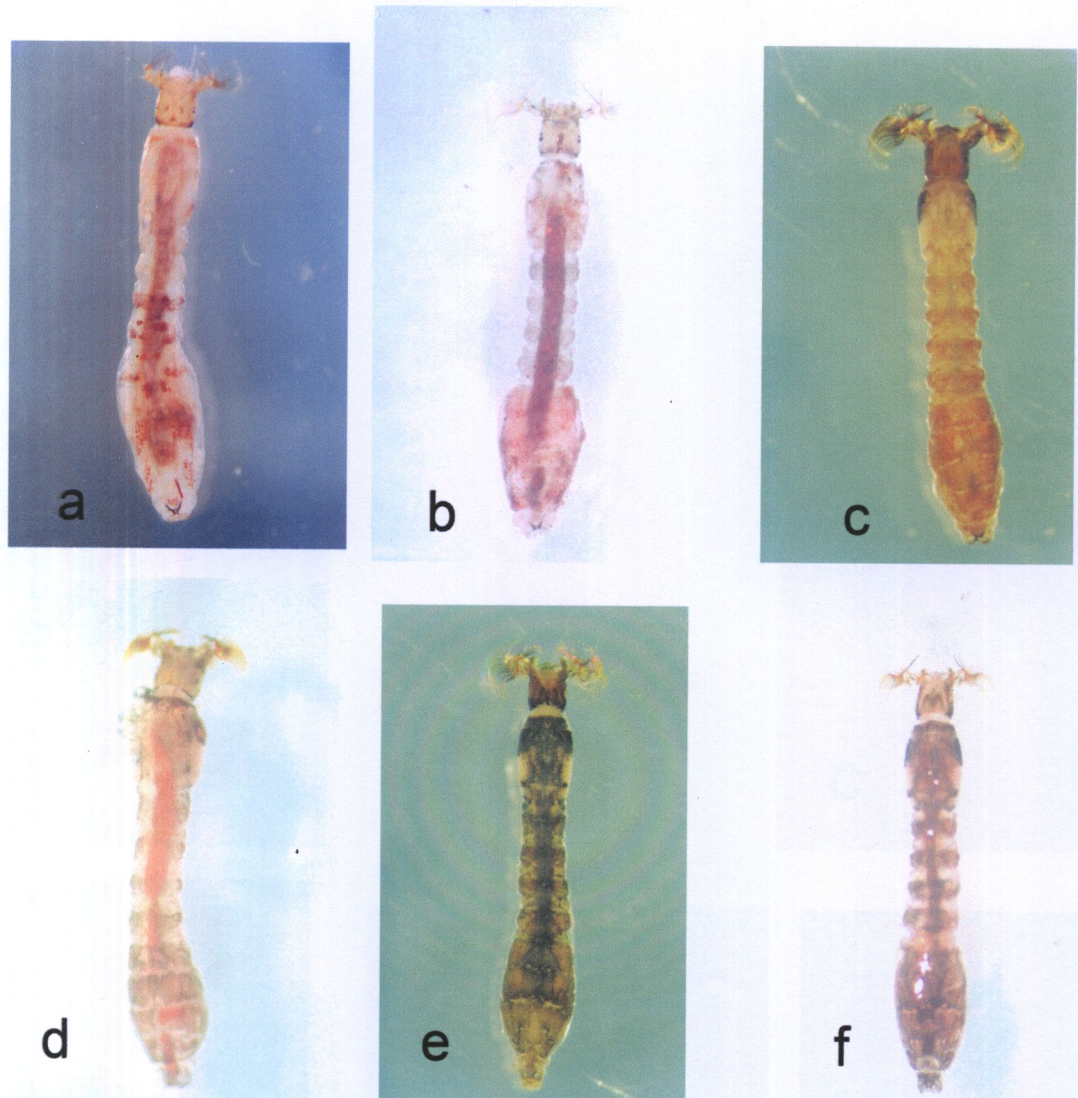
ตารางที่ 1 เปอร์เซ็นต์และจำนวนตัวอ่อนของเมล็ดรังนั่งในแหล่งน้ำหลักของภาคกลางของประเทศไทย (ต่อ)

ตารางที่ 1 เบอร์เซนต์เบ็ดจำนวนครัวเรือนที่มีภาระค่าใช้จ่ายในการซื้อขายและบริการสูงกว่ารายได้ทั้งหมด (%)

Sakhonnakhon	
46. Ban Nam Phu Km 13 Road No. 2330 (317 m)	10 Jun 05 29 - - - - -
47. Km 26-27 Road No. 2330 (204 m)	10 Jun 05 45 - - - - -
48. Km 27+300 Road No.2330 (200 m)	10 Jun 05 26 3.9 (1) - - - - -
49. Km 1-2 Road No. 2106 (210 m)	11 Jun 05 242 - - 0.8 (2) - - - - -
50. Ban Sangleaw (306 m)	11 Jun 05 81 - - - - -
Kalasin	
51. Phu Nang Koi WF, Na Khu District (189 m)	10 Jun 05 26 100.0 (26) - - - - -
52. Km 74 Road No. 2287, Khao Wong District (304 m)	11 Jun 05 27 - - - - -
Mukdahan	
53. Tad Ton WF (1), Nong Sung District (250 m)	26 Dec 05 69 - - - - -
54. Tad Ton WF (2), Khambai District (300 m)	26 Dec 05 42 - - - - -
	- 27.6 (8) - - - - -
	- 4.4 (2) - - - - -
	- 19.2 (5) - - - - -
	- 97.5 (79) - - - - -
	- 70.4 (19) - - - - -
	- 13.0 (9) - - - - -
	- 100. (42) - - - - -
	- 46.4 (32) - - - - -
	- 40.6 (28) - - - - -

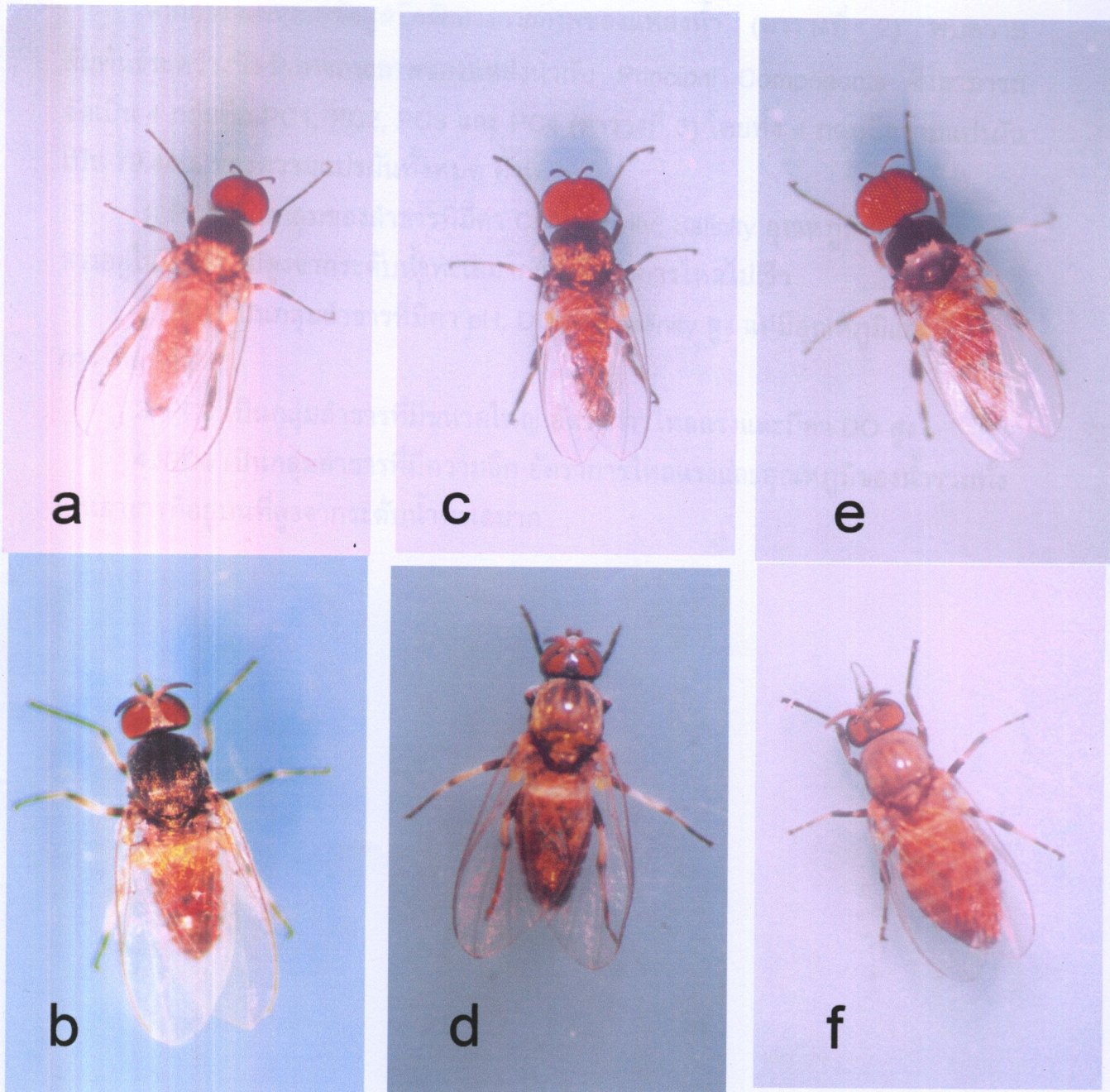
ตารางที่ 1 เปอร์เซนต์และจำนวนตัวอ่อนช่องแมลงรัตน์ตามเดือนต่อไปในแหล่งน้ำใหม่ธรรมชาติในภาคเหนือ ภาคตะวันออกเฉียงเหนือ และภาคกลางของประเทศไทย (ต่อ)

55. Huai Khan Ta, Khanchae District (300 m)	26 Dec 05	108	-	-	-	-	-	-	100.0	-	-	-	-	-	-	-	-	-	-	-	-	-	-
56. Phusithan WF, Khanchae district (300 m)	26 Dec 05	85	-	-	-	-	-	-	50.0	28.2	-	-	-	-	-	11.8 (10)	-	-	-	-	-	-	-
Loei									51.1	(24)	-	-	-	-	-	-	-	-	-	-	-	-	-
57. Ban Dan Ku WF, Dan Sai District (350 m)	18 Feb 06	178	-	-	-	-	-	-	0.6	-	-	-	0.6 (1)	-	-	2.8 (5)	-	-	-	11.6 (21)	80.9 (144)	-	-
58. Ban Pong, Dan Sai District (300 m)	18 Feb 06	72	-	-	-	-	-	-	12.5	1.4	34.7 (1)	-	-	-	-	43.1 (25)	-	-	-	4.2 (3)	4.2 (3)	-	-



ภาพที่ 2 ตัวอ่อนแมลงรืนด้ำชนิดต่างๆ a, *Simulium (N.) fruticosum*; b, *S. (G.) asakoae*; c, *S. (S.) baimaii*; d, *S. (S.) chaliowae*; e, *S. (S.) fenestratum*; f, *S. (S.) yuphae*; g, headcapsule of *S. (G.) siamense* (dorsal view); h, head capsule (ventral view) showing postgenal cleft; ca=cephalic apotome; lf=labral fan; pc= postgenal cleft.

การวิเคราะห์ทางเดินด้วย PCA
Principal Component Analysis (PCA)



ภาพที่ 4 ตัวเต็มวัยเพศผู้และเพศเมียของแมลงรืนคำชนิดต่าง ๆ a, *Simulium (G.) asakoae* เพศผู้; b, เพศเมีย; c, *S. (S.) fenestratum* เพศผู้; d, เพศเมีย; e, *S. (S.) chiangmaiense* เพศผู้; f, เพศเมีย

2. นิเวศวิทยาของแหล่งน้ำเพาะพันธุ์

2.1 ผลการวิเคราะห์ความสัมพันธ์ของปัจจัยทางกายภาพของแหล่งน้ำต่างๆ ด้วย วิธี Principal Components Analysis (PCA)

จากการวิเคราะห์ข้อมูลปัจจัยทางกายภาพของแหล่งน้ำ (ตารางที่ 2) พบความสัมพันธ์ระหว่างปัจจัยทางกายภาพของแหล่งน้ำกับ Principal Components ซึ่งสามารถจัดเป็น 4 กลุ่มคือ PC1, PC2, PC3 และ PC4 (ตารางที่ 3) โดยทั้ง 4 กลุ่มนี้มีความแปรผันเป็น 79.44% ของความแปรผันทั้งหมด ดังนี้

1. PC1 เป็นกลุ่มของล่ามารที่มีค่า Conductivity, Salinity อุณหภูมิของน้ำสูง ล่ามารอยู่ในพื้นที่ที่ไม่สูงจากระดับน้ำทะเลมากและอัตราการไหลไม่เร็ว
2. PC2 เป็นกลุ่มล่ามารที่มีค่า pH, DO และ salinity สูง แต่มีอุณหภูมิและอัตราการไหลที่ต่ำ
3. PC3 เป็นกลุ่มล่ามารที่มีขนาดใหญ่ อัตราการไหลแรงและมีค่า DO สูง
4. PC4 เป็นกลุ่มล่ามารที่มีความลึก อัตราการไหลแรงและอุณหภูมิของน้ำรวมทั้งเป็นล่ามารที่อยู่บนที่สูงจากระดับน้ำทะเลมาก

ตารางที่ 2 ป้อมพัฒนาการพารามิเตอร์ทางน้ำเพื่อประเมินค่าในภาคเหนือ ภาคตะวันออกเฉียงเหนือและภาคกลางของประเทศไทย

Location	Collection date	Altitude (m)	Water temperature (C°)	Water velocity (m/s)	Dissolved oxygen (mg/l)	Conductivity (s/cm)	pH	Salinity (ppt)	Width (m)	Depth (m)
North										
Chiang Rai										
1. Ban Thong Yao, Wiang Pa Pao District	23 Jul 05	665	24.7	0.75	5.98	54.26	7.6	0.0	5.30	0.33
Chiang Mai										
2. Mae Ya WF, Doi Inthanon National Park	24 Jul 05	520	23.2	0.89	8.90	67.70	8.1	0.0	10.00	0.12
3. Wang Khwai WF, Doi Inthanon National Park	24 Jul 05	421	23.8	0.63	6.40	45.06	8.0	0.0	11.00	0.23
4. Huai Sai Luang WF, Doi Inthanon National Park	24 Jul 05	1,050	19.0	0.97	6.81	10.66	7.3	0.0	5.00	0.34
	25 Jan 06	1,050	16.3	0.91	7.60	10.50	7.8	0.0	4.70	0.12
5. Royal Project, Doi Inthanon National Park	24 Jul 05	1,400	19.6	0.17	6.03	16.10	7.4	0.0	1.60	0.67
	25 Jan 06	1,400	16.2	0.80	7.69	38.50	8.0	0.0	0.40	0.07
6. Siriphum WF, Doi Inthanon National Park	24 Jul 05	1,480	18.5	0.76	6.52	13.70	7.0	0.0	1.00	0.12
	25 Jan 06	1,300	16.3	0.36	6.62	39.60	8.0	0.0	0.70	0.23

7. Kew Mae Pan, Doi Inthanon National Park	25 Jan 06	2,300	11.1	0.64	7.56	5.10	7.8	0.0	1.60	0.03
8. Ang Ka, Doi Inthanon National Park	25 Jan 06	2,400	16.8	0.01	5.40	8.40	7.6	0.0	0.30	0.03
9. Ban Pang Fan Doi Saket District	25 Jul 05	700	24.8	0.70	6.38	32.20	7.3	0.0	5.30	0.35
10. Doi Pui WF, Suthep-Pui National Park	24 Jan 06	1,235	15.8	0.17	7.03	23.70	8.0	0.0	1.30	0.67
11. Chiang Dao National Park, Chiangdao District	23 Jan 06	580	21.4	0.69	7.46	514.30	8.3	0.0	0.40	0.09
12. Ping River, Chiangdao district	23 Jan 06	677	15.5	0.57	8.28	53.10	8.1	0.0	2.80	0.17
13. Mae Kieang River, Chiangdao District (733 m)	23 Jan 06	733	17.5	0.83	8.34	194.80	8.4	0.1	3.40	0.15
14. Tham Thap Tao, Chaiprakarn District	23 Jan 06	540	20.7	0.60	7.76	122.70	8.0	0.1	5.50	0.37
15. Mae Fang NP, Fang District Phayao	23 Jan 06	554	23.3	0.10	6.58	125.90	8.0	0.1	0.30	0.02
16. Huai Mae Tham	25 Jul 05	558	24.4	0.38	5.43	324.90	7.0	0.2	1.00	0.14
17. Champathong WF, Meung District	24 Jan 06	600	21.1	0.43	6.88	128.70	8.4	0.1	0.50	0.10
	19 Feb 06	600	23.6	0.30	6.55	173.50	8.3	0.1	2.00	0.08
18. Mae Yian WF, Mae Jai	19 Feb 06	611	22.0	0.53	6.69	232.10	8.4	0.1	1.80	0.20

District											
19. Ban Tha Klong, Mueng District	19 Feb 06	411	25.4	0.32	6.08	121.70	7.9	0.1	0.90	0.06	
Lampang											
20. Jaechon NP (1)	23 Jul 05	395	23.4	0.59	6.62	38.40	7.5	0.0	3.20	0.58	
Jaechon NP (2)	23 Jul 05	395	24.8	0.53	6.10	44.30	7.7	0.0	0.70	0.05	
21. Thantong WF, Wangnue District	24 Jan 06	607	23.5	0.52	6.37	52.60	8.5	0.3	2.70	3.33	
Nan											
22. Km. 50 Road No. 101	26 Jul 05	389	25.1	0.74	5.51	77.26	7.0	0.0	2.30	0.30	
23. Huai Mae Sa Khon	26 Jul 05	389	25.0	0.75	5.48	68.16	7.0	0.0	2.20	0.24	
Phrae											
24. Huai Rong WF, Rong Kwang District	26 Jul 05	402	23.7	0.55	6.60	397.30	7.0	0.2	3.30	0.24	
Tak											
25. Km 5 Road No. 1090 Maesod-Phobpra, Maesod District	22 Jul 05	423	25.6	0.42	6.11	542.00	8.1	0.2	1.20	0.88	
26. Phoppa Hospital, Phoppa District	22 Jul 05	400	25.6	0.20	5.40	558.66	8.1	0.3	1.60	0.17	
Khampangphet											
27. Klong Bang Pla Soi, Pangsilaithong District	24 Nov 05	168	22.8	0.10	7.88	76.77	7.7	0.0	3.20	0.42	

28. Kang Pha Nang Koi (1), Mae Wong National Park	24 Nov 05	313	22.4	0.03	7.94	81.37	7.1	0.0	3.70	0.17
29. Kang Pha Nang Koi (2), Mae Wong National Park	24 Nov 05	310	22.1	0.70	8.67	63.03	7.6	0.0	5.70	0.18
30. Chong Yen, Mae wong National Park	24 Nov 05	1,300	19.4	–	7.43	38.43	8.1	0.0	0.30	0.01
31. Road to Chong Yen Km 72+250	24 Nov 05	486	19.3	0.04	8.55	51.10	7.8	0.0	2.60	0.13
Phetchabun										
32. Tad Mork WF 1	27 Jul 05	520	22.5	1.00	6.71	100.10	7.0	0.1	4.80	0.34
33. Tad Mork WF 2	27 Jul 05	520	22.5	1.83	6.71	88.86	7.0	0.0	2.70	0.34
Phitsanulok										
34. Huai Khamunnoi	26 Jul 05	1,226	19.4	1.51	6.71	10.93	7.0	0.0	3.00	0.17
Central										
Kanchanaburi										
35. Huai Ong Thi, Thong Pha Phum District	22 Nov 05	106	23.4	0.04	7.84	293.07	8.2	0.1	2.80	0.34
36. Ban Plang 2, Thong Pha Phum District	22 Nov 05	150	24.3	0.09	7.80	231.17	7.9	0.1	4.60	0.24
37. Huai Khayeng Ban Lampiloc, Thong Pha Phum District	22 Nov 05	191	26.2	0.02	6.93	318.93	8.0	0.2	4.20	0.41
38. Huai Pak kok 1, Thong Pha	22 Nov 05	180	23.5	0.01	6.90	131.73	7.5	0.1	1.80	0.15

Phum District										
39. Huai Pak Kok 2, Thong Pha Phum District	22 Nov 05	201	22.8	0.39	7.35	127.60	7.9	0.1	2.00	0.10
40. Ban U-long, Thong Pha Phume District	22 Nov 05	162	20.2	0.69	8.36	181.60	8.2	0.1	8.20	0.26
41. Dai Chong Tong WF, Thong Pha Phume District	22 Nov 05	177	22.0	0.99	7.88	295.70	8.0	0.2	1.40	0.13
42. Krengkrawia WF, Thong Pha Phume district	22 Nov 05	246	22.1	0.12	7.54	314.17	8.1	0.2	3.20	0.35
Petchaburi										
43.Ban Krang Kamp	27 Nov 05	318	22.2	0.88	7.98	176.37	7.9	0.1	1.70	0.20
44. Road to Khao Pha Nern Thung Km 17	27 Nov 05	347	27.7	0.43	7.67	189.13	7.9	0.1	2.60	0.13
Srakeaw										
45. Klong Thakabark, WattanaNakhon District	12 Jun 05	67	30.2	0.15	2.05	39.10	6.2	0.0	1.20	0.28
Northeast										
Sakhonnakhon										
46. Ban Nam Phu Km 13 Road No. 2330	10 Jun 05	317	27.6	0.50	5.79	20.20	7.1	0.0	2.00	0.40
47. Km 26-27 Road No. 2330	10 Jun 05	204	25.9	0.05	5.48	138.20	7.1	0.1	3.00	0.05
48. Km 27+900 Road No.2330	10 Jun 05	200	27.0	0.10	5.90	28.50	7.1	0.0	0.60	0.10

49. Km 1-2 Road No. 2106	11 Jun 05	210	25.9	0.05	5.00	128.20	7.4	0.1	0.30	0.05
50. Ban Sangkeaw	11 Jun 05	306	28.4	0.05	5.30	40.10	7.1	0.0	0.80	0.30
Kalasin										
51. Pha Nang Koi WF, Na Khu District	10 Jun 05	189	26.6	0.30	6.34	48.00	7.9	0.0	1.50	0.20
52. Km 74 Road No. 2287, Khao Wong District	11 Jun 05	304	27.0	0.10	2.83	79.10	6.8	0.0	0.50	0.03
Mukdahan										
53. Tad Ton WF (1), Nong Sung District	26 Dec 05	250	22.0	—	—	—	6.5	—	1.50	0.20
54. Tad Ton WF (2), Khamcha-e District	26 Dec 05	300	23.0	—	—	—	6.5	—	1.50	0.15
55. Huai Khan Ta, Khamcha-e District	26 Dec 05	300	18.0	—	—	—	6.5	—	1.00	0.10
56. Phusrithan WF, Khamcha-e district	26 Dec 05	300	30.0	—	—	—	6.5	—	2.00	0.10
Loei										
57. Ban Dan Ku WF, Dan Sai District	18 Feb 06	350	26.3	0.04	6.61	95.38	7.8	0.0	7.00	0.13
58. Ban Pong, Dan Sai District	18 Feb 06	300	25.3	0.03	6.87	76.50	7.9	0.0	2.00	0.15

ตารางที่ 3 แสดงความสัมพันธ์ระหว่างปัจจัยทางกายภาพของแหล่งน้ำกับ Principal components โดยวิธี PCA และ Correlation analysis

Variable	Principal components			
	PC1	PC2	PC3	PC4
Width	-0.060	0.081	0.856*	-0.105
Depth	0.030	-0.179	0.653*	0.517*
Velocity	-0.339*	-0.428*	0.439*	0.291*
pH	0.265*	0.838*	-0.071	-0.115
Conductivity	0.850*	0.255	0.028	-0.017
Salinity	0.812*	0.319*	-0.119	0.115
Altitude	-0.618*	0.242	-0.199	0.396*
DO	-0.126	0.709*	0.383*	-0.146
Temperature	0.557*	-0.644*	0.031	-0.298*
% Variance Explained	26.96	24.64	16.51	11.33
Cumulative	26.96	51.60	68.10	79.44

* p<0.05

2.2 ความสัมพันธ์ระหว่างการกระจายของชนิดกับ principal components โดยวิธี stepwise regression analysis

ผลการวิเคราะห์จำนวนชนิดริบบ์ต่าที่เพิ่บมากกว่า 10% ของแหล่งน้ำทั้งหมดพบว่า มี 10 ชนิด ได้แก่ *S. parahiyangum*, *S. siamense*, *S. tahanense*, *S. asakoae*, *S. burtoni*, *S. nodosum*, *S. chiangmaiense*, *S. nakhonense*, *S. quinquestriatum*, และ *S. tani* แต่มีเพียง 5 ชนิด (ตารางที่ 4) ที่มีความสัมพันธ์อย่างมีนัยสำคัญกับปัจจัยทางกายภาพ (PCs) ของแหล่งอาศัย ได้แก่

S. siamense มีการกระจายสัมพันธ์กับ PC-1, และ PC-2 ซึ่งมีลักษณะร่วมกันคือ อัตราการไหลของน้ำไม่เร็วและอยู่ในพื้นที่ที่ไม่สูงจากระดับน้ำทะเลมาก

S. asakoae, *S. nakhonense*, *S. quinquestriatum* และ *S. tani* มีการกระจายสัมพันธ์กับ PC-3 ซึ่งเป็นกลุ่มลักษณะที่มีขนาดใหญ่และอัตราการไหลแรง

จากการวิเคราะห์ข้อมูลข้างต้นแสดงให้เห็นว่าขนาดและอัตราการไหลของลักษณะมีความสำคัญต่อการกระจายของแมลงริบบ์ต่า ซึ่งสอดคล้องกับการศึกษาอื่นๆ ทั่วโลกในอเมริกาใต้และอเมริกาเหนือ

ตารางที่ 4 Regression analysis ของการกระจายของแมลงรินดำกับปัจจัยทางกายภาพ (principal components)

Species	Regression coefficient					P
	B₀	PC-1	PC-2	PC-3	PC-4	
<i>S. siamense</i>	0.339	0.132	-0.163	-	-0.122	0.001
<i>S. asakoae</i>	0.339	-	-	-0.155	-	0.012
<i>S. nakhonense</i>	0.373	-	-	0.261	-	<0.001
<i>S. quinquestriatum</i>	0.203	-	-	0.229	-	<0.001
<i>S. tani</i>	0.271	-	-	0.143	-	0.014

หมายเหตุ จำนวนชนิดที่นำมาวิเคราะห์คือชนิดที่พบในแหล่งที่เก็บตัวอย่างอย่างน้อย 10% ของจำนวนแหล่งที่เก็บตัวอย่างทั้งหมด

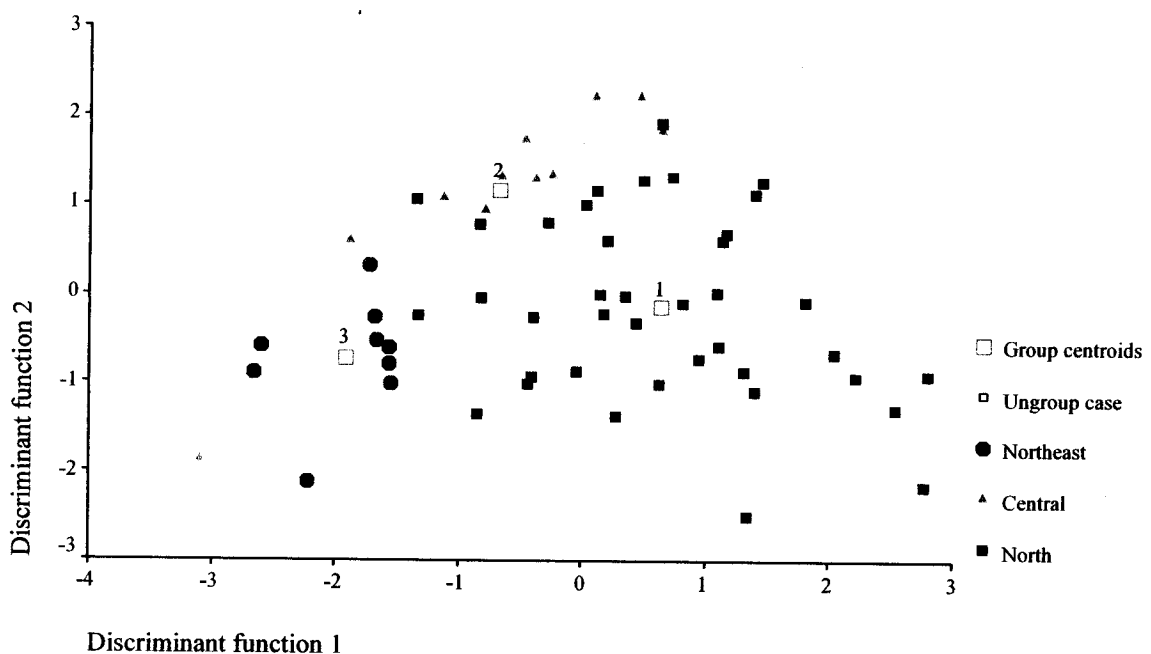
2.3 ศึกษาความแตกต่างของปัจจัยทางกายภาพของแหล่งอาศัยและชนิดของรินดำที่พบในภาคเหนือ กลาง และตะวันออกเฉียงเหนือ โดยการวิเคราะห์ข้อมูลด้วย Discriminant Function Analysis (DFA)

ผลการวิเคราะห์ข้อมูลชี้วิเคราะห์เฉพาะแหล่งที่มีข้อมูลครบ (ตารางที่ 5) แสดงให้เห็นว่าแต่ละภูมิภาคมีความแตกต่างกันทั้งด้านลักษณะทางกายภาพของแหล่งน้ำ (ภาพที่ 5) และชนิดของรินดำ (ภาพที่ 6) โดยปัจจัยทางกายภาพของแหล่งอาศัยที่ทำให้เกิดความแตกต่างระหว่างภูมิภาคมากที่สุด 5 อันดับแรก คือ ความเร็วของกระแส รองลงมาคือ pH, Conductivity, Altitude และ Salinity ตามลำดับ นอกจากนี้ชนิดของรินดำในแต่ละภูมิภาคมีความแตกต่างกัน ชนิดที่ทำให้เกิดความแตกต่างระหว่างภูมิภาคมากที่สุด 5 อันดับแรกคือ *S. grossifilum* รองลงมาคือ *S. tani*, *S. siamense*, *S. oblongum* และ *S. chiangmaiense* โดยแมลงรินดำชนิด *S. grossifilum* และ *S. chiangmaiense* พบริเวณภาคเหนือ ในขณะที่ *S. oblongum* พบริเวณภาคตะวันออกเฉียงเหนือ *S. tani* พบริเวณภาคเหนือและภาคกลาง ส่วน *S. siamense* พบริเวณภาคเหนือ ภาคตะวันออกเฉียงเหนือและภาคกลาง

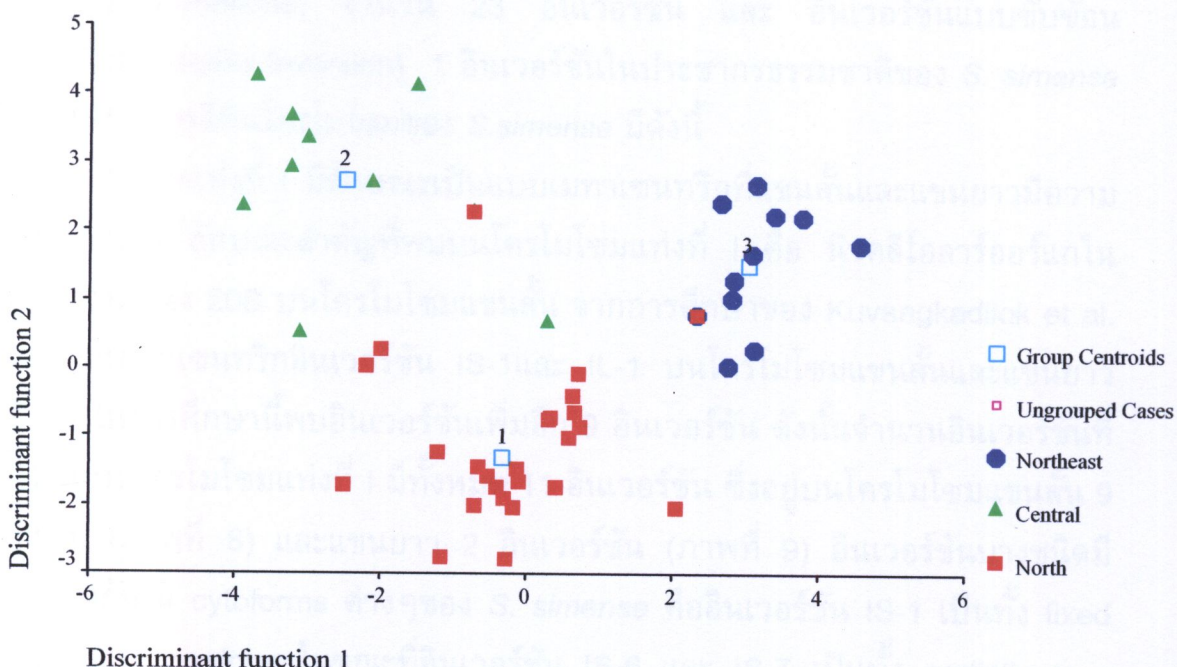
ตารางที่ 5 แสดงความแตกต่างของปัจจัยทางกายภาพของแหล่งอาศัยและชนิดของริ้นตามที่พบแต่ละภูมิภาค โดยวิธี Discriminant Function Analysis (DFA)

% Correct (N)	Discriminating variable			
	Stream site conditions		Stream fauna	
North (39)		72		95
Central (11)		82		91
Northeast (9)		100		100
Standardized coefficients*	Velocity	0.712	<i>S. grossifilum</i>	1.402
	pH	0.274	<i>S. tani</i>	1.003
	Conductivity	0.257	<i>S. siamense</i>	0.947
	Altitude	0.221	<i>S. oblongum</i>	0.777
	Salinity	0.210	<i>S. chinagmaiense</i>	0.739

*แสดงเฉพาะ 5 อันดับแรกที่มีอำนาจในการจำแนกมากที่สุด



ภาพที่ 5 กราฟ Discriminant function scores ของปัจจัยทางกายภาพ 9 ปัจจัยของแหล่งน้ำในแต่ละภูมิภาค จากกราฟแสดงให้เห็นความแตกต่างของปัจจัยทางกายภาพในแต่ละภูมิภาค



ภาพที่ 6 กราฟ Discriminant function scores ของชนิดรืนดำที่พนในแต่ละภูมิภาค จาก กราฟแสดงให้เห็นความแตกต่างของชนิดที่พนในแต่ละภูมิภาค

3. การศึกษาโพลีทีนโครโนซมของตัวอ่อนรืนดำชนิด *Simulium siamense*

3.1 รูปร่างลักษณะของโพลีทีนโครโนซมของแมลงรืนดำชนิด *Simulium siamense*

ศึกษาโพลีทีนโครโนซมของ แมลงรืนดำชนิด *S. siamense* จำนวน 1,824 ตัว ที่เก็บจากแหล่งน้ำในธรรมชาติจำนวน 32 แห่งในบริเวณภาคเหนือ ตะวันออก ตะวันออกเฉียงเหนือ และภาคกลางของประเทศไทย (ตารางที่ 6 และ ภาพที่ 7) เปรียบเทียบแบบแผนการเรียงตัวของแบบโพลีทีนโครโนซมกับแผนที่มาตรฐานที่ได้ตีพิมพ์แล้ว (Kuvangkadilok et al., 2003) *S. siamense* มีโครโนซมจำนวน 3 คู่ ($2n=6$) เช่นเดียวกับแมลงรืนดำชนิดอื่น โครโนซมแห่งที่ I, II และ III มีความยาวเรียงตามลำดับ โครโนซมแห่งที่ I เป็นแห่งที่ยาวที่สุดและแห่งที่สั้นที่สุดคือ แห่งที่ III โครโนซมแต่ละแห่งประกอบด้วยแขนสั้น (IS) และแขนยาว (IL) ซึ่งความยาวของแขนอาจเท่ากัน หรือไม่ขึ้นอยู่กับตำแหน่งเซนโทรเมียร์ นอกจากนี้ยังมีลักษณะจำเพาะบางอย่าง เช่น นิวคลีโอລาร์อร์แกไนเซอร์ (NO) ดับเบิลบลับเบิล (db) และ วงศวนบลับบอนิ (BR) ที่ช่วยในการแยกรืนดำชนิดนี้จากรืนดำชนิดอื่น การศึกษานี้พบพาราเซนทริกอินเวอร์ชัน

(paracentric inversions) จำนวน 23 อินเวอร์ชัน และ อินเวอร์ชันแบบขับข้อน (overlapping complex inversion) 1 อินเวอร์ชันในประชากรธรรมชาติของ *S. simense* รายละเอียดของโพลีทีนโครโน่โซมของ *S. simense* มีดังนี้

โครโน่โซมแท่งที่ I มีลักษณะเป็นแบบเมทาเซนทริกที่แขนสั้นและแขนยาวมีความยาวเกือบเท่ากัน ลักษณะสำคัญที่พบบนโครโน่โซมแท่งที่ I คือ นิวคลีโอລาร์อร์แกไนเซอร์ ตรงตำแหน่ง 20B บนโครโน่โซมแขนสั้น จากการศึกษาของ Kuvangkadilok et al. (2003) พบรากาเซนทริกอินเวอร์ชัน IS-1 และ IL-1 บนโครโน่โซมแขนสั้นและแขนยาวตามลำดับ ใน การศึกษานี้พบอินเวอร์ชันเพิ่มอีก 9 อินเวอร์ชัน ดังนั้นจำนวนอินเวอร์ชันที่พบทั้งหมดบนโครโน่โซมแท่งที่ I มีทั้งหมด 11 อินเวอร์ชัน ซึ่งอยู่บนโครโน่โซมแขนสั้น 9 อินเวอร์ชัน (ภาพที่ 8) และแขนยาว 2 อินเวอร์ชัน (ภาพที่ 9) อินเวอร์ชันบางชนิดมีบทบาทต่างกันใน cytoforms ต่างๆ ของ *S. simense* คืออินเวอร์ชัน IS-1 เป็นทั้ง fixed และ floating inversions ในขณะที่อินเวอร์ชัน IS-6 และ IS-7 เป็นทั้ง partially sex-linked และ floating inversions นอกจากนี้ overlapping inversion, IS-2,3 เป็น completely sex-linked.

โครโน่โซมแท่งที่ II ลักษณะรูปร่างเป็นแบบเมทาเซนทริก ลักษณะสำคัญที่พบบนโครโน่โซมแขนสั้น (IIS) คือมี double bubble (ตำแหน่ง 46AB) และอยู่ใกล้กับ Ring of Balbiani (ตำแหน่ง 47B) นอกจากนี้โครโน่โซมแขนสั้นยังมีแบบเดียวที่บอยู่เรียงกัน 3 แบบคือเลเซนโทรเมียร์ เรียกแบบเดียวเหล่านี้ว่า "trapezoidal" และมี parabalbiani ที่เป็นแบบเดียวลักษณะเฉพาะบนโครโน่โซมแขนยาว (IIL) (ตำแหน่ง 63) จากการศึกษาของ Kuvangkadilok et al. (2003) พบรากาเซนทริกอินเวอร์ชัน IIL-1 บนโครโน่โซมแขนยาว ใน การศึกษานี้พบพ rakaseen ทริกอินเวอร์ชันเพิ่มอีก 6 อินเวอร์ชัน รวมเป็น 7 อินเวอร์ชันบนโครโน่โซมแขนยาว (ภาพที่ 10) และ 1 อินเวอร์ชัน บนโครโน่โซมแขนสั้น (ภาพที่ 11)

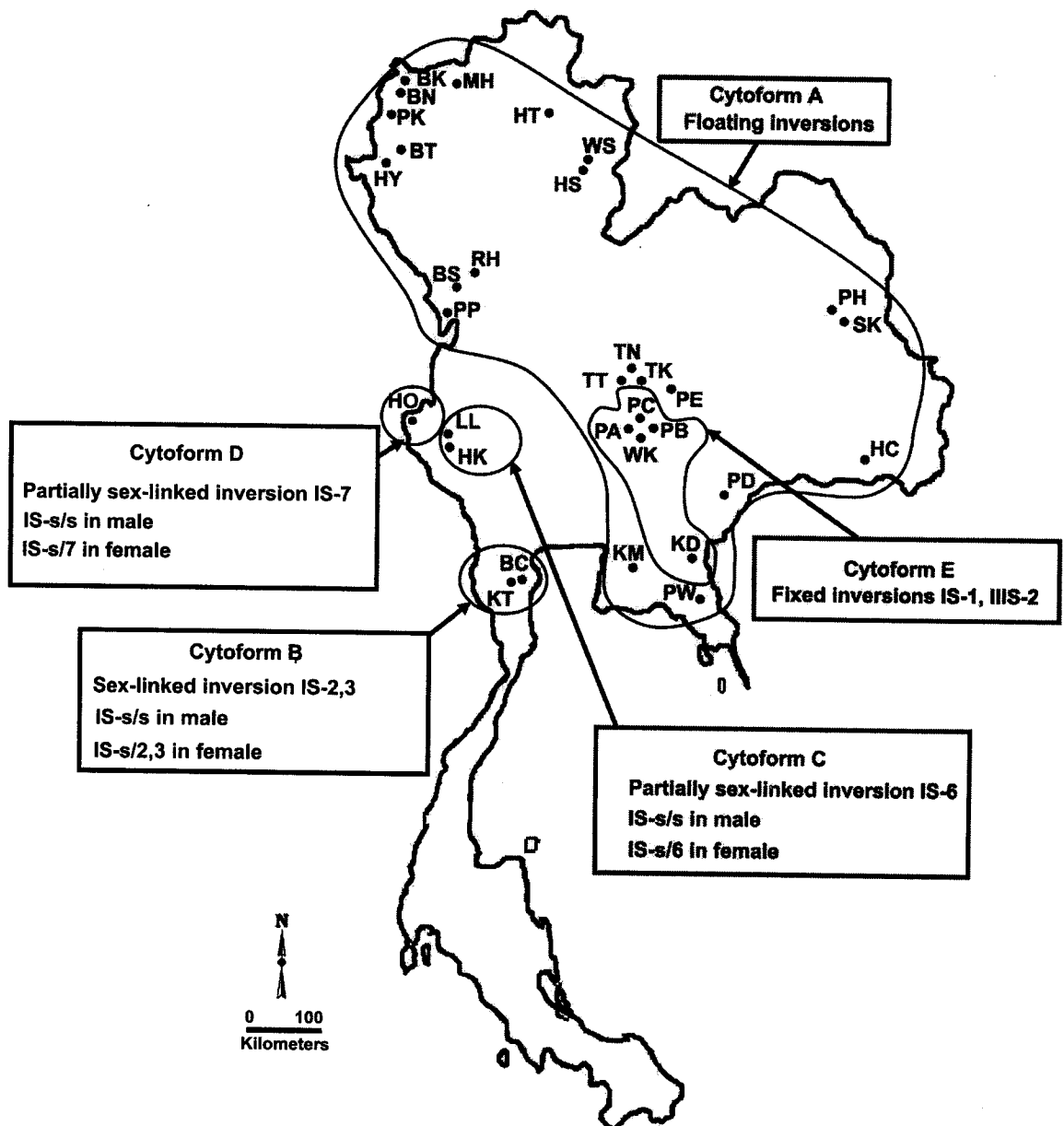
โครโน่โซมแท่งที่ III เป็นแท่งที่สั้นที่สุด ลักษณะแบบขับเมทาเซนทริก ลักษณะสำคัญที่พบบนโครโน่โซมนี้คือ มีแบบเดียว 2-3 แบบที่เรียกว่า "heavy" อยู่ใกล้กับ blister บนโครโน่โซมแขนช้าย อินเวอร์ชันที่เกิดบนโครโน่โซมแท่งนี้มีจำนวน 6 อินเวอร์ชัน ซึ่งอยู่บนโครโน่โซมแขนสั้น 2 อินเวอร์ชัน (ภาพที่ 12) และ 4 อินเวอร์ชัน บนโครโน่โซมแขนยาว (ภาพที่ 13) อินเวอร์ชัน III-S-2 เป็นทั้ง fixed และ floating inversions

ตารางที่ 6 แหล่งเก็บตัวอย่างและภาระจ่ายของ cytoforms A-E ของแมลงรินดาชนิด *Simulium siamense* ในภูมิภาคต่างๆ ของประเทศไทย

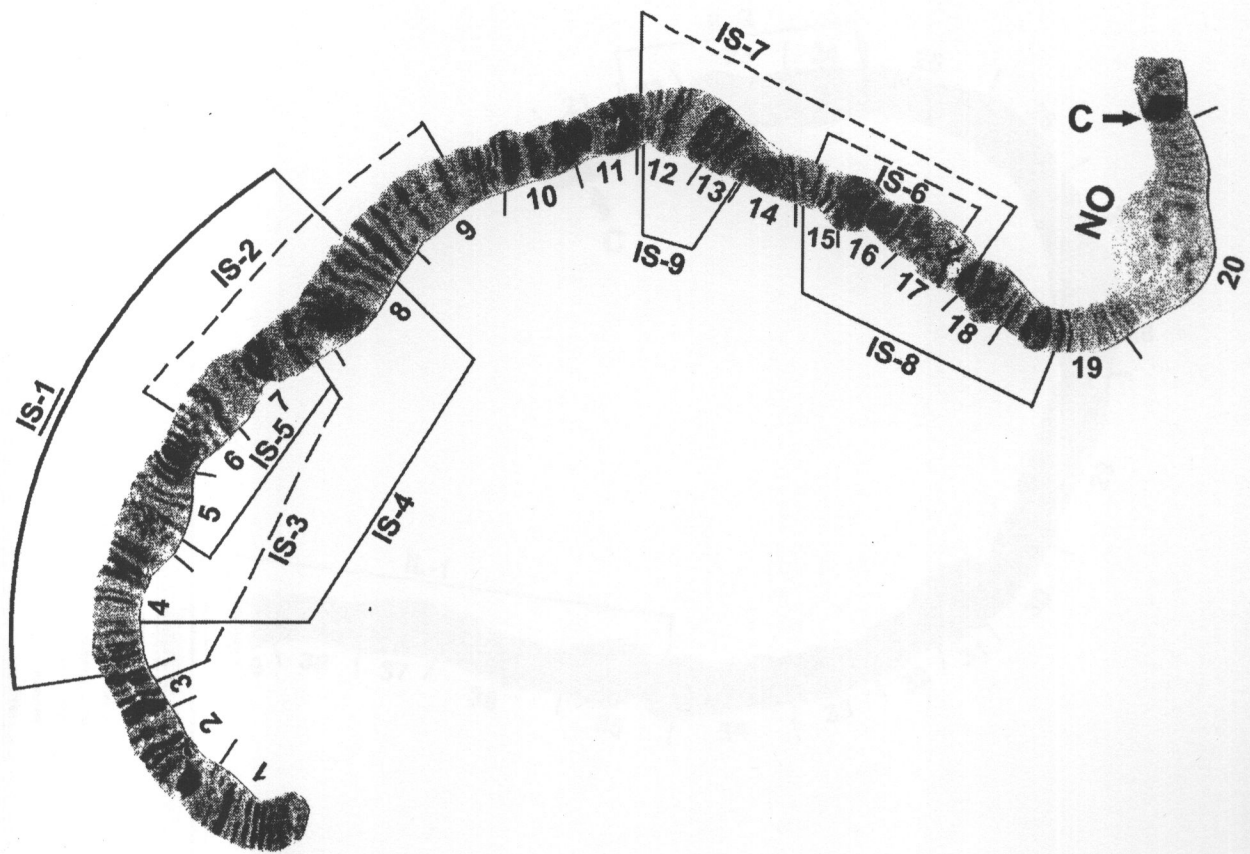
Collection site	Code	No. of larvae analyzed (♂:♀)	Latitude/Longitude (m)	Altitude (m)	Date (d/m/y)	Taxon
North						
Mae Hong Son Province						
Huai Yuak	HY	107 (57:50)	18° 33'N, 97° 55'E	388	04/06/03	form A
Ban Mae To	BT	37 (19:18)	18° 34'N, 97° 56'E	417	30/11/03	form A
Ban Mae Sa Nga	BN	46 (26:20)	19° 25'N, 97° 57'E	242	05/06/03	form A
Ban Nam Kad						
Collection 1	BK1	17 (10:7)	19° 29'N, 98° 03'E	500	02/12/03	form A
Collection 2	BK2	9 (6:3)	19° 29'N, 98° 03'E	500	13/12/04	form A
Mae Hee						
Collection 1	MH1	6 (4:2)	19° 17'N, 98° 29'E	525	02/12/03	form A
Collection 2	MH2	19 (8:11)	19° 17'N, 98° 29'E	525	16/04/04	form A
Phu Klone	PK	9 (5:4)	19° 27'N, 97° 58'E	247	15/04/04	form A
Phayao Province						
Huai Mae Tum	HT	57 (29:28)	18° 56'N, 100° 04'E	558	25/07/05	form A
Nan Province						
Huai Mae Sakorn	HS	38 (24:14)	18° 29'N, 100° 30'E	389	26/07/05	form A
Wiang Sa-Rong Kwang	WS	31 (10:21)	18° 29'N, 100° 30'E	389	26/07/05	form A
Tak Province						
Ban Lan Sang	BS	11 (4:7)	16° 46'N, 99° 01'E	250	21/12/03	form A
Phob Phra	PP	28 (13:15)	16° 23'N, 98° 42'E	400	22/07/05	form A
Sukhothai Province						
Ram Kam Haeng National Park	RH	4 (2:2)	16° 48'N, 98° 59'E	270	21/12/03	form A
Northeast Chaiyaphum Province						

Thep Thong Kam WF	TK	82 (45:37)	15° 40'N, 101° 33'E	300	07/02/02	form A
Thep Pra Than WF	TT	26 (13:13)	15° 36'N, 101° 28'E	350	07/02/02	form A
Thep Pha Na WF	TN	26 (10:16)	16° 12'N, 101° 20'E	300	23/11/03	form A
Pha Eiang WF	PE	21 (8:13)	15° 57'N, 101° 55'E	300	17/11/98	form A
Sri Sa Ket Province						
Huai Chan	HC	118 (65:53)	14° 31'N, 104° 22'E	206	06/09/03	form A
Sakon Nakhon Province						
Km 26-27 Road No.2330	SK	24 (14: 10)	16° 55'N, 104° 06'E	204	10/06/05	form A
Phu Pan National Park	PH	114 (56:58)	17° 04'N, 103° 58'E	210	11/06/05	form A
Nakhon Ratchasima Province						
Khao Yai National Park	PA	8 (5:3)	14° 25'33"N, 101° 24'40"E	600	20/11/04	forms A, E
Pha Khuai Mai A						
Pha Kluai Mai B	PB	17 (11:6)	14° 25'38"N, 101° 24'44"E	600	20/11/04	Forms A, E
Pha Kluai Mai C	PC	23 (8:15)	13° 59'N, 99°50'E	300	25/07/04	forms A, E
Central Petchaburi Province						
Keang Kra Chan National Park						
Ban Krang Camp	BC1	379 (83:296)	12° 47'N, 99° 27'E	318	16/08/03	form B
Collection 1	BC2	78 (32:46)	12° 47'N, 99° 27'E	318	27/11/05	form B
Collection 2						
Khao Pha Nern Tung						
Collection 1	KT1	84 (39:45)	12° 48'N, 99° 26'E	347	16/08/03	form B
Collection 2	KT2	7 (1:6)	12° 48'N, 99° 26'E	347	27/11/03	form B
Kanchanaburi Province						
Lam Pi Lok	LL	60 (29:31)	14° 38'15"N, 98°	200	20/02/05	form C

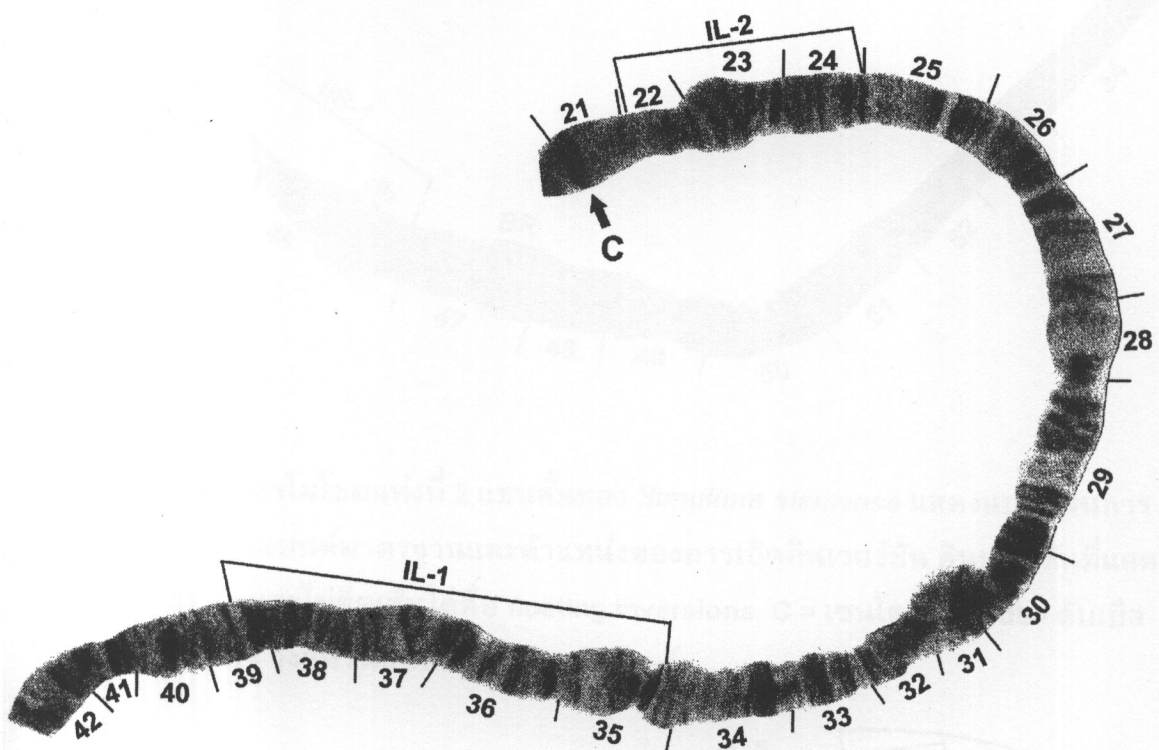
			34°16"E			
Ban Huai Khayeng	HK	15 (5:10)	14° 38'05"N, 98° 33'59"E	200	20/02/05	form C
Huai Ong Thi	HO	57 (17:40)	14° 42"N, 98° 40"E	109	28/02/04	form D
Sra Keaw Province						
Pang Si Da WF						
Collection 1	PD1	15 (10:5)	13° 59N, 102° 12'E	250	24/07/04	form A
Collection 2	PD2	10 (4:6)	13° 59N, 102° 12'E	250	21/11/04	form A
Nakhon Nayok Province						
Wang Ta Krai WF	WK	6 (4:2)	12° 19N, 101° 18'E	240	26/07/04	forms A, E
East Rayong Province						
Khao Cha-Mao WF	KM	20 (10:10)	12° 54N, 101° 43'E	200	05/06/04	form A
Chanthaburi Province						
Khao Soi Dao	KD1	40 (20:20)	13° 06N, 102° 11'E	320	20/06/03	forms A, E
Collection 1	KD2	65 (32:33)	13° 06N, 102° 11'E	320	06/06/04	form A
Ban Pat Tha Wee	PW1	74 (33:41)	12° 48N, 102° 15'E	60	20/06/03	form A
Collection 1	PW2	36 (23:13)	12° 48N, 102° 15'E	60	06/06/04	form A



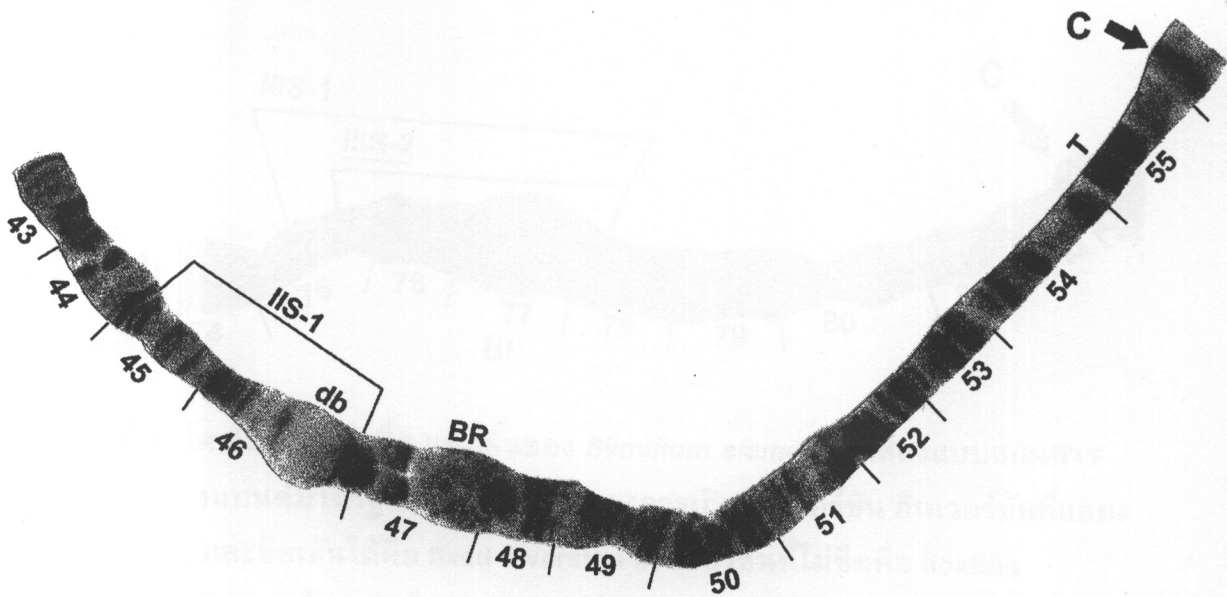
ภาพที่ 7 แสดงแหล่งที่เก็บและการกระจายของ 5 cytoforms ของแมลงรืนดำชนิด *Simulium siamense*



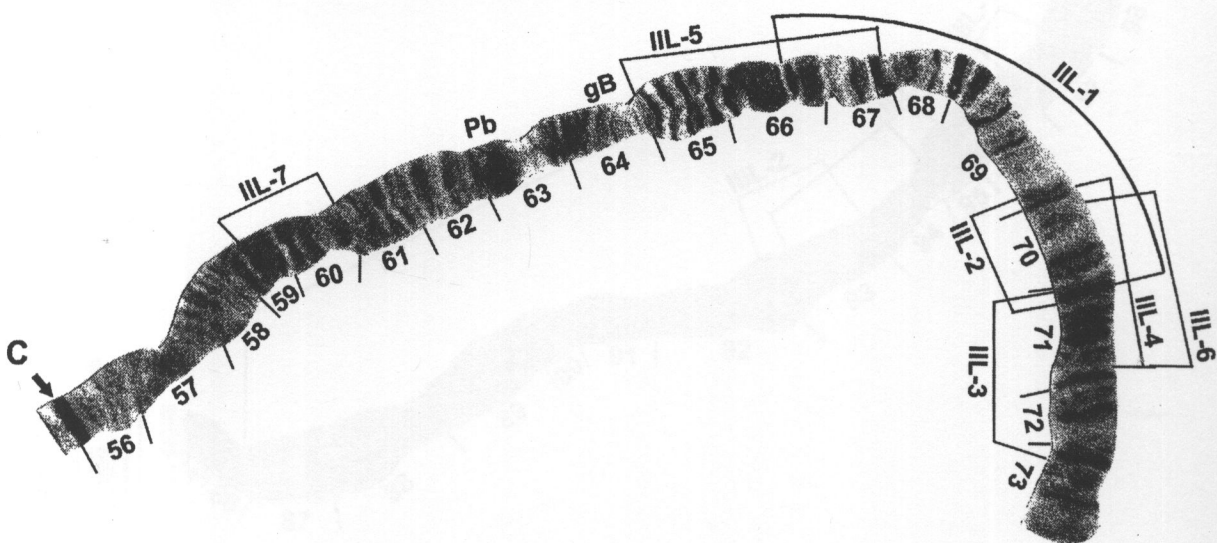
ภาพที่ 8 โครโมโซมแท่งที่ 1 แขนสั้นของ *Simulium siamense* แสดงแบบแผนการเรียงตัวของแบนเดิมมาตรฐานและตำแหน่งของการเกิดอินเวอร์ชัน อินเวอร์ชันที่แสดงโดยเส้นทึบ และขีดเส้นใต้คือ fixed inversion และที่ไม่ขีดคือ floating inversions เส้นประแสดง sex-linked inversions. C = เชzn โตรเมียร์ NO= นิวคลีโอ Larvellar ออร์แกไนเซอร์



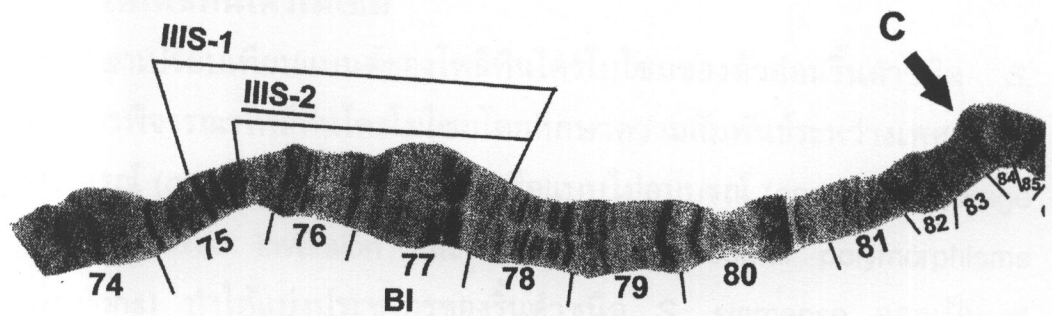
ภาพที่ 9 โครโมโซมแท่งที่ 1 แขนยาวของ *Simulium siamense* แสดงแบบแผนการเรียงตัวของแบนเด็มมาตรฐานและตำแหน่งของการเกิดอินเวอร์ชัน อินเวอร์ชันที่แสดงโดยเส้นทึบ และไม่ขีดเส้นใต้คือ floating inversions. C = เซนโตรเมียร์



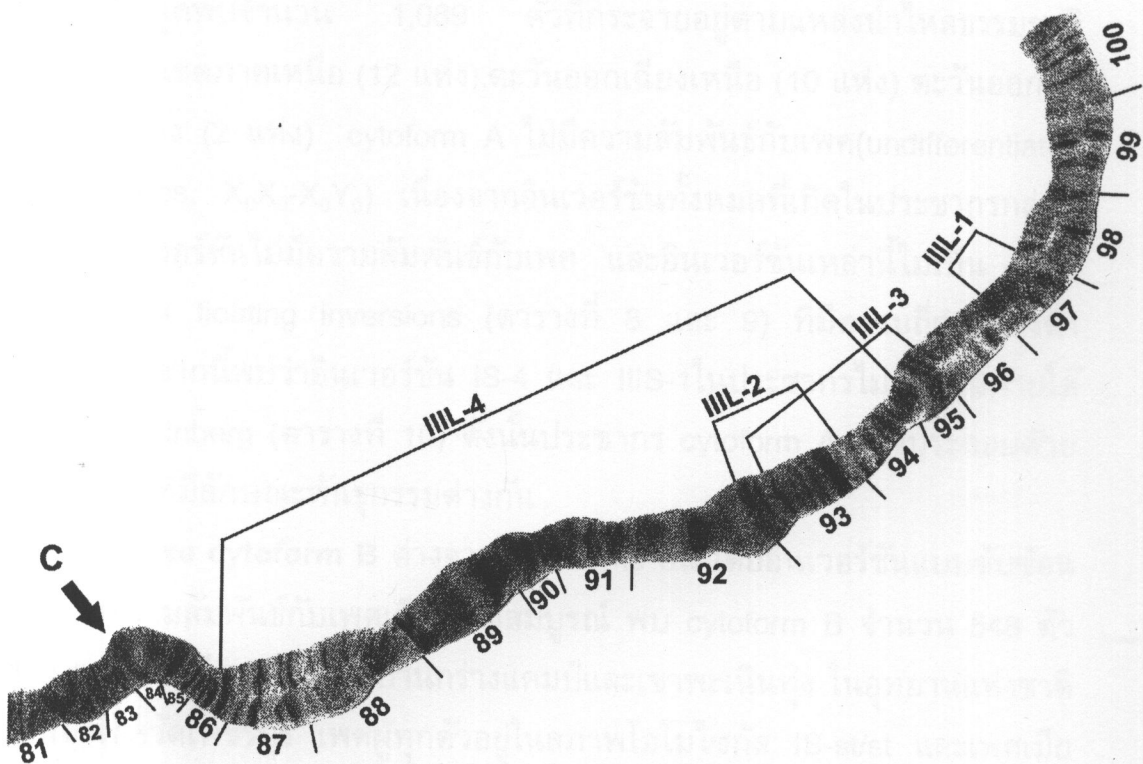
ภาพที่ 10 โครโมโซมแท่งที่ 2 แขนสั้นของ *Simulium siamense* แสดงแบบแผนการเรียงตัวของแบนเด็มารฐานและตำแหน่งของการเกิดอินเวอร์ชัน อินเวอร์ชันที่แสดงโดยเส้นทึบและไม่ขีดเส้นใต้คือ floating inversions. C = เซนโทรเมียร์ db= ดับเบิลบันเบิล BR= วงแหวนบัลบิอนิ T= ตราปีชอยด์



ภาพที่ 11 โครโมโซมแท่งที่ 2 แขนยาวของ *Simulium siamense* แสดงแบบแผนการเรียงตัวของแบนเด็มารฐานและตำแหน่งของการเกิดอินเวอร์ชัน อินเวอร์ชันที่แสดงโดยเส้นทึบและไม่ขีดเส้นใต้คือ floating inversions. C = เซนโทรเมียร์ Pb= พาราบัลบิอนิ gB= เกรย์แบนเด็ม



ภาพที่ 12 โครโมโซมแท่งที่ 3 แขนสั้นของ *Simulium siamense* แสดงแบบแผนการเรียงตัวของแบนเดิมมาตรฐานและตำแหน่งของการเกิดอินเวอร์ชัน อินเวอร์ชันที่แสดงโดยเส้นทึบและขีดเส้นใต้คือ fixed inversion อินเวอร์ชันที่ไม่ขีดคือ floating inversion. C = เชzn โทรเมียร์ BI = บลลิสเตอร์



ภาพที่ 13 โครโมโซมแท่งที่ 3 แขนยาวของ *Simulium siamense* แสดงแบบแผนการเรียงตัวของแบนเดิมมาตรฐานและตำแหน่งของการเกิดอินเวอร์ชัน อินเวอร์ชันที่แสดงโดยเส้นทึบและไม่ขีดเส้นใต้คือ floating inversions. C = เชzn โทรเมียร์

2. การแยกชนิดประชากรแมลงรินด์ดำชนิด *Simulium siamense* โดยการศึกษาเปรียบเทียบแบบโนโลจีกับโครโนซوم

ทำการศึกษาเปรียบเทียบแบบโนโลจีกับโครโนซومของตัวอ่อนรินด์ดำชนิด *S. siamense* จากการพิจารณาโนโลจีกับโครโนซومโดยศึกษาความสัมพันธ์ระหว่างเพศกับอินเวอร์ชันแบบสมบูรณ์ (complete sex-linkage) หรือแบบไม่สมบูรณ์ (partial sex-linkage inversion) การเกิด fixed inversion และรูปแบบของ autosomal polymorphisms (floating inversions) ทำให้แบ่งประชากรของรินด์ดำชนิด *S. siamense* ออกเป็น 5 cytoforms ดังนี้ *S. siamense* cytoform A, cytoform B, cytoform C, cytoform D และ cytoform E ที่กระจายอยู่ในภูมิภาคต่างๆ ของประเทศไทย (ภาพที่ 7) ภาพที่ 14 แสดง Idiograms ของโครโนซومพร้อมทั้งการเกิดอินเวอร์ชันของ cytoforms A-E รายละเอียดของแต่ละ cytoform มีดังต่อไปนี้

***S. siamense* cytoform A** ประชากรกลุ่มนี้เป็นประชากรกลุ่มใหญ่ที่มีความหลากหลายมากที่สุดพบจำนวน 1,089 ตัวที่กระจายอยู่ตามแหล่งน้ำให้ธรรมชาติจำนวน 27 แห่งในเขตภาคเหนือ (12 แห่ง), ตะวันออกเฉียงเหนือ (10 แห่ง) ตะวันออก (3 แห่ง) และภาคกลาง (2 แห่ง) cytoform A ไม่มีความสัมพันธ์กับเพศ (undifferentiated sex chromosomes, $X_0X_0-X_0Y_0$) เนื่องจากอินเวอร์ชันทั้งหมดที่เกิดในประชากรกลุ่มนี้จำนวน 23 อินเวอร์ชันไม่มีความสัมพันธ์กับเพศ และอินเวอร์ชันเหล่านี้ไม่เป็น fixed inversions แต่เป็น floating inversions (ตารางที่ 8 และ 9) ที่มีความถี่ค่อนข้างต่ำ (ตารางที่ 7) นอกจากนี้พบว่าอินเวอร์ชัน IS-4 และ III-1 ในประชากรไม่สมดุลย์ภายใต้กฎของ Hardy-Weinberg (ตารางที่ 10) ดังนั้นประชากร cytoform A อาจประกอบด้วยประชากรกลุ่มย่อยที่มีลักษณะพันธุกรรมต่างกัน

***S. siamense* cytoform B** ต่างจาก cytoforms อื่น โดยอินเวอร์ชันแบบขับข้อนชนิด IS-2,3 มีความสัมพันธ์กับเพศเมียอย่างสมบูรณ์ พบ cytoform B จำนวน 548 ตัว (เพศผู้ 155 และเพศเมีย 393) จากบ้านกร่างแคมป์และเข้าพะเนินทุ่ง ในอุทยานแห่งชาติแก่งกระจาน จังหวัดเพชรบุรี เพศผู้ทุกตัวอยู่ในสภาพโโซ莫ไซกัส IS-st/st และเพศเมียทั้งหมดอยู่ในสภาพເເທວໂໃຊກສ IS-st/2,3 (ตารางที่ 8) แสดงว่าอินเวอร์ชัน IS-2,3 มีความสัมพันธ์กับโครโนซوم Y_1 (อยู่บนโครโนซوم Y_1) ของเพศเมีย ดังนั้นกลไกการตัดสินเพศของ cytoform B เป็น heterogametic female คือ X_0X_0 (ในเพศผู้) และ X_0Y_1 (ในเพศเมีย) ซึ่งต่างจากรินด์ดำชนิดอื่นที่กลไกการตัดสินเพศเป็นแบบ heterogametic male นอกจากนี้ไม่พบ floating inversions ใน cytoform B

S. siamense cytoform C ประชากรกลุ่มนี้มีจำนวน 75 ตัวเก็บมาจากร่องน้ำห้วยเขย่งและพุทธสถานห้วยเขย่ง จังหวัดกาญจนบุรี ประชากร cytoform C มีอินเวอร์ชัน IS-6 สัมพันธ์กับโครโขม Y_2 (อยู่บนโครโขม Y_2) ของเพศเมียแบบไม่สมบูรณ์ โดยประชากรเพศเมียส่วนใหญ่อยู่ในสภาพເຂເທໂຣໃຫ້ກໍສອນເວຼຣ້ຈັນ IS-st/6 แต่มีเพศเมียบางตัวอยู่ในสภาพໂໂມໃຫ້ກໍສອນເວຼຣ້ຈັນ IS-st/st ซึ่งเป็นลักษณะเดียวกับเพศผู้ทั้งหมด ดังนั้นกลไกการตัดสินเพศของ cytoform C เป็น คือ X_0X_0 (ในเพศผู้) และ X_0Y_2 (ในเพศเมีย) นอกจากนี้ยังพบอินເວຼຣ້ຈັນ IIIIS-2 ในประชากรค่อนข้างสูง (ตารางที่ 8) แสดงให้เห็นว่าอินເວຼຣ້ຈັນ IIIIS-2 เป็นอินເວຼຣ້ຈັນที่เด่นในประชากร cytoform C

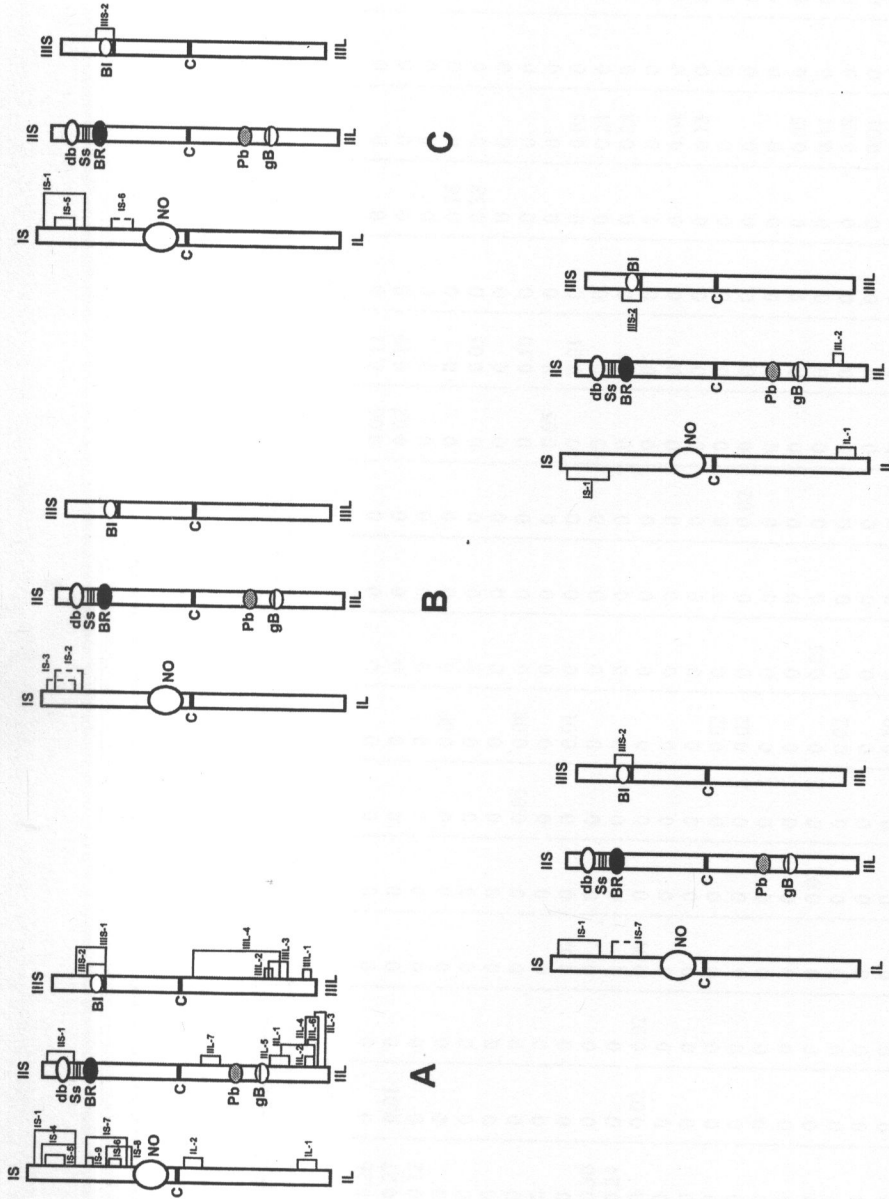
ในการศึกษารืนด้วยจำนวน 60 ตัว (เพศผู้ 29 ตัว และเพศเมีย 31 ตัว) จากร่องน้ำห้วยเขย่งพบເຂເທໂຣໃຫ້ກໍສອນເວຼຣ້ຈັນ IS-st/6 ในเพศเมียจำนวน 29 ตัว (93.5%) และพบໂໂມໃຫ້ກໍສອນເວຼຣ້ຈັນ IS-st/st ในตัวผู้ทุกตัว (100%) และในตัวเมีย 2 ตัว (6.5%) (ตารางที่ 8) ดังนั้นอินເວຼຣ້ຈັນ IS-6 ประชากรกลุ่มนี้สัมพันธ์กับโครโขม Y_2 (อยู่บนโครโขม Y_2) ของเพศเมียแบบไม่สมบูรณ์ จากการทดสอบความสัมพันธ์ของอินເວຼຣ້ຈັນ IS-6 กับเพศโดยวิธี G-test พบว่าอินເວຼຣ້ຈັນ IS-6 ที่เกิดในประชากรร่องน้ำห้วยเขย่งมีความสัมพันธ์กับเพศอย่างมีนัยสำคัญ ($P < 0.001$) ประชากรกลุ่มนี้ยังมี fixed inversion IIIIS-2 ที่อยู่ในรูปแบบໂໂມໃຫ້ກໍສ IIIIS-2/2 จำนวน 58 ตัว (96.7%) (เป็นเพศผู้ 28 ตัว และเพศเมีย 30 ตัว) จากจำนวนทั้งหมด 60 ตัว และพบตัวอ่อน 2 ตัวที่อยู่ในสภาพເຂເທໂຣໃຫ້ກໍສ IIIIS-st/2 (3.3%) ค่าความถี่อินເວຼຣ້ຈັນ IIIIS-2 ในประชากรกลุ่มนี้มีค่าเท่ากับ 0.98 นอกจากนี้ยังพบ floating inversions ที่อยู่ในรูปแบบคือ อินເວຼຣ້ຈັນ IS-1 และอินເວຼຣ້ຈັນ IS-5 ที่มีค่าความถี่เท่ากับ 0.02 และ 0.03 ตามลำดับ

สำหรับพุทธสถานห้วยเขย่งศึกษาจำนวน 15 ตัว (เพศผู้ 5 ตัว และเพศเมีย 10 ตัว) พบร่องน้ำ IS-6 ที่อยู่ในรูปแบบ IS-st/st ในเพศผู้ทั้งหมด และเพศเมียทุกตัวมีอินເວຼຣ້ຈັນแบบ IS-st/6 (ตารางที่ 8) นอกจากนี้ตัวอ่อนทุกตัวมี fixed inversion IIIIS-2 (IIIIS-2/2) ค่าความถี่อินເວຼຣ້ຈັນ IIIIS-2 ในประชากรนี้มีค่าเท่ากับ 1 และไม่พบ floating inversion บนโครโนໂໂມ

S. siamense cytoform D พบร่องน้ำ IS-7 ที่ห้วยองธิ จังหวัดกาญจนบุรี cytoform D มีอินເວຼຣ້ຈັນ IS-7 สัมพันธ์กับเพศเมียแต่ไม่สมบูรณ์ และมีอินເວຼຣ້ຈັນ IIIIS-2 เด่นในประชากร จำนวน 57 ตัว (เพศผู้ 17 ตัว และเพศเมีย 40 ตัว) พบร่องน้ำ IS-st/7 ในเพศเมีย 32 ตัว (80.0%) และเพศผู้ 1 ตัว (5.9%) และพบร่องน้ำ IS-st/st ในเพศผู้ 16 ตัว (94.1%) และเพศเมีย 5 ตัว (12.5%) จากการทดสอบความสัมพันธ์ของอินເວຼຣ້ຈັນกับเพศโดยใช้วิธี G-test พบว่า

อินเวอร์ชัน IS-7 ที่เกิดในประชากรหัวยองซึมีความสัมพันธ์กับรินเดเพคเมียอย่างมีนัยสำคัญ ($G=0.001$) ซึ่งแสดงว่าอินเวอร์ชัน IS-7 มีความสัมพันธ์กับโครโนม Y_3 (อยู่บนโครโนม Y_3) ของเพศเมีย ดังนั้นกลไกการตัดสินเพศของ cytoform C เป็น X_0X_0 (ในเพศผู้) และ X_0Y_3 (ในเพศเมีย) นอกจากนี้ตัวอ่อนจำนวน 54 ตัว (เพศผู้ 15 ตัว และเพศเมีย 39 ตัว) (94.7%) มีอินเวอร์ชันแบบ IIIIS-2/2 ซึ่งมีค่าความถี่ของอินเวอร์ชัน IIIIS-2 ในประชากรเท่ากับ 0.96 และยังพบ floating inversion IS-1 ในสภាព heterozygous inversions (IS-st/1) ในรินเด จำนวน 3 ตัว ค่าความถี่อินเวอร์ชัน IS-1 ที่พบในประชากรนี้มีค่าเท่ากับ 0.03

S. siamense cytoform E ประชากรกลุ่มนี้มี fixed inversions IS-1 และ IIIIS-2 ซึ่งอยู่ในรูปของโอลิ莫ไซกัสอินเวอร์ชัน (ตารางที่ 8) และไม่พบอินเวอร์ชันใดสัมพันธ์กับ เพศ ดังนั้น cytoform E ไม่มีความสัมพันธ์กับเพศ(undifferentiated sex chromosomes, $X_0X_0-X_0Y_0$) พบประชากร cytoform E จำนวน 55 ตัวในแหล่งน้ำให้ธรรมชาติจำนวน 5 แห่งในภาคตะวันออก (น้ำตกเข้าสอยดาว 1) ภาคตะวันออกเฉียงเหนือ (น้ำตกผากลั้วย ไม้ 1, 2 และ 3) และภาคกลาง (น้ำตกวังตะไคร้) ประชากร cytoform E เหล่านี้อาศัยร่วมกับ cytoform A นอกจากนี้ยังพบ floating inversion 2 แบบในประชากร cytoform E คือ IL-1 และ IIL-2



ภาพที่ 14 Idiograms ของ 5 cytotypes ของ *Simulium siamense*: A, cytoform A, B, cytoform B, C, cytoform C, D, cytoform D, E, cytoform E. Fixed inversions แสดงโดยเส้นทึบดำน้ำช้ำมืดและ ขีดเส้นใต้ Floating inversions แสดงโดยเส้นทึบดำน้ำช้ำมืดและไม่ขีดเส้น Sex-linked inversions แสดงโดยเส้นประ C= เซนโนไดเมียร์, NO= หัวคิลล์օລາຮອງຮອງຮານໃຫຍ່, db= ตับປີລັບປົປິລ, Ss= ຊູສຕົງ, BR= ວະຫວານມັນໂທ້, Pb= ພາຣັບນົມື້ນີ, gB= ເກຣຍ່ແນບໜົດ, Bi= ບລິສເຕອර

ตารางที่ 7 แสดงความถี่ของ floating inversions (ที่มีส่วน sex-linked inversions IS-2,3, IS-6 และ IS-7) ใน cytoforms A,C,D และ E ของ *Simulium siamense*

HK		5:10	0	0	0	0	0	0	0	0	0	0	0	0	0	0	0	0	0
Cytoform D																			
HO		17:40	0.03	0	0	0	0	0	0	0	0	0	0	0	0	0	0	0	0
Cytoform E																			
PA		3:0	1.00	0	0	0	0	0	0	0	0	0	0	0	0	0	0	0.96	0
PB		9:4	1.00	0	0	0	0	0	0	0	0	0	0	0	0	0	0	0	0
PC		3:1	1.00	0	0	0	0	0	0	0	0	0	0	0	0	0	0	0	0
WK		3:1	1.00	0	0	0	0	0	0	0	0	0	0	0	0	0	0	0	0
KDI (20 Jun 2003)		16:15	1.00	0	0	0	0	0	0	0	0.02	0	0	0	0	0	0	0	0

¹ Date are given only when collections were made at a site on 2 separate occasions.

ตารางที่ 8 แสดงอัตราการรับบนโคโรโนซิมเมติกส์ชั้นทั้งที่ 1 และแท่งที่ 3 ของตัวอ่อนเพศผู้และเพศเมียของ cytoforms A-E ของ *Simulium siamense*

Collection site	Date (d/m/y)	sex	IS-s/s	IS-1/1	IS-s/2,3	IS-s/4	IS-4/4	IS-s/5	IS-s/6	IS-s/7	IS-s/8	IS-s/9	IS-s/10	IS-s/11	IS-s/12	IS-s/13	Cytoforms
HY	04/06/03	♂57 ♀50	27 24	0 0	0 0	30 26	0 0	0 0	0 0	0 0	0 0	0 0	57 49	0 1	0 0	0 0	A
BT	30/11/03	♂19 ♀18	5 10	0 0	0 0	13 8	0 0	1 0	0 0	0 0	0 0	0 0	18 18	1 0	0 0	0 0	A
BN	05/06/03	♂26 ♀20	22 14	0 0	0 0	4 6	0 0	0 0	0 0	0 0	0 0	0 0	26 20	0 0	0 0	0 0	A
BK1	02/12/03	♂10 ♀7	0 1	9 6	0 0	0 0	0 0	0 0	0 0	0 0	0 0	0 0	2 2	1 1	7 7	0 0	A
BK2	13/12/04	♂6 ♀3	0 1	2 0	4 2	0 0	0 0	0 0	0 0	0 0	0 0	0 0	4 0	0 0	2 3	0 0	A
MH1	02/12/03	♂4 ♀2	0 0	2 1	2 0	0 0	0 0	0 0	0 0	0 0	0 0	0 0	4 0	0 0	0 2	0 0	A
MH2	16/04/04	♂8 ♀11	1 0	3 5	3 0	0 0	0 0	0 0	0 0	0 0	0 0	0 0	2 1	0 1	0 6	2 0	A
PK	15/04/04	♂5 ♀4	3 2	1 1	1 1	0 0	0 0	0 0	0 0	0 0	0 0	0 0	1 0	9 2	0 0	0 0	A
HT	25/07/05	♂29 ♀28	28 25	0 3	1 0	0 0	0 0	0 0	0 0	0 0	0 0	0 0	17 16	9 6	3 6	0 0	A
HS	26/07/05	♂24 ♀14	10 6	0 0	0 0	14 7	0 1	0 0	0 0	0 0	0 0	0 0	21 14	3 0	0 0	0 0	A
WS	26/07/05	♂10 ♀21	7 9	0 0	0 12	3 0	0 0	0 0	0 0	0 0	0 0	0 0	10 18	0 1	0 2	0 0	A
PP	22/07/05	♂13 ♀15	0 6	0 2	0 0	0 0	0 0	0 1	0 1	0 1	0 0	0 0	5 3	0 1	8 11	0 0	A
BS	21/12/03	♂4	0	3	1	0	0	0	0	0	0	0	3	0	1	0	A

Note* inversions IS-s/1 and IS-s/5 were linked with IS-st/6 in each 3 larvae.

ตารางที่ 9 ลักษณะจำเพาะของโครโมโซมใน cytoforms A, B, C, D และ E ของ *Simulium siamense*

Cytoform	Chromosomal characteristics ¹
A	23 floating inversions; X&Y undifferentiated
B	$X_0 Y_1$; no floating inversions
C	$X_0 Y_2$; 3 floating inversions
D	$X_0 Y_3$; 2 floating inversions
E	<i>IS-1&//S-2</i> ; X&Y undifferentiated; 2 floating inversions

¹ X_0 = IS-s in males

Y_1 = IS-2, 3 in females

Y_2 = IS-6 in females

Y_3 = IS-7 in females

Italics indicate fixation of inversions.

ตารางที่ 10 การทดสอบสภาวะสมดุลภายในได้ก្នុងของอาร์ดี-ไวน์เบิร์ก ของอินเวอร์ชัน IS-4, IS-7, IIL-2, IIL-3, IIL-4, IIL-5, IIL-6, IIIS-1, IIIS-2, IIIL-1 และ IIIL-4 ใน cytoform A ของ *Simulium siamense*.

Autosomal inversion	Collection site Date	Observed Expected	Inversion frequency			χ^2	P
			ss	si	ii		
IS-4	HY	Obs. Exp.	51 58.59	56 41.47	0 4.23	11.97**	<0.001
IS-4	BT	Obs. Exp.	16 19.18	21 14.91	0 2.90	5.94	>0.05
IS-4	HS	Obs. Exp.	16 18.09	21 16.25	1 3.65	3.55	>0.10
IS-4	WS	Obs. Exp.	16 17.81	15 11.37	0 1.81	3.15	>0.10
IS-7	PP	Obs. Exp.	23 23.18	5 4.58	0 0.23	0.27	>0.75
IIL-2	HY	Obs. Exp.	101 100.68	6 6.23	0 0.09	0.09	>0.95
IIL-3	HY	Obs. Exp.	95 95.35	12 13.31	0 0.34	0.38	>0.75
IIL-3	BT	Obs. Exp.	30 30.37	7 6.30	0 0.33	0.41	>0.75
IIL-4	PW 1 20 June 2003	Obs. Exp.	65 65.39	9 8.35	0 0.27	0.32	>0.75
IIL-5	PW 1 20 June 2003	Obs. Exp.	67 66.78	7 7.03	0 0.18	0.18	>0.90
IIL-6	HT	Obs. Exp.	51 50.36	6 6.43	0 0.20	3.23	>0.10
IIL-6	HS	Obs. Exp.	22 23.65	16 12.65	0 1.69	2.69	>0.25
IIL-6	WS	Obs. Exp.	26 26.18	5 4.61	0 0.20	0.23	>0.75
IIL-6	HC	Obs. Exp.	91 91.38	27 24.92	0 1.7	1.87	>0.25
IIIS-1	PP	Obs. Exp.	8 2.52	1 11.76	19 13.72	23.78**	<0.001
IIIS-1	HT	Obs. Exp.	33 28.73	15 23.47	9 4.79	7.39**	<0.01
IIIS-1	HC	Obs. Exp.	100 85.26	1 30.09	17 2.66	107.97**	<0.001
IIIS-1	PH	Obs. Exp.	93 85.89	12 26.12	9 1.99	32.91**	<0.001
IIIS-2	KD2 6 June 2004	Obs. Exp.	60 55.01	0 4.87	5 5.2	5.23	>0.05
IIIIL-1	HY	Obs. Exp.	86 86.67	21 19.26	0 1.07	1.23	>0.50
IIIIL-1	HT	Obs. Exp.	52 52.09	5 4.79	0 0.11	0.11	>0.90
IIIIL-1	HS	Obs. Exp.	25 26.05	13 10.82	0 1.12	1.60	>0.25
IIIIL-4	HS	Obs. Exp.	33 33.15	5 4.68	0 0.16	0.18	>0.90

Note** the computed value of χ^2 is equal or to greater than the critical value of chi-square ($\chi^2_{0.05,2}=5.99$)

5. วิจารณ์และสรุปผล

การศึกษาการแพร่กระจายและชนิดของแมลงรินดำในภูมิภาคต่างๆของประเทศไทยได้พบรินดำที่ได้ตั้งชื่อวิทยาศาสตร์แล้วทั้งหมดจำนวน 41 ชนิด ในจำนวนนี้เป็นรินดำที่เพิ่งรายงานการพบในประเทศไทยเป็นครั้งแรก 1 ชนิด ได้แก่ *S. tahanense*, รินดำเหล่านี้มีการแพร่กระจายต่างกัน บางชนิดมีการแพร่กระจายจำกัดเฉพาะจังหวัดใดจังหวัดหนึ่ง หรือภาคใดภาคหนึ่งเท่านั้น เช่น *S. merga*, *S. setsukoae*, *S. caudisclerum* และ *S. fruticosum* พบรินดำที่จังหวัดเชียงใหม่ *S. chaliowae* พบรินดำที่จังหวัดแพร่ และ *S. phayaoense*, *S. phukaengense* และ *S. lampangense* พบรินดำที่น้ำตกจำปาทอง อำเภอเมือง จังหวัดพะ夷า ส่วน *S. mediocoloratum*, *S. nigrogilvum*, *S. siripoomemense* *S. chiangmaiense* และ *S. yuphae* พบรินดำในจังหวัดภาคเหนือ แต่ *S. oblongum* พบรินดำในภาคตะวันออกเฉียงเหนือในทางตรงข้ามมีรินดำหลายชนิดที่มีการแพร่กระจายอย่างกว้างขวางทุกภูมิภาคของประเทศไทย เช่น *S. aureohirtum*, *S. angulistylum*, *S. decuplum*, *S. asakoae*, *S. siamense*, *S. tani* และ *S. nakhonense* ผลเหล่านี้แสดงให้เห็นว่าแต่ละภูมิภาคมีความแตกต่างของชนิดของรินดำ นอกจากนี้รินดำบางชนิดมีความสัมพันธ์กับแหล่งที่อยู่อาศัยอย่างบางชนิด เช่น *S. siamense* ชอบอาศัยในลำธารที่น้ำไหลซึ่งตรงข้ามกับ *S. nakhonense*, *S. quinquestriatum*, *S. tani* และ *S. asakoae* ที่ชอบอาศัยในน้ำที่ไหลเร็ว จากการวิเคราะห์ข้อมูลพบว่าปัจจัยทางกายภาพของแหล่งน้ำมีผลต่อการกระจายทางภูมิศาสตร์ของแมลงรินดำในประเทศไทย โดยปัจจัยที่มีความสำคัญมากที่สุดคืออัตราการไหลของน้ำและขนาดของลำธาร นอกจากนี้ยังพบว่าปัจจัยทางกายภาพของแหล่งน้ำในภาคเหนือ ภาคกลาง และภาคตะวันออกเฉียงเหนือมีความแตกต่างกันซึ่งอาจเป็นผลอธิบายความแตกต่างของชนิดที่พบในแต่ละภูมิภาค โดยเฉพาะชนิดที่พบในภาคตะวันออกเฉียงเหนือที่มีความแตกต่างจากภูมิภาคอื่น

ในการศึกษาโพลีทีนโครโนไซมของตัวอ่อนรินดำชนิด *S. siamense* จำนวน 1,824 ตัว ที่เก็บจากแหล่งน้ำไหลธรรมชาติ 32 แห่งในภาคเหนือ ตะวันออกเฉียงเหนือ ตะวันออก และ ภาคกลาง จากการพิจารณาความแตกต่างของลักษณะโพลีทีนโครโนไซม 3 ประการ คือ ความแตกต่างของโครงสร้าง เพศ การมี fixed inversions และ การมีชนิดและความถี่ของ floating inversions ต่างกัน สามารถแบ่งประชากรรินดำชนิด *S. siamense* ออกเป็น 5 cytoforms คือ cytoforms A, B, C, D และ E โดย cytoform B เป็น cytoform ที่เด่นที่สุดเนื่องจากอินเวอร์ชัน IS-2,3 มีสัมพันธ์กับเพศอย่างสมบูรณ์

และไม่มี floating inversions ลักษณะที่สำคัญของ *S. siamense* คือเพศเมียมีโครโมโซม เพศแบบ heterogametic sex (XY) และเพศผู้แบบ homogametic sex (XX) ซึ่งเป็น ลักษณะตรงข้ามกับแมลงรินดำส่วนใหญ่ ประชากรรินดำชนิด *S. siamense* มีโครโมโซม X 1 แบบคือ X₀ และมีโครโมโซม Y 4 แบบคือ Y₀, Y₁, Y₂ และ Y₃ ดังนั้นประชากรเพศผู้ มีโครโมโซมเพศแบบเดียวคือ X₀X₀ และเพศเมียมีโครโมโซมเพศ 4 รูปแบบคือ X₀Y₀, X₀Y₁, X₀Y₂ และ X₀Y₃

6. ปัญหา อุปสรรคและการแก้ไข

1. ช่วงเวลาของการเก็บตัวอย่างขึ้นกับสภาพทางภูมิอากาศ เนื่องจากตัวอ่อนและตัวดักแด้วยังในน้ำให้ลึก ดังนั้นช่วงเวลาที่เหมาะสมของการเก็บตัวอย่างคือ ช่วงปลายฤดูฝน ต้นฤดูหนาว (กรกฎาคม – มกราคม) เพราะแหล่งน้ำให้มีน้ำไม่มากไปหรือน้อยไป ในช่วงฤดูฝนหรือช่วงที่มีลมมรสุมฝนตกหนักน้ำให้ลึกระง ตัวอ่อนและตัวดักแด้จะไปกับกระแสน้ำซึ่งเป็นปัญหานำในการเก็บตัวอย่างยิ่งโดยเฉพาะในภาคใต้และภาคเหนือ แต่ในแหล่งน้ำเพาะพันธุ์ที่มีขนาดเล็กบริมาณน้ำน้อยน้ำจะไม่ให้ลึกระหว่างแหล่งน้ำและฤดูร้อนซึ่งเกิดกับแหล่งน้ำเป็นจำนวนมากในภาคเหนือ และภาคตะวันออกเฉียงเหนือ ดังนั้นต้องมีการกำหนดเวลาและวางแผนในการเก็บตัวอย่างให้ดีเพื่อจะได้ไม่เสียเวลาและเสียเงินกับการออกไปเก็บตัวอย่าง
2. “ไม่สามารถเลี้ยงรินดำในห้องปฏิบัติการ” ซึ่งมีผลทำให้ไม่สามารถศึกษาพฤติกรรม บางอย่างได้ เช่น พฤติกรรมการผสมพันธุ์ มีรายงานการทดลองเลี้ยงรินดำในห้องปฏิบัติการและประสบความสำเร็จในต่างประเทศ แต่ต้องใช้เนื้อที่และงบประมาณพอประมาณ ซึ่งไม่สามารถทำได้ในการทดลองนี้
3. การทำสไลด์โพลีทีนโครโมโซมของแมลงรินดำที่จะให้สูญและอ่านผลได้นั้นต้องใช้ตัวอ่อนที่อยู่ในระยะพอดีคืออายุต้องไม่น้อยไปและไม่แก่ไปและขึ้นกับความสมบูรณ์ ของตัวอ่อนด้วย แต่เนื่องจากตัวอ่อนที่เก็บมา มีอายุแตกต่างกันและมีความสมบูรณ์ต่าง กันจึงต้องทำสไลด์โพลีทีนโครโมโซมเป็นจำนวนมากจึงจะอ่านผลได้ นอกจากนี้ยังมี ตัวอย่างที่เก็บจากแหล่งน้ำบางแห่ง เช่น จากอุทยานแห่งชาติบាឩยาบ้า จังหวัดราชบุรี ว่า “ที่ไม่สามารถอ่านผลได้เนื่องจากตัวอย่างที่เก็บได้อายุน้อยจึงทำให้ขาดข้อมูลตัวอย่างทางภาคใต้”

เอกสารอ้างอิง

- เฉลี่ยว กุวงศ์ดิลก ชัยณรงค์ บุญเข็มทอง และสุวรรณี พยุหเสนา 2544a. ความหลากหลายและพันธุศาสตร์เชิงประชากรของสปีชีส์ของรินเต่าในประเทศไทย ใน: รายงานวิจัยโครงการ BRT 2544, วิสูฐ์ ใบไม้ และรังสima คุ้มหมอม (บรรณาธิการ) หน้า 286-311 จัดพิมพ์โดยโครงการ BRT บริษัทจิรัวฒน์เอ็กเพรส จำกัด กรุงเทพฯ
- เฉลี่ยว กุวงศ์ดิลก สุวรรณี พยุหเสนา ชัยณรงค์ บุญเข็มทอง และ วิสูฐ์ ใบไม้ 2544b การแพร่กระจาย สัณฐานวิทยา และเซลล์พันธุศาสตร์ของตัวอ่อนรินเต่าในภาคใต้ของประเทศไทย ใน: พันธุศาสตร์ยุคปฏิวัตียน สัมมนาวิชาการพันธุศาสตร์ ครั้งที่ 12 จัดพิมพ์โดย บริษัทเท็กซ์ แอนด์ เจร์นัล พับลิเคชัน จำกัด กรุงเทพฯ หน้า 123-130
- Adler, P.H., Currie, D.C. and Wood, D.M. 2004. The black flies (Simuliidae) of North America. Cornell University Press, Ithaca, New York.
- Adler, P.H. and Kachvorian, E.A. 2001. Cytogenetics of the Holarctic black fly *Simulium noelleri* (Diptera: Simuliidae). Can. J. Zool. 79:1972-1979.
- Adler, P.H. & McCreadie, J.W. (1997). The hidden ecology of black flies; sibling species and ecological scale. *American Entomologist*, Fall, 153-161.
- Allan, J. D. 1995. Stream Ecology: Structure and function of running waters. Kluwer Academic Publishers, The Netherlands, 388 pp.
- Bedo, D.G. 1975. C-banding in polytene chromosomes in pupal and adult blackflies (Diptera: Simuliidae). Chromosoma 51: 291-300.
- Bedo, D.G. 1977. Cytogenetics and evolution of *Simulium ornatipes* Skuse (Diptera: Simuliidae). I. Sibling speciation. Chromosoma 64: 37-65.
- Boakye, D.A., Back, C., Fiasorbor, G.K., Sib, A.P.P. & Coulibaly, Y. (1998). Sibling species distributions of the *Simulium damnosum* complex in the West African Onchocerciasis Control Programme Area during the decade 1984-93 following intensive larviciding since 1974. *Medical and Veterinary Entomology*, 12, 345-358.
- Charalambous, M., Ready, P.D., Shelley, A.J., Arzube, M. and Lowry, C.A. 1993. Cytological and isoenzyme analysis of the Bucay and Quevado cytotypes of the onchocerciasis vector *Simulium exiguum* (Diptera: Simuliidae) in Ecuador. Memorias do Instituto Oswaldo Cruz. 88: 39-48.
- Charalambous, M., Shelley, A.J., Herzog M.M. and Dias, A.P. 1996. Four new cytotypes of the onchocerciasis vector blackfly *Simulium guianense* in Brazil. Met Vet. Entomol. 10: 111-120.
- Corkum, L.D. and Currie, D.C. 1987. Distributional patterns of immature Simuliidae (Diptera) in northwestern of North America. Freshwater Biol. 17: 201-221.
- Crosskey, R.W. and Howard, T.M. 2004. A revised taxonomic and geographical inventory of world blackflies (Diptera: Simuliidae). The Natural History Museum, London.
- Crosskey, R.W. 1973. Family Simuliidae. In M.D. Delfinado and D. E. Hardy (eds.). A catalog of the Diptera of the Oriental region, pp. 423-430. University of Hawaii Press, Honolulu.
- Datta, M. 1974. Some black flies (Diptera: Simuliidae) of the subgenus *Simulium* Latreille (s. str.) from the Darjeeling area (India). *Oriental Insects* 8: 15-27.

- Dunbar, R.W. 1976. The East African situation and review of the *Simulium Damnosum* complex as a whole. WHO/VBC/SC/76.20. Mimeogr. Doc.
- Fukuda, M., Choochote, W., Bain, O., Aoki, C. and Takaoka, H. 2003. Natural infections with filarial larvae in two species of black flies (Diptera: Simuliidae) in norhthern Thailand. *Jpn. J. Trop. Med. Hyg.* 31: 99-102.
- Hamada, N. and McCreadie, J.W.1999. Environmental factors associated with the distribution of *Simulium perflavum* (Diptera: Simuliidae) among streams in BrazilianAmazonia. *Hydrobiologia*.397: 71-78.
- Hamada, N., McCreadie, J. W. and Adler, P.H. 2002. Species richness and spatial distribution of blackflies (Diptera: Simuliidae) in streams of Central Amazonia, Brazil. *Freshwater Biology* 47: 31-40.
- Hirai, H., Procunier, W.S., Ochoa, J.O. and Uemoto, K. 1994. A cytogenetic analysis of the *Simulium ochraceum* species complex (Diptera: Simuliidae) in central America. *Genome* 37: 36-53.
- Jitklang, S., and Kuvangkadilok, C. 2007. A new species of *Simulium (Gomphostilbia)*(Diptera: Simuliidae) from southern Thailand, with description of its chromosomes. *Stud. Diptero.* (In press).
- Kettle, D.S. 1990. Medical and Veterinary Entomology. CAP Intertional UK.
- Kuvangkadilok, C. and Takaoka, H. 2000. Taxonomic notes on Simuliidae (Diptera) from Thailand : description of a new species and new species distributional records of nine known species. *Jpn. J. Trop. Med. Hyg.* 28; 167-175.
- Kuvangkadilok, C., Boonkemtong, C. and Phayuhasena, S. 1999 Distribution of the larvae of blackflies (Diptera: Simuliidae) at Doi Inthanon national Park, northern Thailand. *Southeast Asian J. Med. Publ. Hlth.* 30: 328-337.
- Kuvangkadilok, C., Boonkemtong, C., Phayuhasena, S. and Baimai, V. 2003. Larval polytene chromosomes of black flies (*Simulium*) of Thailand. I. Comparison among five species in the subgenus *Gomphostilbia* Enderlein. *Genetica* 118: 69-81.
- Mafuyai, H.B., Post, R.J. Vajime, C.G. and Molyneux, D.H. 1996. Cytotaxonomic identification of the *Simulium damnosum* complex (Diptera: Simuliidae) from Nigeria. *Trop. Med. Int. Health* 1: 779-785.
- McCreadie, J.W., Adler, P.H. and Colbo, M.H. 1995. Community structure of larval black flies (Diptera: Simuliidae) from the Avalon Peninsula Newfoundland. *Ann. Entomol. Soc. Amer.* 88: 51-57.
- Millett, A.L. 1992. Identification of members of the *Simulium ochraceum* complex in the three onchocerciasis foci in Mexico. *Med. Vet. Entomol.* 6: 23-28.
- Peterson, B.V. 1984. Simuliidae. In R.W. Merritt and K.W. Cummins (eds.). An introduction to the aquatic insects of North America, pp. 534-550. Kenda/Hunt, Dubugue, Iowa.
- Richards, F., Hopkins, D. and Cupp, E.D. 2000. Programmatic goals and approaches to onchocerciasis. *The Lancet.* 335: 1663-1664.
- Rothfels, K.H. (1979). Cytotaxonomy of black flies (Simuliidae). *Ann Review of Ento*, 24, 507-539.
- Rothfels, K.H. 1981. Cytological approaches to the study of blackfly systematics and evolution. *Application of Genetics and Cytology in Insect Systematics and Evolution* (ed. by M. W. Stock),

- pp 67-83. Forestry, Wildlife and Range Experiment Station. University of Idaho, Moscow, Idaho, U.S.A.
- Rothfels, K.H. and Dunbar, R.W. 1953. The salivary gland chromosomes of the back fly *Simulium vittatum* Zett. *Can. J. Zool.* 31: 226-241.
- Rothfels, K.H. and Featherson, D.W. 1981. The population structure of *Simulium vittatum* (Zett): the IIL-1 and IS-7 sibling species. *Can. J. Zool.* 51: 1857-1883.
- Takaoka, H. 1977. Studies on black flies of the Namsei islands, Japan (Diptera: Simuliidae) III. In six species of the subgenus *Simulium* latreille. *Jpn. J. Sanit. Zool.* 28: 193-217.
- Takaoka, H. 1979. The black flies of Taiwan (Diptera: Simuliidae). *Proc. Insects.* 20: 365-403.
- Takaoka, H. 2001. *Simulium (Simulium) weji* sp. nov. (Diptera: Simuliidae) from Thailand. *Jpn. J. Trop. Med. Hyg.* 29: 349-354.
- Takaoka, H. and Adler, P.H. 1997. A new subgenus, *Simulium (Daviesellum)*, and a new species *S. (D.) courtneyi*, (Diptera: Simuliidae) from Thailand and Peninsular Malaysia. *Jpn. J. Trop. Med. Hyg.* 25: 17-27.
- Takaoka, H and Choochote, W. 2002. Taxonomic notes on the *Griseifrons* species-group in *Simulium (Simulium)*(Diptera; Simuliidae) from Thailand : Descriptions of two new species and description of the male, pupa and larva of *S. (S.) digrammicum* Edwards. *Jpn. J. Trop. Med. Hyg.* 30: 115-132.
- Takaoka, H. and Choochote, W. 2004a. Two new species of *Simulium (Simulium)* (Diptera: Simuliidae) from Thailand. *Trop. Med. Hlth.* 32: 31-36.
- Takaoka, H. and Choochote, W. 2004b. A list of and keys to black flies (Diptera: Simuliidae) in Thailand. *Trop. Med. Hlth.* 32: 189-197.
- Takaoka, H. and Choochote, W. 2004c. Taxonomic notes on the *Griseifrons* species-group of *Simulium (Simulium)* (Diptera: Simuliidae) in northern Thailand. *Trop. Med. Hlth.* 32: 311-327.
- Takaoka, H. and Choochote, W. 2005a. Two new species of *Simulium (Montisimulum)* (Diptera: Simuliidae) from northern Thailand. *Med. Entomol. Zool.* 56: 21-31.
- Takaoka, H. and Choochote, W. 2005b. A new subgenus and a new species of *Simulium* s.l. (Diptera: Simuliidae) from Thailand. *Med. Entomol. Zool.* 56: 33-41.
- Takaoka, H. and Choochote, W. 2005c. A new species of *Simulium (Simulium)* (Diptera: Simuliidae) from northern Thailand. *Med. Entomol. Zool.* 56: 43-47.
- Takaoka, H. and Choochote, W. 2005d. Two new species of *Simulium (Simulium)* (Diptera: Simuliidae) from northern Thailand. *Med. Entomol. Zool.* 56: 99-110.
- Takaoka, H. and Choochote, W. 2005e. Two new species of *Simulium* Latreille Diptera: Simuliidae) from northwestern Thailand. *Med. Entomol. Zool.* 56:123-133.
- Takaoka, H. and Choochote, W. 2005f. Two new species of the *Griseifrons*-species-group of *Simulium (Simulium)* (Diptera: Simuliidae) in northern Thailand *Med. Entomol. Zool.* 56: 219-235.
- Takaoka, H. and Choochote, W. 2005g. A new species of *Simulium (Simulium)* from northern Thailand (Diptera: Simuliidae). *Trop. Med. Health.* 33: 95-101.

- Takaoka, H. and Choochote, W. 2005h. Two new species of *Simulium (Nevermannia)* (Diptera: Simuliidae) from northern Thailand. *Trop. Med. Hlth.* 33: 133-141.
- Takaoka, H. and Choochote, W. 2005i. Two new species of black flies (Diptera: Simuliidae) from northern Thailand. *Med. Entomol. Zool.* 56: 319-334.
- Takaoka, H. and Choochote, W. 2005j. Discovery of two more new species of *Simulium (Montisimulum)* (Diptera: Simuliidae) in Doi Inthanon National Park, Chiang Mai. *Trop. Med. Hlth.* 33: 209-215.
- Takaoka, H. & Choochote, W. (2006a). A new species of the subgenus *Simulium (Asiosimulum)* (Diptera: Simuliidae) from Thailand. *Med. Entomol. Zool.* 57, 45-48.
- Takaoka, H. & Choochote, W. (2006b). A new species of *Simulium (Nevermannia)* from northern Thailand. *Med. Entomol. Zool.* 57, 83-92.
- Takaoka, H. & Choochote, W. (2006c). A new species of the *griseifrons* species-group of *Simulium (Simulium)* (Diptera: Simuliidae) in northern Thailand. *Med. Entomol. Zool.* 57, 115-124.
- Takaoka, H. & Choochote, W. (2006d). A new species of *Simulium (Gomphostilbia)* (Diptera: Simuliidae) from northern Thailand. *Med. Entomol. Zool.* 57, 229-233.
- Takaoka, H., and Choochote, W. 2006e. A new species of *Simulium (Gomphostilbia)* (Diptera: Simuliidae) from northern Thailand. *Med. Entomol. Zool.* 57: 229-233.
- Takaoka, H. and Davies D.M. 1995. The black flies (Diptera: Simuliidae) of West Malaysia. Kyushu University Press, Fukuoka. 175 pp.
- Takaoka, H. and Kuvangkadilok, C. 1999. Four new species of black flies (Diptera: Simuliidae) from Thailand. *Jpn. J. Trop. Med. Hyg.* 27: 497-509.
- Takaoka, H. and Saito, K. 1996. A new species and new records of black flies (Diptera: Simuliidae) from Thailand. *Jpn. J. Trop. Med. Hyg.* 24: 163-169.
- Takaoka, H. and Suzuki, H. 1984. The blackflies (Diptera: Simuliidae) from Thailand. *Jpn. J. Sanit. Zool.* 35: 7-45.
- Vajime, C.G. and Dunbar, R.W. 1975. Chromosomal identification of eight species of the subgenus *Edwardsellum* near and including *Simulium (Edwardsellum) damnosum* theobald (Diptera: Simuliidae). *Tropenmed. Parasitol.* 26: 111-138.
- Vajime, C.G., Tombala, P.A., Kruger, A. and Post, R.J. 2000. The cyt taxonomy of *Simulium damnosum* s.l. (Diptera: Simuliidae) from the Thyolo onchocercosis focus in Malawi and description of a new member of the complex. *Ann. Trop. Med. Parasitol.* 94: 279-290.

ภาคผนวก

บทความสำหรับการเผยแพร่งานวิจัย

แมลงรินดำมีความสำคัญทางการแพทย์ สัตวแพทย์ และเศรษฐกิจ
เนื่องจากแมลงรินดำเป็นพาหะสำคัญในการถ่ายทอดโรคตัวต่อตัวอย่างน้อยที่สุด
15 ชนิด พยาริช 12 ชนิด และไรวัส 1 ชนิด มันแพร่กระจายอยู่ในภูมิภาคต่างๆ ของโลก
และมีชื่อเรียกต่างๆ กัน ในประเทศไทยเรียกแมลงรินดำว่า “คุ่น” ซึ่งก่อความรำคาญ
รบกวนและกัดชาวดอย ชาวบ้าน นักท่องเที่ยว และสัตวแพทย์ ในท้องที่ต่างๆ เช่น บริเวณ
บ้านปาง芬 อำเภอตอยสะเก็ต จังหวัดเชียงใหม่ บริเวณช่องเย็น อุทยานแห่งชาติแม่
วงศ์ จังหวัดกำแพงเพชร-นครสวรรค์ ซึ่งเป็นจุดสูงสุดของถนนสายคลองลาน-อุ้มผาง และ¹
เป็นสถานที่ดูนกที่หายากของประเทศไทย บริเวณลานสนธยาสอยดาว จังหวัดอุตรดิตถ์ ที่มี
ป่าสนสามใบและพรงค์อกไม้นานาชนิด เช่น ดอกสวายสุวรรณมีดอกสีเหลืองและบริ
เวณอ่างกาวยอดดอยอินทนนท์ จังหวัดเชียงใหม่ ซึ่งเป็นแหล่งน้ำธรรมชาติขนาดใหญ่ที่อยู่
สูงที่สุดของประเทศไทย มีความสูงประมาณ 2,500 เมตรเหนือระดับน้ำทะเล และมีพันธุ์
ไม้ที่หายาก เช่น กุหลาบพันปีและข้าวตอกถานซึ่ง คุ่นที่ดูดเลือดคนมีหลายชนิดและมีแหล่ง
เพาะพันธุ์ที่มีความสูงเหนือระดับน้ำทะเลต่างกัน เช่น *S. rufibasis* อาศัยในแหล่งน้ำในล
ที่มีความสูงประมาณ 2,300 เมตรเหนือระดับน้ำทะเล คุ่นชนิด *S. nigrogilvum* ชอบอาศัย
ในแหล่งเพาะพันธุ์ที่มีความสูงเหนือระดับน้ำทะเลปานกลางประมาณ 1,100-1,600 เมตร
และ *S. nodosum* คุ่นชนิดนี้มีแหล่งเพาะพันธุ์ระดับต่ำประมาณ 600 เมตรเหนือ
ระดับน้ำทะเล ดังนั้นจึงควรจะได้ศึกษาความหลากหลายทางชีวภาพ (biodiversity) ความ
หลากหลายทางพันธุกรรมในประชากรธรรมชาติ รวมทั้งนิเวศวิทยาของแหล่งเพาะพันธุ์
เพื่อประโยชน์ในการนำไปประยุกต์ใช้ในการกำจัดและควบคุมแมลงรินดำให้มี
ประสิทธิภาพต่อไปในอนาคต

งานวิจัยนี้ได้ศึกษาความหลากหลายของชนิดและการแพร่กระจายของแมลงรินดำ
ในบริเวณภาคเหนือ ภาคตะวันออกเฉียงเหนือ และภาคกลางของประเทศไทย จาก
การศึกษารูปร่างลักษณะของตัวอ่อนสามารถแยกยกรินดำสกุล *Simulium* ได้ 41 ชนิดซึ่ง
อาศัยในแหล่งเพาะพันธุ์ที่มีปัจจัยทางกายภาพเหมือนกันหรือต่างกัน การกระจายของ
รินดำบางชนิดมีความสัมพันธ์กับปัจจัยทางกายภาพของแหล่งเพาะพันธุ์ เช่น รินดำชนิด
S. nakhonense และ *S. asakoae* ซึ่งเป็นรินดำที่ดูดเลือดคนและสัตว์ ชอบอาศัยในแหล่ง²
น้ำในลหุที่มีความสูงเหนือระดับน้ำทะเลค่อนข้างต่ำปานกลาง ขนาดของแหล่งน้ำกว้าง
และกระแสน้ำไหลเร็ว แต่ *S. siamense* ที่มีรายงานว่าดูดเลือดคนเช่นกัน ชอบอาศัยใน

สำหรับหรือร่องน้ำขนาดเล็กและกระแสน้ำไหลช้า ดังนั้นข้อมูลการศึกษานิเวศวิทยาจึงมีประโยชน์ในการป้องกันและกำจัดแมลงรินดำในอนาคต นอกจากนี้ผลการศึกษาเปรียบเทียบการเรียงตัวของแบบจำเพาะพืชที่นิโครโมไซมของตัวอ่อนประชากรรินดำชนิด *S. siamense* ที่เก็บจากแหล่งน้ำในภูมิภาคต่างๆ แสดงให้เห็นถึงแนวโน้มของการเกิดวิวัฒนาการที่มีการแบ่งแยกประชากรออกเป็นกลุ่มย่อย โดยประชากรมีลักษณะโครง模式ต่างกัน จากการศึกษาได้แบ่งประชากรของ *S. siamense* ออกเป็น 5 cytoforms (A-E) ที่มีรูปร่างลักษณะของตัวอ่อนคล้ายคลึงกัน และมีความแตกต่างของโครง模式อินเวอร์ชันที่คงที่ และชนิดและความถี่ของอินเวอร์ชันที่ไม่คงที่ นอกจากนี้แต่ละ cytoform มีแหล่งเพาะพันธุ์ต่างกันซึ่งควรจะได้ศึกษา microhabitats ของแหล่งเพาะพันธุ์ของ cytoforms เหล่านี้ในอนาคต

